



وزارة التعليم العالي والبحث العلمي  
جامعة كربلاء  
كلية التربية للعلوم الصرفة  
قسم علوم الحياة

## تأثير جرع مختلفة من الكورتزون على بعض المعايير الفسلジة والنسمية في الجرذان البيض

رسالة تقدمت بها الطالبة

دعاة عادل ربيع

إلى مجلس كلية التربية للعلوم الصرفة - جامعة كربلاء وهي جزء  
من متطلبات نيل درجة الماجستير في علوم الحياة / الحيوان

بإشراف

أ.د. سعد حمد عبد اللطيف

بِسْمِ اللَّهِ الرَّحْمَنِ الرَّحِيمِ

(وَمَا أُوتِيْتُم مِّنَ الْعِلْمِ  
إِلَّا قَلِيلًا)

صدق الله العلي العظيم  
سورة الإسراء  
الآية (٨٥)

# الاَهْدَاءُ

الى من اناروا بعلمهم دربي

أساتذتي

الى عائلتي وزملائي

اهدي لهم جهدي المتواضع هذا

دعا عادل

## شكر وتقدير

تقف تعابير العرفان عاجزة عن ايفاء حق لمن كان له بالغ الاثر في اقتراح خطة البحث مشرفي الاستاذ الدكتور سعد حمد عبد للطيف.

وأتوجه ايضاً بعظيم شكري وامتناني إلى قسم علوم الحياة والى عمادة كلية التربية للعلوم الصرفة.

وشكري موصول إلى الدكتور مازن حامد عودة الربيعي – كلية الصيدلة – جامعة كربلاء.

ولا يفوتنـي ان اشكـر قـسم المختـبرات والبحـوث البيـطـرـية فـي بـغـادـ وـعـلـى وـجـهـ الخـصـوصـ الدـكـتـورـ خـزـعـلـ وـالـدـكـتـورـ مـاجـدـةـ سـعـيـدـ عـبـدـ اللهـ لـمـسـاعـدـةـ التـيـ قـدـمـوـهـاـ فـيـ عـمـلـ المـقـاطـعـ النـسـيجـيـةـ.

وأتوجه بالشكر الجليل إلى أ. حسين علي عبد اللطيف لمساعدتي في التحليل الاحصائي للنتائج.

وأتوجه ايضاً بعظيم شكري وامتناني إلى الدكتور حيدر جبر- المستشفى الحسيني الذي ابدى المساعدة في تشخيص المقاقيع النسيجية.

اتقدم بالشكر والتقدیر الى من قدم لي العون من زملائي في الدراسة وبالاخص ذو الفقار عباس و علاء حسين الصافي و هديل اموری .

والشكر موصول إلى قادر مختبر تحليل الدم ومختبر الكيمياء السريرية - مستشفى النساءية والتوليد لما قدموه من مساعدة علمية .

واخيراً اتقدم بجزيل الشكر وعظيم الامتنان إلى كل من أخي محمد عادل وأحمد جودة السعدي .

دعاء عادل

## الخلاصة

تضمنت الدراسة الحالية ٦٤ من الجرذان البيضاء (ذكور، إناث) قسمت إلى مجموعتين متساويتين (٣٢ جرذاً) تضمنت كل مجموعة (١٦) ذكوراً و(١٦) إناثاً وهذه المجاميع الأخيرة قسمت إلى أربع مجاميع تضمنت كل مجموعة أربعة جرذان تم حقن ثلاثة منها تحت البرتيون بعقار الكورتزون بتراكيز مضاعفة (٤.٥، ٣، ١.٥) ملغم/كغم مجموعة لمدة ٣٠ يوماً ومجموعة لمدة ٦٠ يوماً وحقنت المجموعة الرابعة بمحلول الملحي الفسلجي (٩٪) وبنفس الجرعة. هدفت الدراسة إلى بيان تأثير التراكيز ومدة الحقن للكورتزون في بعض المعايير الفسلجية والنسجية والآثار المرضية في الجرذان البيضاء وتضمنت الدراسة الآتي :

١- بيان تأثير تراكيز مختلفة من الكورتزون في عدد كريات الدم الحمراء ، عدد خلايا الدم البيضاء، وقيم مكdas الدم ، وتركيز الهيموكلوبين الكلي في الدم ، متوسط حجم الكريات. بيّنت نتائج الدراسة الحالية حدوث ارتفاع معنوي ( $P < 0.05$ ) في عدد كريات الدم الحمراء WBCs ، وحدوث انخفاض معنوي ( $P < 0.05$ ) في عدد خلايا الدم البيضاء RBCs وخطاب الدم Hb ومكdas الدم PCV ومتوسط حجم الكريات MCV عند مقارنة جميع النتائج مع مجموعة السيطرة .

٢- قياس المعايير الكيموحيوية في مصل الدم والفايبرنوجين في البلازما بتأثير تراكيز حقن عقار الكورتزون تبيّن حدوث ارتفاع معنوي ( $P < 0.05$ ) في فعالية انزيميات الكبد Alanine AST, ALT Aspartate Aminotransferase، Aminotransferase زيادة معنوية ( $P < 0.05$ ) في تركيز بروتين الالبومين والفايبرنوجين، وعدم حدوث تغيرات معنوية ( $P > 0.05$ ) في اليوريا عند مقارنة المجاميع المعاملة مع مجموعة السيطرة.

٣- التعرّف على التأثيرات المرضية النسجية في أنسجة الطحال والكبد والعظم ، حيث بيّنت النتائج حدوث تتكّس في الخلايا المفاوية وزيادة في إعداد الخلايا البلعمية وقلة في عدد عقيدات الطحال وصغر حجمها ، أما في الكبد فقد أدت المعاملات إلى حدوث تتحرّك الخلايا الكبدية وارتشاح الخلايا الالتئامية وظهور فجوات دهنية داخل خلايا الكبد ، في حين وجد في نسيج العظم حصول قلة في سمك الحويجزات العظمية وزيادة المسافة بينها.

## قائمة المحتويات

رقم الصفحة	الموضوع
<b>I-II</b>	<b>الخلاصة</b>
<b>III</b>	<b>قائمة المحتويات</b>
<b>VI</b>	<b>قائمة الجداول</b>
<b>VIII</b>	<b>قائمة الاشكال والصور</b>
٢-١	<b>١. الفصل الاول المقدمة</b>
١٤-٣	<b>٢. الفصل الثاني استعراض المراجع</b>
٣	<b>١.٢. الحركة الدوائية pharmacokinetics</b>
٤	<b>٢.٢. الكورتزون Cortisone</b>
٧	<b>٣.٢. تأثير الكورتزون على العضلات</b>
٨	<b>٤. تأثير الكورتزون على العظام</b>
٩	<b>٥. تأثير الكورتزون على الغدد اللعابية تحت الفكية</b>
١٠	<b>٦. تأثير الكورتزون على الكبد</b>
١١	<b>٧.٢. تأثير الكورتزون على الغدة الدرقية</b>
١٢	<b>٨.٢. تأثير الكورتزون على الطحال</b>
١٤	<b>٩.٢. تأثير عقار الكورتزون على الغدة الصعترية</b>
٢٦-١٥	<b>٣. الفصل الثالث المواد وطرائق العمل</b>
١٥	<b>١.١.٣. المواد الكيميائية المستخدمة</b>
١٦	<b>٢.١.٣. الادوات المستخدمة</b>
١٧	<b>٣.١.٣. الاجهزة المستخدمة</b>
١٧	<b>٢.٣. حيوانات التجربة</b>
١٨	<b>٢.٢.٣. تصميم التجربة</b>
١٨	<b>٣.٢.٣. الحصول على عينات الدم ونسيج الاعضاء</b>
١٨	<b>2.3.2.3. جمع عينات الطحال والكبد والعظم</b>
١٩	<b>٣.٣. القياسات الدموية</b>
١٩	<b>١.٣.٣. عد كريات الدم الحمر</b>
٢٠	<b>٢.٣.٣. عد خلايا الدم البيض</b>

٢٠	٣.٣.٣. العد التقريري لخلايا الدم البيض
٢٠	٤.٣.٤. قياس الهيموكلوبين
٢١	٣.٣.٥. قيس حجم الكريات المرصوصة
٢١	٦.٣.٦. حساب متوسط حجم الكريات
٢١	٣.٤.٤. القياسات الكيموحيوية
٢١	٤.١. قياس تركيز انزيمات الكبد AST,ALT
٢٢	٤.٢. قياس تركيز الالبومين في المصل
٢٣	٤.٣.٣. قياس تركيز اليوريا في المصل
٢٤	٤.٣.٤. قياس الفايبرونوجين في البلازما
٢٤	٣.٥. تحضير المقاطع النسيجية
٢٥	٣.٦.١. التثبيت
٢٥	٣.٦.٢. الأنكار
٢٥	٣.٦.٣. الترويق
٢٥	٣.٦.٤. التشريب
٢٥	٣.٦.٥. الطمر
٢٥	٣.٦.٦. التقطيع
٢٥	٣.٦.٧. التصبيغ
٢٦	٣.٨.٦. التحميل
٢٦	٣.٧.٧. تحضير المقاطع النسيجية للعظم
٢٦	٣.٧.٨. التحليل الاحصائي
٤٩-٢٧	٤. الفصل الرابع النتائج
٥٦-٥٠	٥. الفصل الخامس المناقشة
٥٠	٥.١. المعايير الدموية
٥٠	٥.١.١. كريات الدم الحمراء
٥٠	٥.١.٢. كريات الدم البيضاء
٥١	٥.٣.٣. خساب الدم Hb والحجم الانضغاطي لخلايا الدم الحمر PCV ومتوسط حجم الكريات MCV

٥١	١.٢.٥. انزيمات الكبد AST , ALT
٥٢	٢.٢.٥. اليوريا
٥٢	٣.٢.٥. الالبومين
٥٣	٤.٢.٥. الفايبرنوجين
٥٣	٣.٥. العد التفرقي لخلايا الدم البيضاء
٥٣	١.٣.٥. الخلايا المفاوية
٥٣	٢.٣.٥. الخلايا الوحيدة
٥٤	٣.٣.٥. الخلايا العدلة
٥٤	٤.٣.٥. الخلايا الحمضة
٥٥	٤. المقاطع النسيجية
٥٥	١.٤.٥. الطحال
٥٥	٢.٤.٥. الكبد
٥٦	٣.٤.٥. العظم
٥٧	الاستنتاجات والتوصيات
٧١-٥٨	٦. المصادر
٥٨	المصادر العربية
٥٨	المصادر لاجنبية
I-II	الخلاصة

## قائمة الجداول

رقم الصفحة	الموضوع
١٥	جدول (١-٣) المواد الكيميائية المستخدمة بحسب اسم الشركة والمنشأ
١٦	جدول (٢-٣) الأدوات الزجاجية والبلاستيكية المستخدمة بحسب اسم الشركة والمنشأ
١٧	جدول (٣-٣) الأجهزة المستخدمة المستخدمة بحسب اسم الشركة والمنشأ
٤٩	جدول (٤-١) يوضح تأثير جرع مختلفة من الكورتazon على المعايير الدموية في ذكور واناث الجرذ الابيض لمدة ٣٠ يوما
٣٠	جدول (٤-٢) يوضح تأثير جرع مختلفة من الكورتazon على المعايير الدموية في ذكور واناث الجرذ الابيض لمدة ٦٠ يوما
٣١	جدول (٤-٣) يوضح تأثير جرع مختلفة من الكورتazon على المعايير الكيموحيوية في ذكور واناث الجرذ لمدة ٣٠ يوما
٣٢	جدول (٤-٤) يوضح تأثير جرع مختلفة من الكورتazon على المعايير الكيموحيوية في ذكور واناث الجرذ لمدة ٦٠ يوما
٣٣	جدول (٤-٥) يبين تأثير معدل الجرع من الكورتazon على المعايير الدموية في ذكور واناث الجرذان لمدة ٣٠ يوما
٣٤	جدول (٤-٦) يبين تأثير معدل الجرع من الكورتazon على المعايير الدموية في ذكور واناث الجرذان لمدة ٦٠ يوما
٣٥	جدول (٤-٧) يبين تأثير معدل الجرع من الكورتazon على المعايير الكيموحيوية في ذكور واناث الجرذان لمدة ٣٠ يوما
٣٦	جدول (٤-٨) يبين تأثير معدل الجرع من الكورتazon على المعايير الكيموحيوية في ذكور واناث الجرذان لمدة ٦٠ يوما
٣٧	جدول (٤-٩) يبين الفروق المعنوية في محتوى الحقن (٣٠, ٦٠) يوما لجميع المعايير

## قائمة الاشكال والصور

رقم الصفحة	الموضوع
٥	شكل (١-٢) الصيغة التركيبية للكورتazon
٣٩	صورة (٤-١) مقطع عرضي في نسيج الطحال لمجموعة السيطرة في الذكور
٣٩	صورة (٤-٢) مقطع عرضي في نسيج الطحال لمجموعة السيطرة في الإناث
٤٠	صورة (٤-٣) مقطع عرضي في الطحال لمجموعة الجرعة (1.5mg/kg) ولمدة ٣٠ يوما في الذكور

٤٠	صورة (٤-٤) مقطع عرضي في الطحال لمجموعة الجرعة (1.5mg/kg) ولمدة ٣٠ يوما في الاناث
٤٠	صورة (٤-٥) مقطع عرضي في نسيج الطحال لمجموعة الجرعة (3mg/kg) ولمدة ٣٠ يوما في الذكور
٤٠	صورة (٤-٦) مقطع عرضي في نسيج الطحال لمجموعة الجرعة (3mg/kg) ولمدة ٣٠ يوما في الاناث
٤١	صورة (٤-٧) مقطع عرضي في نسيج الطحال لمجموعة (4.5 mg/kg) ولمدة ٣٠ يوما في الذكور
٤١	صورة (٤-٨) مقطع عرضي في نسيج الطحال لمجموعة (4.5 mg/kg) ولمدة ٣٠ يوما في الاناث
٤١	صورة (٤-٩) مقطع عرضي في نسيج الطحال لمجموعة الجرعة (1.5mg/kg) ولمدة ٦٠ يوما في الذكور
٤١	صورة (٤-١٠) مقطع عرضي في نسيج الطحال لمجموعة الجرعة (1.5mg/kg) ولمدة ٦٠ يوما في الاناث
٤٢	صورة (٤-١١) مقطع عرضي في نسيج الطحال لمجموعة (3mg/kg) ولمدة ٦٠ يوما في الذكور
٤٢	صورة (٤-١٢) مقطع عرضي في نسيج الطحال لمجموعة (3mg/kg) ولمدة ٦٠ يوما في الاناث
٤٢	صورة (٤-١٣) مقطع عرضي في نسيج الطحال لمجموعة (4.5 mg/kg) ولمدة ٦٠ يوما في الذكور
٤٢	صورة (٤-١٤) مقطع عرضي في نسيج الطحال لمجموعة (4.5 mg/kg) ولمدة ٦٠ يوما في الاناث
٤٣	صورة (٤-١٥) مقطع عرضي في نسيج الكبد لمجموعة السيطرة في الذكور
٤٣	صورة (٤-١٦) مقطع عرضي في نسيج الكبد لمجموعة السيطرة في الاناث
٤٣	صورة (٤-١٧) مقطع عرضي في نسيج الكبد لمجموعة الجرعة (1.5mg/kg) ولمدة ٣٠ يوما في الذكور
٤٣	صورة (٤-١٨) مقطع عرضي في نسيج الكبد لمجموعة الجرعة (1.5mg/kg) ولمدة ٣٠ يوما في الاناث
٤٤	صورة (٤-١٩) مقطع عرضي في نسيج الكبد لمجموعة الجرعة (3mg/kg) ولمدة ٣٠ يوما في الذكور
٤٤	صورة (٤-٢٠) مقطع عرضي في نسيج الكبد لمجموعة الجرعة (3mg/kg) ولمدة ٣٠ يوما في الاناث
٤٤	صورة (٤-٢١) مقطع عرضي في نسيج الكبد لمجموعة الجرعة (4.5 mg/kg) ولمدة ٣٠ يوما في الذكور
٤٤	صورة (٤-٢٢) مقطع عرضي في نسيج الكبد لمجموعة الجرعة (4.5 mg/kg) ولمدة ٣٠ يوما في الاناث
٤٥	صورة (٤-٢٣) مقطع عرضي في نسيج الكبد لمجموعة الجرعة (1.5mg/kg) ولمدة ٦٠ يوما في الذكور
٤٥	صورة (٤-٢٤) مقطع عرضي في نسيج الكبد لمجموعة الجرعة (1.5mg/kg) ولمدة ٦٠ يوما في الاناث
٤٥	صورة (٤-٢٥) مقطع عرضي في نسيج الكبد لمجموعة الجرعة (3mg/kg) ولمدة ٦٠ يوما في الذكور
٤٥	صورة (٤-٢٦) مقطع عرضي في نسيج الكبد لمجموعة الجرعة (3mg/kg) ولمدة ٦٠ يوما في الاناث

٤٦	صورة (٢٧-٤) مقطع عرضي في نسيج الكبد لمجموعة الجرعة (4.5 mg/kg) ولمدة 60 يوما في الذكور
٤٦	صورة (٢٨-٤) مقطع عرضي في نسيج الكبد لمجموعة الجرعة (4.5 mg/kg) ولمدة 60 يوما في الإناث
٤٦	صورة (٢٩-٤) مقطع عرضي في نسيج العظم لمجموعة السيطرة في الذكور
٤٦	صورة (٣٠-٤) مقطع عرضي في نسيج العظم لمجموعة السيطرة في الإناث
٤٧	صورة (٣١-٤) مقطع عرضي في نسيج العظم لمجموعة الجرعة (1.5mg/kg) ولمدة ٣٠ يوما في الذكور
٤٧	صورة (٣٢-٤) مقطع عرضي في نسيج العظم لمجموعة الجرعة (1.5mg/kg) ولمدة ٣٠ يوما في الإناث
٤٧	صورة (٣٣-٤) مقطع عرضي في نسيج العظم لمجموعة الجرعة (3mg/kg) ولمدة ٣٠ يوما في الذكور
٤٧	صورة (٣٤-٤) مقطع عرضي في نسيج العظم لمجموعة الجرعة (3mg/kg) ولمدة ٣٠ يوما في الإناث
٤٨	صورة (٣٥-٤) مقطع عرضي في نسيج العظم لمجموعة الجرعة (4.5mg/kg) ولمدة ٣٠ يوما في الذكور
٤٨	صورة (٣٦-٤) مقطع عرضي في نسيج العظم لمجموعة الجرعة (4.5mg/kg) ولمدة ٣٠ يوما في الإناث
٤٨	صورة (٣٧-٤) مقطع عرضي في نسيج العظم لمجموعة الجرعة (1.5mg/kg) ولمدة 60 يوما في الذكور
٤٨	صورة (٣٨-٤) مقطع عرضي في نسيج العظم لمجموعة الجرعة (1.5mg/kg) ولمدة 60 يوما في الإناث
٤٩	صورة (٣٩-٤) مقطع عرضي في نسيج العظم لمجموعة الجرعة (3mg/kg) ولمدة 60 يوما في الذكور
٤٩	صورة (٤٠-٤) مقطع عرضي في نسيج العظم لمجموعة الجرعة (3mg/kg) ولمدة 60 يوما في الإناث
٤٩	صورة (٤١-٤) مقطع عرضي في نسيج العظم لمجموعة الجرعة (4.5mg/kg) ولمدة 60 يوما في الذكور
٤٩	صورة (٤٢-٤) مقطع عرضي في نسيج العظم لمجموعة الجرعة (4.5mg/kg) ولمدة 60 يوما في الإناث

## المقدمة *Introduction*

تعد مركبات الستيرويدات من أكثر المركبات الكيميائية علاقة بتنظيم حياة الإنسان حيث أنها تنتشر في أكثر من مجال و بأكثر من مركب لتدخل في العديد من التفاعلات الأيضية التي تؤدي إلى تكوين مركبات مهمة تساهم بفعاليات مهمة داخل جسم الكائن البشري والكائنات الحية الأخرى (وصفي وقصير، ١٩٨٢). وفي هذا المضمار يمكن تصنيف مركبات الستيرويد إلى الأصناف الآتية:

- ١- **الستيروولات Sterols**: وتشمل الكحولات الصلبة وفيتامين D .
  - ٢- **حوامض الصفراء Bile acids**:- وهي مكونات المادة الصفراء التي تفرز من المرارة.
  - ٣- **الهرمونات الستيرويدية Steroid hormones**:- الهرمون الستيرويدي هو مادة تفرزها الغدد الصم عديمة القنوات Ductless gland حيث تزيد في نشاط الأعضاء التي تستقبلها عن طريق الدم. وتؤدي كميات ضئيلة جداً منها للقيام بالتفاعلات الفسلجية المختلفة في الجسم. والهرمونات مجموعة غير متشابهة كيميائياً مع بعضها لذا يتم تصنيفها نسبة إلى فاعليتها الفسلجية وتركيبها الكيميائي (وصفي وقصير، ١٩٨٢).
- فالهرمونات الستيرويدية تكون:-

- ١- **الهرمونات الجنسية Sex hormones** :مثل Androgenes و Oestrogen
- ٢- **هرمونات Adrenal cortex الكظرية hormones** مثل Cortisone و Glucocorticoid و Mineralocorticoid

وقد تم فصل ما لا يقل عن (٢٨) هرموناً ينتمي إلى هاتين المجموعتين ومن أهمها مشتقات الكورتيزون Cortisone (وصفي وقصير، ١٩٨٢).

ادوية Glucocorticosteroids مركبات كيميائية ذات طبيعة هرمونية مشتقة من الكولستيرون وقوتها وتأثيرها الحيوي يعتمد على تأثيرها الكيميائي لكون هذه الادوية لها تأثير مضاد للالتهابات ومنظمة مناعياً ، تستخدم خطوة اولية في معالجة الكثير من الامراض الفطريات مثل (Elliot & Ellis, ١٩٨٧).

تم اكتشاف الكورتيزون في عام (١٩٤٩) بولاية Minnesota من قبل الدكتور Philip Hench حيث استعمل في معالجة التهاب المفصل Arthritis (الخياط، ١٩٦٢)، وقد تم تحضيره من مركبات أولية، أما صناعياً فقد تم تحضيره من البروجيسترون بفعل بعض انواع الفطريات مثل (Madigan *et al.*, 2000). *Rhizopus nigra*

ويستعمل الكورتيزون كمادة علاجية في حالات داء الربو الشعيري والتهاب الجلد وفي أمراض المناعة الذاتية Autoimmuno disease (Maruyama *et al.*, 1999). وكعلاج ضد الأورام الخبيثة (Claman, 1972).

ويكون مادة فعالة ضد التهابات (Ronald, 1995) Rheumatoid arthritis الحساسية (Yoshikawa *et al.*, 1999).

ان استخدام عقار الكورتazon بجرعة عالية أو لوقت طويل يؤدي إلى حصول ضرر للأنسجة (Maruyama *et al.*, 1999).

### اهداف البحث:

- ١- معرفة التغيرات الحاصلة في معايير الدم WBCs والنسبة المئوية لأنواعها و PCV, MCV, Hb, RBCs
- ٢- قياس بعض المعطيات الكيمohيوية : albumin , fibrinogen ,urea, AST,ALT
- ٣- اجراء مقارنة بين المعطيات المدروسة لكل من الذكور والإناث .
- ٤- دراسة التغيرات النسيجية للاعضاء (الكبد ، الطحال ، العظم ) .

## استعراض المراجع Literature Review

تستعمل ادوية Glucocorticosteroids لمعالجة العديد من الامراض ومنها امراض الجهاز التنفسى حي قام الباحث Carryer وجماعته (١٩٥٠) بدراسة اولية وضح فيها فائدة ادوية الكورتيزون الماخوذة عن طريق الفم بهيئة اقراص لمعالجة الحساسية المستحبطة بواسطة حبوب الطبع تلتها دراسة اخرى من قبل الباحث Gelfand (١٩٥١) الذي وضح الفائدة السريرية من استخدام ادوية الكورتيزون عن طريق الاستنشاق في مجتمع صغير من المرضى الذين يعانون من الربو الناتج عن الحساسية ، ان استخدام ادوية الكورتيزون عن طريق الاستنشاق او بهيئة اقراص عن طريق الفم كلاهما عدت من الادوية الاكثر اهمية وفائدة والمتوفرة لمعالجة الربو (Medical Research Council ,1956).

تستخدم ادوية Mineralocorticoid وال Glucocorticoids كعلاج بديل في حالات نقص هرمونات قشرة الغدة الكظرية و تستخدم ايضا، ولتأثيراتها المضادة للالتهابات الفعالة وفي حالات الاضطراب للكثير من الاعضاء كالتهاب القولون وداء الصدفية والربو والتهاب المفاصل وزراعة الاعضاء اذ تستعمل ادوية cocorticoids لمنع تفاعل الجسم مناعيا لذلك لا يتم رفض العضو المزروع (Therapeutic Goods Administration, 2009).

### ٢.١. الحركة الدوائية : Pharmacokinetics

عمر النصف биологический للكورتيزون ١٠٠ دقيقة واكثر من ٩٠% منه يرتبط ببروتينات البلازم ، ان المسلك الرئيسي لازالة الكورتنزون هي بتايشه الى tetrahydrocortison وكمية قليلة من الكورتيزون يتحول راجعا الى الكورتيزون والمركب tetrahydrocortison يطرح مع البول ويصرف بشكل رئيسي كمركب يسمى glucoronides مع نسبة صغيرة جدا من الكورتيزون تطرح بدون تغيير (Therapeutic Goods Administration, 1999).

تمثل المعالجة بالادوية السترويدية بشكل عام والكورتيزون بشكل خاص هي الاكثر شيوعا لمعالجة الاضطرابات الجلدية (Ahluwalia, 1998) و يبدأ التأثير المضاد للالتهاب لهذه الادوية السترويدية بالتفاعل مع المستقبل السترويدی glucocorticoid receptor مما يؤدي الى تكوين معقد glucocorticoid–glucocorticoid receptor complex وينتقل الى النواة وينظم الاستجابة الالتهابية خلال عدة اليات منها :

١. بتفاعل مع تسلسل معين من ال DNA والمعروفة كعناصر سترويدية حساسة تعمل على تنشيط او كبت الجينات .
٢. عن طريق تفاعل بروتين - بروتين ، تقوم بثبيط نشاط او فعالية عوامل النسخ المختلفة والمحمزة للالتهاب مثل البروتين المنشط (AP-1) والعامل النووي (NF-KB) .
٣. بواسطة زيادة تحطيم ال mRNAs معين (Saklatvala, 2002) .

تستطيع ادوية ال glucocorticoid من خلال هذه الاليات ان تثبط بناء اغلب المركبات الوسطية المحفزة للالتهابات الاولية مثل (pro-inflammatory cytokines , adhesion molecules , cytooxygenases , phospholipasesA2 , chemokines)

kocyte inhibitory protein ، مضادة للالتهابات مثل ( interleukin-1 secretoryleu annexin-1 ( Goulding *et al.* ,1998 & Perretti & )، Ahluwalia,2000

وان الفعل لهذه المواد стeroидية غير مقتصر على الجزيئات التي تشتراك في الالتهابات حيث ان الاستخدام الطويل الامد لهذه المركبات له اثار جانبية متعددة على الايض ونمو الخلية . ( Ellison *et al.*, 2000 )

## ٢.٢. الكورتزون : Cortisone

يعد الكورتزون من الادوية стeroيدية المصنعة التي تعمل كالسترويدات الطبيعية المنتجة بواسطة الغدة الكظرية في الجسم، ان هذه الادوية تستخدم لتخفيض الالتهابات و تستخدم ايضا لمعالجة حالات الحساسية والامراض الجلدية والربو ونقص هرمون الغدة النخامية المحفز للكلظرية (Reddy *et al.*,1977).

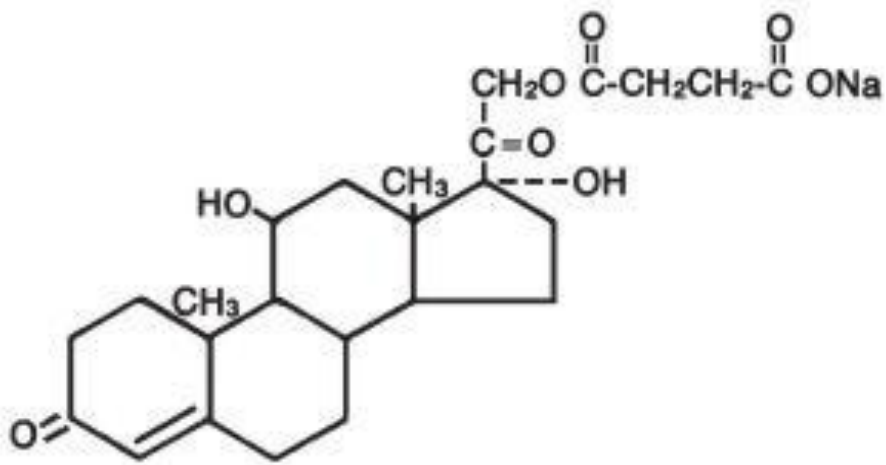
**اسم الدواء:** hydrocortisone sodium succinate

**الصيغة الكيميائية:**

pregn-4-ene-3,20-dione,21-(3-carboxy-1-oxopropoxy)-11,17-dihydroxy-, monosodium salt, (11 $\beta$ )

**الصيغة الجزيئية :  $C_{25}H_{33}NaO_8$**

**الوزن الجزيئي : 484.52 دالتون**



شكل (١-٢) الصيغة التركيبية للهيدروكورتazon

وان استخدام الجرع الكبيرة من الكورتazon تسبب احتباس الماء والاملاح في الجسم وزيادة طرح البوتاسيوم و تسبب ايضا زيادة في طرح الكالسيوم واحتجاز الصوديوم في الجسم مما يسبب الوذمة . (Pharmacia & Upjohn Company,2012) . edema

ويسبب زيادة في كلوكوز المصل حيث بينت بعض الدراسات ان التقليل من ادوية الكورتazon يؤدي الى انخفاض في مستوى كلوكوز الدم . ( John, 1990 ) .

تزداد Low Density Lipoproteins بعد المعالجة بالكورتazon حيث وجد ان الكورتazon يزيد من مستوى LDL في البلازما نتيجة لانخفاض مستقبلات LDL في خلايا الكبد ، ووجد ايضا في دراسات اخرى ان الكورتazon يسبب انخفاضا في البروتين الكلي . ( 1997, AL Rayyes et al. ) .

وللادوية السترويدية تأثير رئيسي في تنظيم التفاعلات الفسلجية والسلوكية المعقدة والضرورية للحفاظة على التوازن (McEwen, 2002). هذه المركبات تمكن الكائن الحي للاستعداد والاستجابة والتغلب على الضغوط الفسلجية ، والافراز الملائم لهذه المركبات متساو مع شدة الضغوط لتمكن الجسم من الاستجابة بالشكل الصحيح لتعزيز الشفاء باعادة التوازن الطبيعي

بسرعة (Yehuda *et al.*, 1998) وان افراز المركبات السترويدية بعد الاجهاد لا يؤخر التحسن فقط بل يسبب عرقلة حالة التوازن الحيوي في المدى القريب (McEwen, 2002).

ومن المحتمل ان المعالجة بالكورتazon مباشرة بعد التعرض لحالة مرضية من الممكن ان يعدل مسار تعرض الاذى من خلال تعزيز الحالة الطبيعية ،لكن الى الان لا توجد صورة كاملة عن مدى تاثير حقن الكورتazon في شفاء الحالات المرضية على الرغم من سلسلة الدراسات الطبيعية التي بينت ان المعالجة بادوية الكورتazon بعد الحالة المرضية الشديدة خفضت وقوع الاضطرابات الشديدة بعد الاصابة . (Schelling *et al.*, 1999, 2001, 2003) ، وان المعالجة بادوية الكورتazon يخفيض من اعراض الاضطرابات الشديدة بعد الاصابة لدى المرضى الذين يعانون من اضطرابات مرضية مزمنة. (Miller *et al.*, 2011)

ظهر الكورتazon كعلاج بديل للأطفال الخدج الذين يعانون من ضيق في التنفس وامراض الرئة المزمنة (Chronic Lung Disease (CLD) ، عمليا عندما يستخدم لمعالجة امراض الرئة المزمنة (CLD) . ان استخدام الكورتazon بجرع منخفضة يزيد احتمالية بقاء الاطفال الخدج بدون امراض رئوية مزمنة ، (Watterberg *et al.*, 2004) ( وهو الحال مع الاستعمال المبكر للديكساميثازون، ان التأثيرات البعيدة المدى للكورتazon على تطور ونمو الجهاز العصبي المركزي في الاطفال قبل وبعد الولادة يبقى مجهولا،في حين تقترح دراسات اخرى أن الكورتazon لا يحدث تأثيرات مضادة لتطور ونمو الجهاز العصبي بشكل ملحوظ. Lattimore ( *et al.*, 2008 )

يعرف الكورتazon كمحفز لصنع البروتين وال RNA الكبدي . (Feigelson *et al.*, 1962) اذ بين John & Miller (1969) ان زيادة الاحماس الامينية مع الهرمونات ومنها الكورتazon يتطلب صنع بروتينات البلازمما بالحد الاقصى في الكبد في حين اظهرت دراسة اخرى حصول زيادة كبيرة في تصنيع الالبومين والفايبرونوجين خلال ٢٤ ساعة من المعاملة بالكورتazon مقارنة مع مجموعة السيطرة وجد ان تصنيع بروتين الالبومين والفايبرونوجين قد ازداد ، حيث ان التصنيع الكامل للالبومين والفايبرينوجين ازداد لدرجة كبيرة والزيادة في الصنع خلال ٢٤ ساعة كانت اكبر وبشكل مناسب من الزيادة في تركيز الاحماس الامينية المتحررة في الكبد.

(McFarlane *et al.*, 1965)

## ٣.٢. تأثير الكورتزون على العضلات

### Effect the cortisone on the muscles

يؤدي استعمال الجرع العالية من الكورتزون إلى الإصابة بالأمراض العضلية الحادة وغالبا في المرضى الذين يعانون اضطرابات في الإرسال العصبي - العضلي (مثل الوهن العضلي) وفي المرضى الذين يأخذون علاج مصاحب بادوية تسبب عرقلة عصبية - عضلية وهذه الأمراض العضلية الحادة عامة قد تتضمن العضلات البصرية والتنفسية وقد يؤدي إلى الخلل الرباعي (ضعف في الأطراف) أو يحدث ارتفاع في إنزيم الكرياتين creatine kinase وان الرجوع إلى الحالة الطبيعية أو الشفاء بعد إيقاف العلاج بادوية الكورتزون قد يتطلب أسلوبين أو سنوات (٢٠١٣، TM Pharmacia Enterprises Sarl). كما يحدث أيضاً عند استخدام أدوية الكورتزون انخفاضاً في أيض وبناء بروتينات العضلات ، مما يؤدي إلى ضعف في العضلة ونقص في حجم وكتلة العضلة ، وفي الحالات الشديدة من الوهن العضلي الناتج عن استخدام أدوية الكورتزون قد يتطور المرض ليؤثر على قابلية الحركة لاغلب العضلات وعليه فان جرعة الدواء يجب ان تقلل واستخدام عوامل اخرى قليلة المركبات السترويدية والتحسين يكون بطئاً او ربما يكون غير كامل لكن برامج زيادة قوة العضلة يمكن ان تساعد في ذلك ، والضعف العضلي يمكن ان يحدث نتيجة لنقص البوتاسيوم hypokalaemia في هذه الحالة يجب التأكد من الاكتروليتات في الجسم (Crilly *et al.*, 1979).

## ٤. تأثير الكورتزون على العظام

نسيج العظم هو نسيج ضام متخصص يتميز بمادة أساس متكلسة ، ويقسم العظم نسيجاً إلى نوعين العظم الأولي primary bone والعظم الثانوي secondary bone ، العظم الأولي يظهر هذا النوع خلال تطور العظام في المراحل الجنينية ويمثل الشكل الأول للعظام المتكونة ومن ثم يتحول ليكون العظم الثانوي، العظم الثانوي secondary bone والذي يوجد في البالغين ويقسم إلى نوعين العظم المصمت compact bone والعظم الاسفنجي (Anthony, 2010) .spongy bone

العظم المصمت compact bone : يتكون من صفات عظمية lamellar bone متعددة المركز مرتبة بشكل موازي لبعضها البعض حول قناة وعائية تحتوي على دموية واعصاب وتدعى

جميعها بنظام هافرس Haversian system او تسمى osteon وتحتوي هذه الصفائح على الخلايا العظمية osteocyte وهذه الخلايا توجد داخل حفر lacunae وترتبط هذه الخلايا مع بعضها بقنوات canaliculi فائتها ربط الخلايا العظمية مع بعضها وتسمح لجميع الخلايا العظمية بالارتباط مع مصدر التغذية والاوكسجين المتمثلة بالقنوات العظمية (قناة هافرس وقناة فولكمان ) وكل osteon يحاط بطبقة غنية بالياف الكولاجين تدعى ال cement line وترتبط قنوات هافرس مع بعضها ومع تجويف نخاع العظم ومع سمحاق العظم periosteum بواسطة قنوات تسمى قنوات فولكمان Volkmann's canals وهذه القنوات تترتب داخل الصفائح العظمية بشكل عمودي لقنوات هافرس والتي من خلالها تمر الاوعية الدموية والاعصاب من سمحاق العظم لتصل الى قنوات هافرس (Anthony,2010).

العظم الاسفنجي spongy bone : يتكون من حويجزات عظمية bony trabeculae تكون مرتبة بطريقة لتقاوم اي قوة تؤثر على العظم وتقع بين الحويجزات العظمية العديد من التجاويف الصغيرة المملوءة بنخاع العظم (Anthony,2010) .

انواع خلايا العظم : تقسم خلايا العظم الى ثلاثة انواع وهي :

١. الخلايا المولدة للعظام osteoblasts: توجد على سطح العظم وتفرز المادة البنية للعظم وتقوم بتكوين خلايا العظم osteocyte .

٢. الخلايا العظمية osteocyte : خلايا التي تشغل العظم تشارك في تكوين العظم وتساعد في تغذية العظم وتحافظ على المادة الاساس .

٣. الخلايا الناقضة للعظام osteoclasts : وتسمى ايضا بالبلعم الكبير توجد على سطح العظم ومسئولة عن ارتشاف العظم في حالة اعادة بناء العظام عندما تتضرر وتنشأ من الخلايا الوحيدة (Anthony,2010) monocyte .

ان التخر العظمي osteonecrosis هو تدهور للعظم يحصل نتيجة لاستخدام ادوية الكورتازون ويحدث بنسبة ٢٥-٥ % ، يظهر في الاشهر الستة الاولى ، والخطر يتطلب طرديا مع زيادة الجرعة وطول فترة العلاج (Coombs *et al.*,1994) ، اطراف عظام الفخذ يظهر بها التاثير وتناثر المفاصل الكبيرة الاخرى ايضا وتظهر الامراضية بشكل مقاطع متنكرة من العظم الغضروفي مرتبطة بتليف الانسجة مع ذلك النشوء المرضي يبقى غامضا (Usher)

& Friedman, 1995) وخلال سنوات قليلة من استعمال ادوية الكورتazon ، قد لوحظ الميل المتزايد لنخر العظام وسهولة كسرها فقد اجريت العديد من الدراسات لتوضيح ارتباط هشاشة العظام osteoporosis واستخدام ادوية الكورتazon حيث اجريت الدراسات على المرضى الذين يعانون من التهاب المفاصل الرثوي ، واظهرت النتائج وجود عوامل مسببة لهشاشة العظام اذ كانت عوامل واضحة لوجود هشاشة العظام ، وان النسبة الاكبر من خسارة المادة العظمية حدثت في الاشهر الستة الاولى ويعتقد انها تستمر بنسبة اوسط باستمرار استعمال ادوية الكورتazon ، حيث اظهرت الدراسات وجود ارتباط بين ادوية الكورتazon المترادمة والكتافة العظمية ، لذلك المعالجة باوطئ جرعة ممكنة من ادوية الكورتazon مهمة ، والخسارة في المادة العظمية تكون اكبر في منطقة الحواجز العظمية التي تكون ذات نشاط ايضي اكبر ، اضافة الى التنخر الحاصل في قشرة العظم . (Reid, 1989). يمكن اعادة المادة العظمية الى الحالة الطبيعية بعد معالجة الحالة المرضية بادوية الكورتazon الا انه لا توجد دراسات تؤكد رجوع المادة العظمية الى الحالة الطبيعية بعد توقف العلاج بادوية الكورتazon الا ان هناك بعض الادلة التي تؤكد حصول زيادة في كثافة المادة العظمية عند استخدام علاج معين لهشاشة العظام المستحدثة بادوية الكورتazon (Struys et al., 1995)

## ٢.٥. تأثير الكورتazon على الغدد اللعابية تحت الفكية

### Effect the cortisone on the submandibular gland

تؤثر المعالجة بادوية الكورتazon على اغلب الاعضاء ، ويعتمد تأثير المعالجة على عدة عوامل منها مدة العلاج واوقات العلاج اليومي ، وقد بيّنت الدراسات ان الكورتazon يحدث تغيرات في الغدة اللعابية تحت الفكية للجرذان منها انكماش العناقيد المخاطية والمصلية ، وبعض التغيرات الخلوية والمتضمنة تغليظ في نواة الخلية المصلية والعنبية acini & serous وتوسيع في حجوم الحويصلات المختلفة في سايتوبلازم هذه الخلايا ، هذه التغيرات في الغدة اللعابية مشابهة للتغيرات الناتجة عن المعاملة بالكورتazon (Johnson et al., 1987)، وهذه النتائج جاءت متوافقة مع تأثير العقار triamcinolone في الغدد النكفية في الجرذان (1993، Ahmed). ويمكن ان نستنتج من هذه الدراسات ان الكورتazon يؤثر بشكل رئيسي على اعضاء مختلفة بطريق مختلفة (Mohammad, 2008). يعتقد ان ادوية الكورتazon تعيق عملية الشفاء مسببة انخفاضا في تكاثر الخلية واتساع وعائي revascularization وزيادة

انتاج المادة الاساس matrix ( Nuno et al., ٢٠٠٥ ) فضلا عن تأثيرها المضاد للالتهاب والكافت للمناعة وهذه الادوية تمتلك خاصية وهي قدرتها على حد موت الخلية المبرمج Apoptotic والذي وصف في العديد من الخطوط الخلوية (مثال على ذلك الخلايا الظهارية واللمفاوية ) وموت الخلية الظهارية الجلدية من المحتمل ان يكون عامل بادئ في الاستجابة لشفاء الجروح بعد العملية الجراحية ( Tristan et al., ١٩٩٩ ).

## ٦.٢. تأثير الكورتيزون على الكبد Effect the cortisone on the liver

يعد الكبد أكبـر الغدد الموجودة في الجسم وهو عضـو منفرد ويكون مغطـى بنسيـج رابـط يدعـى محفظـة كـليسـون Glisson's capsule والـوحدة الوظـيفـية الاسـاس فيه هي الفـصـيـصـ الكـبـدـي Liver lobule ، يتـكون الفـصـيـصـ من عـدـد من الصـفـائـحـ الخـلـويـةـ الكـبـدـيـةـ ويـوجـدـ وـسـطـ كلـ فـصـيـصـ وـرـيدـ مرـكـزـيـ ، تـنـتـرـتـ حـولـهـ الخـلـاـيـاـ الكـبـدـيـةـ بشـكـلـ شـعـاعـيـ radial وـتـقـصـلـ الـحواـجـزـ الـلـيـفـيـةـ الفـصـيـصـاتـ الكـبـدـيـةـ المتـجـاـوـرـةـ كماـ تـوـجـدـ فـيـ الـحواـجـزـ وـرـيدـاتـ بوـاـيـةـ صـغـيـرـةـ يـجـريـ الدـمـ منـ هـذـهـ الـوـرـيدـاتـ إـلـىـ أـشـيـاهـ الـجـيـوبـ الـكـبـدـيـةـ Hepatic sinusoids كماـ تـوـجـدـ شـرـيـبـيـنـاتـ كـبـدـيـةـ فـيـ الـحـواـجـزـ بـيـنـ الـفـصـيـصـاتـ ، وـيـفـرـغـ الـعـدـيدـ مـنـ الـشـرـيـبـيـنـاتـ الصـغـيـرـةـ مـباـشـرـةـ فـيـ أـشـيـاهـ الـجـيـوبـ الـكـبـدـيـةـ وـتـكـوـنـ أـشـيـاهـ الـجـيـوبـ مـبـطـنـهـ بـنـوـعـيـنـ مـنـ الـخـلـاـيـاـ هـيـ خـلـاـيـاـ اـنـدوـثـيـلـيـةـ صـغـيـرـةـ وـخـلـاـيـاـ كـوـبـرـ Kupffer Cells وـهـيـ بـلـعـمـيـاتـ تـتـمـكـنـ مـنـ بـلـعـمـةـ الـجـرـاثـيمـ وـالـمـوـادـ غـرـيـبـةـ الـآخـرـىـ فـيـ الـدـمـ الـجـيـبـيـ الـكـبـدـيـ ، وـبـذـلـكـ تـتـمـكـنـ هـذـهـ الـخـلـاـيـاـ مـنـ تـنـظـيفـ الـدـمـ بـكـفـاءـةـ عـالـيـةـ عـنـ مـرـورـهـ مـنـ خـلـالـ هـذـهـ الـجـيـوبـ . وـيـقـومـ الـكـبـدـ بـتـمـثـيلـ السـكـرـيـاتـ وـالـدـهـونـ وـالـبـرـوـتـيـنـاتـ وـهـوـ الـمـسـؤـولـ عـنـ تـكـوـنـ وـإـفـراـزـ الـصـفـرـاءـ إـلـىـ الـأـمـاءـ ، كـمـ يـقـومـ بـخـزـنـ الـفيـتـامـيـنـاتـ وـالـحـدـيدـ ، وـإـزـالـةـ سـمـيـةـ الـكـثـيرـ مـنـ الـأـدـوـيـةـ وـالـهـرـمـوـنـاتـ وـالـمـوـادـ الـأـخـرـىـ وـإـرـاغـهـاـ إـلـىـ الـصـفـرـاءـ ، كـمـ يـشـارـكـ اـيـضاـ فـيـ عـلـمـيـةـ تـخـرـ ( Alison, 1986; Havel, 1986 )

تـؤـثـرـ الـمـعـالـمـةـ بـالـكـورـتـزـونـ إـلـىـ حـصـولـ سـمـيـةـ فـيـ الـخـلـاـيـاـ الـكـبـدـيـةـ فـيـ كـلـ الـمـجـامـعـ الـمـعـالـمـةـ اـذـ اـدـتـ إـلـىـ حـصـولـ زـيـادـةـ فـيـ وزـنـ الـكـبـدـ وـتـنـخـرـ فـيـ الـخـلـاـيـاـ الـكـبـدـيـةـ وـتـرـسـبـ الـكـلـاـيـكـوـجـينـ وـالـدـهـونـ فـيـ خـلـاـيـاـ الـكـبـدـ ( Lowe et al., 1955 ). انـ تـأـثـيرـ اـدـوـيـةـ الـكـورـتـزـونـ عـلـىـ شـكـلـ وـوـظـيـفـةـ الـمـاـيـتوـكـوـنـدـرـيـاـ كانـ مـوـضـوـعـ الـاـهـتـمـامـ لـعـدـةـ سـنـوـاتـ حـيـثـ كـانـ مـعـرـوفـاـ وـلـفـتـرـةـ طـوـيـلـةـ اـنـ الـمـعـالـجـةـ بـالـكـورـتـزـونـ يـؤـديـ إـلـىـ تـغـيـرـاتـ مـلـحوـظـةـ فـيـ اـعـدـادـ الـمـاـيـتوـكـوـنـدـرـيـاـ وـوـظـائـفـهـاـ الـكـيـمـيـائـيـةـ الـحـيـوـيـةـ ، )

(Kerppola, 1960) وقد لوحظ ان هذه التغيرات الكيميائية الحيوية مصاحبة للتغيرات مظهرية واضحة ، على الرغم انه قد لوحظ في سنة ١٩٥٥ ان المعاملة بالكورتazon في الجرذان اظهرت انخفاض في اعداد المايتوكوندريا وزيادة في حجمها في خلايا متن الكبد hepatic (Lowe *et al.*, 1955) parenchymal cell

ان الدراسات المظهرية الكمية بينت بشكل حاسم ان المعالجة بالكورتazon لفترة ٦ ايام يؤدي الى زيادة مميزة في حجم المايتوكوندريا لخلايا الكبد (Kimb erg *et al.*, 1968). وان ملاحظة التغيرات المتبادلة في حجم وعدد المايتوكوندريا يعود الى تفسيرات مختلفة ومن بين هذه التفسيرات هناك احتمالان ممكناً هما : ان التغيرات المتبادلة في حجم وعدد المايتوكوندريا يمكن ان يعكس خسارة اكيدة في جزء من اعداد المايتوكوندريا على حساب نمو الجزء الاخر او ان هذه التغيرات تعود الى عملية انشطار المايتوكوندريا، وهناك دليل جيد وهو ان المايتوكوندريا قادرة على تبادل المعلومات الوراثية . (Coen *et al.*, 1970)

اكتدت الدراسات والبحوث ان الكورتazon يعبر المشيمة في الام الحامل وكل جزء من جسم الجنين سوف يتاثر بالكورتazon الذي يصله من خلال الدم المحمول اليه من الام المعاملة بالكورتazon (Klemcke *et al.*, 1997& Pasqualini *et al.*, 1970).

يثبت الكورتazon تكوين البروتينات والبروتينات السكرية ويخفض التكاثر الخلوي ويسرع من تمثيل الخلايا وهذا يؤخر نمو الخلايا المولدة للسن وهو ما جاء به الباحث Mozhuga, 1987 ( ).

اثبّتت دراسة اخرى ان الكورتazon يؤثر على الدلائل الايضية والمظهرية لفعالية الحيوية لنمو نسيج السن حيث يؤثر الكورتazon على وظيفة هذه الخلايا الافرازية او محتواها من الlectin و glycoprotein و proteoglycans الخلايا (Asmaa *et al.*, 2005).

## ٧.٢. تأثير الكورتazon على الغدة الدرقية

### **Effect the cortisone on the thyroid gland**

اجريت دراسة كان هدفها الكشف عن التغيرات النسجية و الكيماء نسجية الناتجة عن تأثير الكورتيزون (cortisone) على الغدة الدرقية لإناث الأرانب وعلى الرغم من الاستجابة

المتغيره لمادة الكورتيزون بين حيوان و آخر و بين فص و آخر ضمن الحيوان الواحد. فقد أظهرت الدراسة النسجية تغيرات شكلية واضحة في الغدة الدرقية وقد شملت هذه التغيرات انخفاض في ارتفاع خلايا الجريبات بحيث أصبحت مسطحة مع صغر في حجم النواة وتتوسع في الجريبات بشكل عام بسبب تجمع المادة الغروانية وقد حصلت هذه التغيرات في الحويصلات المحيطية والمركبة.

أظهرت الدراسة الكيمياء نسجية للجريبات الدرقية بعد المعالجة بمادة الكورتيزون تقاعلا ايجابيا قليلا تجاه مادة البروتين السكري(glycoprotein) والتي تعني انخفاض في فعالية خلايا الجريبات الدرقية ، واوضحت ان الحجم الجزيئي للمادة الغروانية قد ازداد، وقل لخلايا الجريبات بعد المعالجة بمادة الهايدروكورتيزون والتي تعني انخفاض في فاعلية الغدة الدرقية . على الرغم من شيوع استعمال مادة الكورتيزون بشكل واسع في الحقن الطبي فقد أظهرت هذه الدراسة تغيرات نسجية شكلية وكيمياء نسجية في جريبات الغدة الدرقية كنتيجة لارتفاع الكورتيزون التجاري (AL Hyal ٢٠٠٥).

## ٤.٨. تأثير الكورتيزون على الطحال

### Effect the hydrocortisone on the spleen

وهو أكبر الأعضاء اللمفية ويقع بين المعدة والكلية اليسرى و الحجاب الحاجز و يحاط بمحفظة مكونة من نسيج ضام كثيف يحتوي على بعض الألياف العضلية الملساء. وتحاط المحفظة بالخلب ويمتد منها عدد من الحويجزات إلى داخل العضو ليقسمه إلى فصوص lobules و تحتوي الحويجزات على بعض الألياف العضلية الملساء. وتمثل المسافات ما بين الحويجزات بنسيج لمفي يدعى اللب الطحالى (Splenic Pulp) الذي لا يحتوي على أوعية لمفية ويكون بنوعين هما:-

. اللب الأبيض White Pulp و اللب الأحمر Red Pulp (Paulsen, 2000).

اللب الأبيض White Pulp وهو نسيج لمفي نموذجي يحيط و يتبع الشرايين التي تدخل الطحال ويتخزن بين منطقة وأخرى مكوناً كتلًا كروية أو بيضوية تدعى بالعقيدات الطحالية (Splenic nodules) (تماثل العقائد اللمفية). وهي تجمع للخلايا اللمفية من نوع (B cell) و تظهر فيها مراكز انتباشية (germinal center) تتکاثر فيها الخلايا اللمفاوية (B cell) أما

باقي نسيج اللب الأبيض فيتكون من الخلايا المفاوية (T-cell)، حيث إن الطحال يحتوي حوالي ٩٥-٨٥% من الخلايا المفاوية و ١٥-٥% خلايا غير مفاوية معظمها (Monocyte) ، (Granulocytes) (Duval *et al.*, 1979). وتتميز هذه العقيدات عن العقيدات المتفاية للأعضاء المتفاية الأخرى بأحتوائهما على شرين يدعى الشرين المركزي (central arteriole) ولو أنه غير مركزي في موقعه وقد يوجد أكثر من شرين مركزي واحد في اللب الأبيض (Paulsen, 2000).

اما اللب الأحمر Red Pulp ويكون أكثر تفككاً من اللب الأبيض و يملأ كل المسافات بين الحويزات و اللب الأبيض. و يحتوي اللب الأحمر على عدد كبير من الجيوب أو الجيبانيات الوريدية (Venous sinuses or Sinusoids) التي تبطنها خلايا بطانية طويلة يكون محورها الطولي موازياً للمحور الطولي للجيبياني الدموي. و يظهر اللب الأحمر بين هذه الجيوب على شكل حبال خلوية تدعى بالحجال الطحالية أو حبال بيلروث (Splenic or Billroth cords) التي تكون شبكة أسفنجية من النسيج المتفاية. و تكون الخلايا المتفاية الصغيرة و المتوسطة و الكبيرة الحجم كثيرة العدد في اللب الأبيض ولكنها أقل عدداً وأكثر تفككاً في اللب الأحمر. وقد يحتوي اللب الأحمر على خلايا وحيدة النواة و خلايا بلازمية و كريات دم بيضاء و كريات دم حمر و بلاعم كبيرة.

ويقع بين العقيدات الطحالية و اللب الأحمر منطقة حافية (Marginal Zone) من النسيج المتفاية المفتك مع القليل من الخلايا المتفاية كما و تحتوي أيضاً على بلاعم كبيرة لها فعالية التهامية نشطة و يكون للمنطقة الحافية دور كبير في فعالية الطحال المناعية (Paulsen, 2000)

لقد أوضحت إحدى البحوث انه عند معاملة الفئران بجرعة عالية من عقار الكورتazonin يؤدي إلى الحصول انخفاض شديد و سريع في أعداد الخلايا الفارزة للامينوكلوبيولين (IgA, IgG, IgM) في الطحال (Sabbele *et al.*, 1983). و زيادة الجرعة منه يسبب تحلل خلوي للطحال (Cytolysis) مما يؤدي إلى انخفاض في أعداد الخلايا المتفاية بنوعيها T- cells و B- cells (Rogers & Rogers, 1982)، و يسبب أيضاً حدوث الموت المبرمج (Apoptosis) لمعظم خلايا T- cell الموجودة في طحال الفئران (Iwata *et al.*, 1996)، و عند معاملة خلايا الطحال بعقار الكورتازون تظهر مجموعتان من خلايا القاتلة الطبيعية (Natural cytotoxic (NC) المجموعة الأولى التي لها فعالية

سمية تثبط بواسطة عقار الكورتazon ومجموعة أخرى تكون مقاومة للتنبيط بعقار الكورتazon (Patek *et al.*, 1982)

وجد أنه عند إعطاء عقار الكورتazon للفئران يؤدي إلى انخفاض في وزن الطحال والغدة الصعترية بينما يزداد وزن كل من الكبد والقلب والكلية (Rogers &

Rogers, 1982; Schlesinger & Mark, 1964)

## ٩.٢. تأثير عقار الكورتazon على الغدة الصعترية

### Effect the cotisone on thymus gland

إن المعاملة بعقار الكورتazon يحدث انخفاضاً في وزن الغدة الصعترية (Queiroz, 1993). إذ يسبب تحلل الخلايا الصعترية (Thymlysis)، ففي لب الغدة تكون الخلايا الصعترية مقاومة (resistant) للكورتazon أما قشرة الغدة فالخلايا الثاميوسية تكون حساسة (Khald *et al.*, 1983; Schmidt *et al.*, 1980).

وقد وجد إن عقار الكورتazon يحدث الموت المبرمج (Apoptosis) في الخلايا الثاميوسية القشرية غير الناضجة للفئران والجرذان (Kroemer and Martinez-A, 1995; Iwata *et al.*, 1994). ويتصف الموت المبرمج بتغيرات مبكرة في الغشاء النووي وتمزق النوية وتكثف الكروماتين وتقلص السايتوبلازم (Kroemer & Martinez-A, 1995; Cohen & Duke, 1984).

## المواد وطرائق العمل Materials and Methods

### ١.٣. المواد والأجهزة المستخدمة

#### ١.١.٣. المواد الكيميائية المستخدمة

جدول(١-٣) المواد الكيميائية المستخدمة بحسب اسم الشركة والمنشأ

الشركة	المنشأ	المادة	الترتيب
Randox	England	عدة تقدير فعالية إنزيمات AST و ALT	.١
Biosystems	Spain	عدة لتقدير الألبومين في المصل	.٢
Randox	England	عدة لتقدير الاليوريا في المصل	.٣
Bio_FIBRI	France	عدة لتقدير الفاييرينوجين في البلازما	.٤
BDH	England	Xylene زايلين	.٥
BDH	England	حامض الخليك التاجي	.٦
Merck	Germany	شمع البرافين Paraffin Wax	.٧
BDH	England	صبغة الايويسين eosin	.٨
BDH	England	صبغة هيماتوكسيلين Hemotoxyline	.٩
BDH	Leishman's Stain	صبغة لشمان	.١٠
BDH	England	فورمالين	.١١
BDH	England	كحول اثنيلي Ethanol	.١٢
BDH	England	كلوروформ Chloroform	.١٣
Scharlab S.L	Spain	حامض الفورميك formic acid	.١٤

**٢.١.٣ . الأدوات المستخدمة**

**جدول(٢-٣) الأدوات المستخدمة بحسب اسم المنشأ والشركة**

الشركة	المنشأ	الأدوات المستخدمة	الترتيب
Nunclon	Denmark	أدوات بلاستيكية مختلفة للإحجام	.١
China Mheco	china	أنابيب شعرية	.٢
Gold star	Jordan	أنابيب مانعة للتختثر EDTA tubes	.٣
Volac	England	زجاجيات مختلفة للإحجام Pyrex	.٤
China Mheco	china	شرايح زجاجية Slides	.٥
--	--	عدة تشرير Dissecting Set	.٦
Medical ject	S.A.R	محاقن نبيدة Disposable syringe	.٧

### ٣.١.٣. الاجهزة المستخدمة

جدول (٣-٣) الاجهزة المستخدمة بحسب اسم الشركة والمنشأ

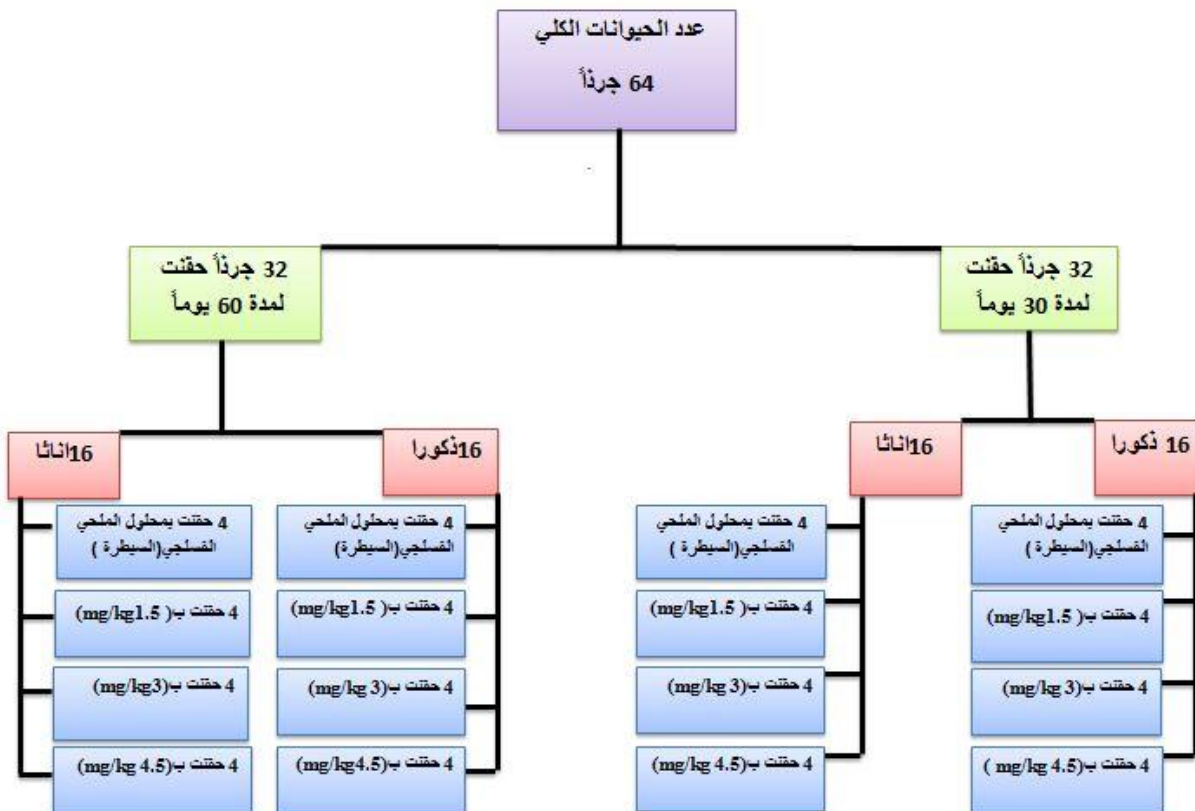
الشركة	المنشأ	الأجهزة	الترتيب
Hermile	Germany	جهاز الطرد المركزي Centrifuge	١.
Memmert	Germany	فرن كهربائي	٢.
Heraeus Christ	Germany	جهاز الطرد المركزي لمكادس الدم Hematocrit centrifuge	٣.
CrisTA Hawksle	Japan	جهاز سالي Sahli	٤.
Superoior	Germany	جهاز عد كريات الدم Hemocytometer	٥.
Daihan Labtech	Korea	حاضنة Digital incubator	٦.
Daihan Labtech	Korea	حمام مائي Digital water bath	٧.
Mettler	Germany	صفحة حارة Hot plate	٨.
Unico,TM	U.S.A	مايكرو توم دوار Rotary Microtome	٩.
Human scope	Germany	مجهر ضوئي Light microscope	١٠.
Apple 203	Japan	مطياف ضوئي spectrophotometer	١١.
Sartorius	Germany	ميزان حساس Sensitive balance	١٢.

### ٢.٣. حيوانات التجربة

تضمنت الدراسة استعمال الجرذان البيضاء (ذكور، إناث) بواقع (٦٤) جرذا وقد قسمت إلى مجموعتين وكل مجموعة (٣٢) جرذا تضمنت (١٦) ذكوراً و(١٦) إناثاً وهذه المجاميع الأخيرة قسمت إلى أربع مجاميع تضمنت كل مجتمع أربعة جرذان تم حقن ثلاثة منها داخل الخلب بعقار الهايدروكورتيزون بتركيز مضاعفة (٤.٥، ٣، ١.٥) ملغم/كغم . من وزن الجسم (Chen et al., 2013) مجموعة لمدة ٣٠ يوماً ومجموعة لمدة ٦٠ يوماً واعتبرت المجموعة الرابعة كمجموعة سيطرة حقنت بال محلول الفسيولوجي بتركيز ٩٠٪ . وبنفس الحجوم المستخدمة ، الجرعة نصف القاتلة LD50 لعقار الكورتيزون هي : mg/kg ١٥٠ (Pfizer Global Environment, 2012) ، وضعت الحيوانات تحت السيطرة في اقفاص خاصة وفي غرفة مكيفة تحت درجة حرارة ٢٥ م° واخضعت لدوره ضوئية انقسمت إلى ١٠ ساعات ضوء و ١٤ ساعة ظلام وتركت لمدة أسبوع كامل للأقلمة لظروف التجربة . وزنت الحيوانات في بداية التجربة وسجلت اوزانها ثم اعطيت كل مجموعة الماء والعلف المختبري بكميات وفيرة وبشكل

متواصل وتم الحصول على العلف من المعامل المحلية، ثم وزنت الحيوانات كل أسبوع وعلى طول فترة التجربة التي استمرت ٦٠ يوما.

### ٢.٢.٣. تصميم التجربة



### ٣.٢.٣. الحصول على عينات الدم ونسيج الأعضاء

#### ١.٣.٢.٣. جمع عينات الدم

بعد ٣٠ يوماً و ٦٠ يوماً من الحقن بعقار الكورتazon يتم تخدير الحيوانات بمادة الكلوروفورم وسحب الدم منها بمحاقن نببية سعة (٥ml) عن طريق ما يعرف بطعنة القلب ثم حفظت عينات الدم أنابيب حاوية على مادة مانعة للتخثر لإجراء فحوصات المعايير الفسلجية وحفظ القسم الآخر منه في أنابيب اختبار غير حاوية على مانع التخثر لإجراء فحوصات المعايير الكيموحيوية للدم.

#### ٢.٣.٢.٣. جمع عينات الطحال والكبد والعظم

بعد سحب الدم تم التضحية بالحيوانات استقطاع أجزاء من الطحال والكبد والعظم ووضعت هذه العينات في عبوات بلاستيكية نظيفة وحفظت بمادة الفورمالين بتركيز ١٠% لحين إجراء التقطيع النسيجي لها.

### ٣.٣. القياسات الدموية

#### - محلول عد كريات الدم الحمر

محلول التخفيف ويسمى Hyam's solution ويحضر من اذابة (0.05g) من  $\text{HgCl}_2$  و(g) (٢.٥) من  $\text{Na}_2\text{SO}_4$  و (٠.٥g) من  $\text{NaCl}$  و(100 ml) من الماء المقطر distilled water حيث يعمل محلول التخفيف على منع تخثر او تكتل كريات الدم الحمر ويحافظ على شكل هذه الكريات (Brown, 1976).

#### - محلول عد خلايا الدم البيض

محلول التخفيف ويسمى Turke's solution تم تحضير هذا محلول بمزج (2ml) من حامض الخليك الثلجي مع (98ml) من الماء المقطر ، ثم إضافة قطرة واحدة من أزرق المثلين بوصفة دليلاً لونياً حيث يقوم محلول بتحطيم كريات الدم الحمر (Sood, 1986).

#### - صبغة لشمان Leishman Stain

تم تحضير محلول صبغة لشمان بإذابة (0.15) غم من مسحوق الصبغة في (133) مل من الكحول الميثيلي الخلالي من الاسيتون (Sood, 1986).

#### - محلول التثبيت

تم تحضير محلول التثبيت فورمالين ١٠ % باضافة (10ml) من الفورمالين المركبالي (٩٠ml) من الماء المقطر لحفظ الاعضاء الحيوانية .

**٤.١.٣.٣. عد كريات الدم الحمر :** استعملت طريقة عداد كريات الدم ومحلول التخفيف (Hyam's solution) لحساب عدد كريات الدم الحمر (Brown, 1976).

تم سحب ٥.٠ من الدم بواسطة الماصة ثم سحب من محلول التخفيف لتخفيف الدم الى العالمة ١٠١ وبذلك يخفف الدم الذي امترز مع محلول بمقدار ٢٠٠ مرة هملت القطرات الثلاث الاولى ثم وضعت القطرة الرابعة على الشريحة وتركها لمدة دققتين لكي تستقر الخلايا على الشريحة ثم تم نقلها إلى المجهر وفحصها تحت قوى التكبير الصغرى (X 10) ، وتم حساب عدد كريات الدم الحمر في المربعات الوسطية الأربع في زوايا عداد كريات الدم والمربع الوسطي وتحسب:-

$$R.B.Cs = \text{Number cells counted} \times 10000$$

**٢.٣.٣. عد خلايا الدم البيض Total Leucocytes Count :** استعملت طريقة عداد خلايا الدم ومحلول التخفيف (Turke's solution) لحساب عدد خلايا الدم البيض الكلي (Brown, 1976).

وضع (0.4ml) من محلول ترك في أنبوبة اختبار نظيفة ثم زيد فيها (0.02ml) من الدم المسحوب ورج المزيج جيداً ثم نقلت قطرة من المزيج إلى عداد الخلايا وبعد وضع غطاء الشريحة وتركها لمدة دقيقةتين لكي تستقر الخلايا نقل عداد الخلايا إلى المجهر وفحصت تحت قوى التكبير الصغرى (X 10)، وتم حساب عدد خلايا الدم البيض في المربعات الوسطية الأربع في زوايا عداد خلايا الدم وتحسب:-

$$W.B.Cs = \text{Number cells counted} \times 50$$

### ٣.٣. العد التفريقي لخلايا الدم البيض

توضع قطرة الدم المسحوبة باستعمال ماصة خاصة لهذا الغرض على بعد 1cm من حافة شريحة زجاجية نظيفة وقد سحب القطرة بحافة شريحة زجاجية أخرى موضوعة بزاوية مقدارها ٤٥° باتجاه حافة الشريحة الأخرى حيث تكون مسحة دموية متجانسة السمك وبعدها تترك الشريحة الزجاجية حتى جفت المسحة الدموية وصبغت باستعمال صبغة لشمان وبعد مرور (5-10) دقائق غسلت الشريحة بالماء المقطر وجفت بالهواء وقد تم فحص الشريحة تحت المجهر باستعمال القوة الصغرى للتأكد من تجانس المسحة الدموية ثم بالقوى الكبرى وأخيراً بالعدسة الزيتية يتم حساب نسب خلايا الدم البيض. (& Pettite Hoffbraund, 1989)

### ٣.٤. قياس الهيموكلوبين (Hb)

تم قياس الهيموكلوبين باستخدام طريقة سالي Sahli، وأساس هذه الطريقة هي تحول خضاب الدم إلى هيماتين حامضي، والناتج من تفاعل حامض الهيدروكلوريك 1% المضاف، وبعد تخفيف هذا المزيج بالماء المقطر يقارن مع اللون القياسي للجهاز وتحسب القيمة بالغرام / ديسيلتر من الدم (Sood, 1985).

### ٣.٣.٥. قياس حجم الكريات المرصوصة (PCV)

استخدمت طريقة المكdas الدقيقة (Microhaematocrit) باستعمال الأنابيب الشعرية (Capillary tubes) واستخدم جهاز الطرد المركزي الخاص لحجم الكريات المرصوصة PCV، ثم قرأت النتيجة بوساطة المسطرة الخاصة Microhaematocrit centrifuge reader ، وحسبت النتيجة بالنسبة المئوية (%) ( Coles, 1986 ) .

### ٣.٣.٦. حساب متوسط حجم الكريات MCV

متوسط حجم الكريات MCV وتحسب من المعادل الآتية ( Coles, 1986 ) :

$$MCV (FL) = \frac{PCV(\%) \times 10}{RBCs}$$

### ٤. القياسات الكيموحيوية

بعد سحب الدم من الحيوان وضع في أنابيب نظيفة تحتوي على مادة الجل وترك لمدة نصف ساعة ليختثر ومن ثم وضع في جهاز الطرد المركزي Centrifuge لمدة 10 دقائق وبسرعة 4000 دورة / دقيقة حيث يتم فصل المصل ومن ثم سحب بواسطة الماصة الى أنابيب نظيفة .

وتم قياس المعايير الكيموحيوية الآتية :

١. قياس تركيز إنزيمات الكبد ALT,AST .
٢. قياس تركيز الألبومين Albumin .
٣. قياس تركيز البيوريا Urea .

### ٤.١. قياس تركيز إنزيمات الكبد ALT,AST

تم قياس مستوى فعالية إنزيمي AST, ALT في مصل الدم باستخدام عدة التقدير الجاهزة Kit .

تعتمد هذه الطريقة على تقدير كمية البايروفيت Pyruvate والاكوكوالاسيتات Oxaloacetate المتحررين بواسطة تفاعلاها مع ثانوي نايتروفنيل هايدرازين (Bergmeyer *et al.*, 1985)

مزجت محتويات الأنابيب جيداً ثم قيست الامتصاصية لها عند الطول الموجي 540nm وتم تسجيل النتائج كما مثبت في ورقة تعليمات عدة التقدير وتم رسم العلاقة بين الامتصاصية وفعالية الإنزيم بوحدات U/L ، وتمثل الوحدة الأنزيمية الواحدة كمية الإنزيم التي تسبب تحرر مايكرومول واحد من البايروفيت خلال دقيقة واحدة في ظروف التفاعل.

أنبوبة الكفاء (Blank)	أنبوبة الفحص (Test)	المحاليل
-----	0.1	العينة (المصل)
0.5	0.5	محلول الدارئ AST أو ALT R1
مزجت محتويات الأنابيب جيداً وحضرت بدرجة حرارة 37°C لمدة 30 دقيقة.		
0.5	0.5	محلول ثانوي فنيل الهايدرازين R2
0.1	-----	العينة (المصل)
مزجت محتويات الأنابيب جيداً وحضرت بدرجة حرارة C (20-25) لمدة 20 دقيقة.		
0.5	0.5	محلول هيدروكسيد الصوديوم R3

ملاحظة.. جميع الحجوم محسوبة بالمليلتر..

واستخدمت المحاليل في التجربة وتشمل :

#### ١- محلول الفوسفات الدارئ:

أ- لإنزيم ALT ويكون من الانين (200mM) والفاكتوكلوتاريت (2.0mM) المذابان في محلول الفوسفات الدارئ (pH 7.4).

ب- لإنزيم AST ويكون من حامض الاسبارتيك (100mM) والفاكتوكلوتاريت (2.0mM) المذابين في محلول الفوسفات الدارئ (pH 7.4).

#### ٢- محلول ثانوي نايتروفنيل هيدرازين (2.0 mM) :

٣ - محلول هيدروكسيد الصوديوم (0.4N): تم تخفيض هذا محلول عشرة مرات ب بواسطة الماء المقطر قبل استعماله.

### ٤.٢.٤. قياس تركيز الالبومين في المصل

تم قياس الالبومين في مصل الدم حسب الطريقة المذكورة في عدة التقدير Kit (Friedman& Young , 2001) وكما يلي:

Blank	انبوبة الكفو Standard	المحلول القياسي	العينة Sample	المحلول
-	10	-	-	المحلول القياسي Standard
-	-	10	10	العينة Sample
1.0 ml	1.0 ml	1.0 ml	1.0 ml	المحلول الدارئ Reagent

ملاحظة جميع الحجوم محسوبة بالمليلتر....

رجت الانابيب جيدا ثم تركت دقيقة واحدة في درجة حرارة الغرفة ثم تم قراءة الامتصاصية بجهاز المطياف الضوئي spectrophotometer على طول موجي 630 nm .

ثم قيس تركيز الالبومين حسب المعادلة الآتية :

$$C_{sample}(g/dl) = \frac{A_{sample}}{A_{standard}} \times C_{standard} (50)$$

C = التركيز ( للعينة ، للمحلول القياسي )

A = الامتصاص الضوئي ( للعينة ، للمحلول القياسي )

### ٣.٤.٣. قياس تركيز اليوريا Urea في المصل

تم قياس اليوريا في مصل الدم حسب الطريقة المذكورة في عدة التقدير (Patton&Crouch,1977)Kit وكما يلي:

Blank	انبوبة الكفو Standard	المحلول القياسي	العينة Sample	المحلول
-	10	-	-	المحلول القياسي Standard
-	-	10	10	العينة Sample
1.0 ml	1.0 ml	1.0 ml	1.0 ml	المحلول الدارئ Reagent R1
رجت الانابيب جيدا ثم تركت لمدة 5 دقائق في درجة حرارة الغرفة ثم اضيف لكل من هذه الانابيب				
200	200	200	200	محلول هايبوكلوريد R2

ملاحظة.. جميع الحجوم محسوبة بالمليلتر..

رجت الانابيب جيدا ثم تركت 10 دقائق في درجة حرارة الغرفة ثم تم قراءة الامتصاصية بجهاز المطياف الضوئي spectrophotometer على طول موجي 600 nm .

ثم قيس تركيز اليوريا حسب المعادلة الآتية :

$$C_{sample}(mg/dl) = \frac{A_{sample}}{A_{standard}} \times C_{standard} (48.38)$$

حيث يمثل كل من :

$C$  = التركيز (للعينة ، للمحلول القياسي )

$A$  = الامتصاص الضوئي (للعينة ، للمحلول القياسي )

#### ٣.٤.٤. قياس الفايبروجين في البلازما

تم قياس الفايبرينوجين في بلازما الدم حسب الطريقة المذكورة في عدة التقدير Kit (Clinical Guidebto Laboratory Test,2006 ) وكما يلي:

تم سحب 2 ml من الدم من القلب ووضعت في انبوب تحتوي على مادة sodium citrate المانعة للتخثر ومن ثم وضعت هذه الانبوب في جهاز الطرد المركزي Centrifuge لمدة 5 دقائق وبسرعة 5000 دورة/ دقيقة لفصل البلازما ومن ثم قياس الفايبروجين كما يلي:-

١ - تم اضافة 450 ul من محلول الدارئ Hepes buffer الى انبوبة اختبار ثم اضيف 50 ul من البلازما لنفس الانبوبة ليصبح حجم محلول 500 ul . ثم سحب من هذا محلول 200ul الى انبوبة اخرى وحضنت في الحمام المائي لمدة دقيقتين وتحت درجة حرارة 37°C ثم اضيف الى هذا محلول 200 ul من محلول الثرومبين thrombin الذي هو عبارة عن مسحوق تمت اذابته ب( 4 ml ) من الماء المقطر وعند اضافة هذا محلول الى الانبوبة يتم تحريكه بال loop وعند مشاهدة اول خيط يتم تسجيل الوقت حيث بعد مرور عدة ثوانى تظهر كتلة من خيوط الفايبرينوجين في الانبوبة ويتم تسجيل النتائج من ورقة النتائج التي تاتي مع عدة القياس ( Kit ) .

#### ٣.٥. تحضير المقاطع النسجية Histological Section Preparation

حضرت المقاطع النسجية حسب طريقة Bancroft & Stevens، (١٩٨٢) وتضمنت ما يلي:

**٣.١. التثبيت fixation**

بعد التضحية بالحيوانات تم استخراج الاعضاء وتم تقطيعها الى قطع صغيرة ووضعت في محلول التثبيت (فورمالين ١٠٪) ثم بعد مرور ٢٤ ساعة تم تجديد محلول الفورمالين .

**٣.٢. الأنكارز Dehydratio**

وضعت الاعضاء في الكحول الأثيلي بتركيز ٧٠٪ الى اليوم التالي ثم مررت النماذج في تراكيز تصاعدية من الكحول الأثيلي (٨٠ ، ٩٠ ، ١٠٠ و ١٠٠٪) لمدة ٢-١.٥ ساعة في كل تركيز و ذلك لإزالة الماء منها.

**٣.٣. الترويق Clearing**

روقت العينات بالزايلين مرتين و لمدة ساعة لكل مرة و ذلك لإزالة محلول الأنكارز من الأنسجة

**٣.٤. التشريب Infiltration**

شربت العينات بشمع البرافين المنصهر بدرجة حرارة ٦٠°C و ذلك بوضع العينات فيها مرتين و لمدة ١ ساعة للشمع الاول وساعة للشمع الثاني .

**٣.٥. الطمر Embedding**

طمرت العينات في قوالب خاصة حاوية على شمع البرافين المنصهر و تركت للتصلب في الثلاجة ليتم تقطيعها .

**٣.٦. التقطيع Sectioning**

حضرت مقاطع نسجية متسلسلة بسمك ٦ مايكرومتر بإستعمال جهاز المشراح الدوار (Rotary microtome) وثبتت النماذج على شرائح زجاجية بإستعمال لاصق البومين ماير (Meyer's albumine) بعدها وضعت الشرائح في درجة حرارة الغرفة لليوم التالي لتجف .

**٣.٧. التصبغ Staining**

صبغت المقاطع بصبغة الهيماتوكслиن والابوسين إذ مررت الشرائح في الزايلين مرتين لمدة ٣٠ دقيقة لكل مرة ومن ثم مررت بتراكيز تنازيلية من الكحول الأثيلي (١٠٠ - ٩٥ - ٩٠ - ٨٠ -).

(٧٠٪) لمدة دقيقتين لكل منها ، وغسلت المقاطع بماء الحنفيه لمدة ٥ دقائق ووضعت بعد ذلك في صبغة الهيماتوكسلين لمدة ١٥ دقيقة ثم غطست في كحول حامضي غطسة واحدة وغسلت المقاطع بماء الحنفيه لمدة ٥ دقائق ووضعت في صبغة الايوسين لمدة ٧ دقائق ثم مررت بتراكيز تصاعدية من الكحول الأثيلي (٨٠-٩٥-٩٠-١٠٠٪) لمدة دقيقتين لكل تركيز وثم مررت بالزايلين مرتين لمدة ١٥ دقيقة لكل مرة .

### **٣.٨.٥. التحميل Mounting**

وضع غطاء الشريرة باستعمال كندا بلسم . وبعدها تم تشخيص المقاطع النسجية للاحظة التغيرات النسجية.

### **٣.٦.٣. تحضير المقاطع النسجية للعظم**

تم عمل المقاطع النسجية للعظم بازالة املاح الكالسيوم بعملية تسمى decalcification وذلك بوضع العظم في حامض الفورميك Formic acid بتركيز (١٠٪) وتم تبديل محلول كل ٢٤ ساعة وتم التأكد من ازالة املاح الكالسيوم باختراق الابرة للعظم فإذا اخترقت الابرة العظم بسهولة فهذا يدل على ازالة املاح الكالسيوم ومن ثم وضع في الفورمالين بتركيز (١٠٪) لحين عمل المقاطع النسجية بالطريقة التي ذكرت اعلاه . (verdenins et al.,1958).

### **٣.٧. التحليل الاحصائي statistical analysis**

تم اجراء التحليل التباين لتجربة عاملية وفق التصميم العشوائي الكامل لدراسة تأثير الحقن بالكورتزون على المعايير الدموية والكيموحيوية واختيار معنوية الفروقات بين المتوسطات باستخدام اختبار دنكن المعدل (L.S.D) Revised Least Significant Differences (الساهوكي وجماعته ١٩٩٠، )

## **Result النتائج**

في الجدول (٤-٤) التي تبين تأثير ثلاث جرع من الكورتزون على بعض المعايير الدموية في ذكور واناث الجرذ الايبير ولمرة ٣٠ يوما من الحقن حيث نلاحظ ازدياد اعداد كريات الدم الحمر زيادة معنوية  $P < 0.005$  مع مضاعفة الجرعة وبالمقارنة مع مجموعة السيطرة وحصول انخفاض معنوي  $P < 0.005$  في اعداد خلايا الدم البيضاء الهيموكلوبين و الحجم الانضغاطي لخلايا الدم الحمر PCV و الحجم الانضغاطي لحجم الكريمة MCV عند مضاعفة الجرعة وبالمقارنة مع السيطرة ، كذلك نلاحظ حصول انخفاض معنوي  $P < 0.005$  في خلايا الدم البيضاء اللمفاوية lymphocyte والخلايا الوحيدة Monocyte والخلايا الحمضة Eosinophil عند مقارنة المجاميع المعاملة مع مجموعة السيطرة وحصل ارتفاع معنوي  $P < 0.005$  في الخلايا العدلة Neutrophil عند مقارنة المجاميع المعاملة مع مجموعة السيطرة مع عدم وجود فروق معنوية  $P > 0.05$  بالنسبة للجنس عند المقارنة بين الاناث والذكور للمعايير الدموية جميعها .

في الجدول (٤-٦) التي تبين تأثير ثلاث جرع من الكورتزون على بعض المعايير الدموية في ذكور واناث الجرذ الايبير ولمرة ٦٠ يوما من الحقن حيث نلاحظ ازدياد اعداد كريات الدم الحمر زيادة معنوية  $P < 0.005$  مع مضاعفة الجرعة وبالمقارنة مع مجموعة السيطرة وحصل انخفاض معنوي  $P < 0.005$  في اعداد خلايا الدم البيضاء الهيموكلوبين و الحجم الانضغاطي لخلايا الدم الحمر PCV و الحجم الانضغاطي لحجم الكريمة MCV عند مضاعفة الجرعة وبالمقارنة مع السيطرة ، كذلك نلاحظ حصول انخفاض معنوي  $P < 0.005$  في خلايا الدم البيضاء اللمفاوية lymphocyte والخلايا الوحيدة Monocyte والخلايا الحمضة Eosinophil عند مقارنة المجاميع المعاملة مع مجموعة السيطرة وحصل ارتفاع معنوي  $P < 0.005$  في الخلايا العدلة Neutrophil عند مقارنة المجاميع المعاملة مع مجموعة السيطرة مع عدم وجود فروق معنوية  $P > 0.05$  بالنسبة للجنس عند المقارنة بين الاناث والذكور للمعايير الدموية جميعها .

اما في الجدول (٤-٧) التي تبين تأثير جرع مضاعفة من الكورتزون في ذكور واناث الجرذ الايبير في المعايير الكيموحيوية ولمدة ٣٠ يوما من الحقن حيث نلاحظ ازدياد في انزيمات الكبد ALT و AST زيادة معنوية  $P < 0.005$  بمضاعفة الجرعة عند المقارنة المجاميع المعاملة مع مجموعة السيطرة ، بينما لا توجد اي فروق معنوية  $P > 0.05$  لليوريا في المجاميع المختلفة عند مقارنتها مع مجموعة السيطرة ، اما الالبومين والفايبرونوجين فنلاحظ زيادة معنوية

$P < 0.05$  في المجاميع المعاملة عند المقارنة مع مجموعة السيطرة في حين لم نلاحظ وجود فروق معنوية  $P > 0.05$  للجنس عند المقارنة الذكور مع الاناث ولجميع المعاملات .

اظهرت النتائج في الجدول (٤-٤) التي تبين تأثير جرع مضاعفة من الكورتيزون في ذكور واناث الجرذ الابيض في المعايير الكيموحيوية ولمدة ٦٠ يوما من الحقن حيث نلاحظ ارتفاع في انزيمات الكبد ALT و AST زيادة معنوية  $P < 0.05$  بمضاعفة الجرعة عند المقارنة المجاميع المعاملة مع مجموعة السيطرة ، بينما لا توجد اي فروق معنوية  $P > 0.05$  للبورياء في المجاميع المختلفة عند مقارنتها مع مجموعة السيطرة ، اما الالبومين والفايبرونوجين فنلاحظ زيادة معنوية  $P < 0.05$  في المجاميع المعاملة عند المقارنة مع مجموعة السيطرة في حين لم نلاحظ وجود فروق معنوية  $P > 0.05$  للجنس عند المقارنة الذكور مع الاناث ولجميع المعاملات .

جدول (٤) يوضح تأثير جرع مختلفة من الكورتيزون على المعايير الدموية في ذكور وإناث  
الجرذ لمدة ٣٠ يوما (standard error  $\pm$  Values are mean)

P value	معدل الإناث	معدل الذكور	P value	معدل الجرعة الثالثة (4.5mg/kg)	معدل الجرعة الثانية (3mg/kg)	معدل الجرعة الأولى (1.5mg/kg)	معدل السيطرة	المعايير
P>0.05	١٠.٨١ ٠.٦١±	10.16 ٠.٥٧±	P<0.05	$\pm^{*} 13.٦٥$ ٠.١٨	$\pm^{*} 11.٨٧$ ٠.٤٥	$\pm^{*} ٩.٣٦$ ٠.٢٠	$\pm ٧.٩٧$ ٠.١٥	RBC/ $10^6$
P>0.05	٧.١١ ٠.٤٤±	$\pm ٧.٨٢$ ٠.٦٥	P<0.05	$\pm^{*} ٥.٣٢$ ٠.٣٠	$\pm^{*} ٦.٢٣$ ٠.٢٦	$\pm^{*} ٧.٩٦$ ٠.٢٤	١٠.٣٥ ٠.٦٧±	WBC / $10^3$
P>0.05	١٠.٦٥ ٠.٩٢±	١٠.٩١ ٠.٧٩±	P<0.05	$\pm^{*} ٦.٩٨$ ٠.٦٤	$\pm^{*} ١٠.١٥$ ٠.٦٢	$\pm^{*} ١١.٦٦$ ٠.٧١	١٤.٣٥ ٠.٩٨±	Hb g/dl
P>0.05	٢٨.٧٢ ١.١٤±	٢٨.٣٥ ٠.٥٧±	P<0.05	$\pm^{*} ٢٥.١٧$ ٠.٥٨	$\pm^{*} ٢٧.٨٥$ ٠.٧٤	$\pm^{*} ٢٨.٧٥$ ٠.٩٤	٣٢.٣٧ ١.٢٠±	PCV %
P>0.05	٢٨.٠١ ١.٨٩±	٣٠.٠٤ ١.٣٤±	P<0.05	$\pm^{*} ١٩.٧٥$ ١.٤٧	$\pm^{*} ٢٦.١٥$ ١.٧٧	$\pm^{*} ٢٩.٧٦$ ١.٠٨	٤٠.٤٥ ٠.٨٤±	MCV / fl
P>0.05	٦٩.٠٥ ٢.٢٤±	٦٩.٩٦ ٢.٣٨±	P<0.05	$\pm^{*} ٥٨.٤٦$ ١.٧١	$\pm^{*} ٦٧.٤٣$ ٠.٥٢	$\pm^{*} ٧١.٨٧$ ١.١٢	٨٢.٠٧ ٠.٤٨±	Lymphocyte %
P>0.05	$\pm ٢.٩٣$ ٠.٣٧	$\pm ٢.٢٣$ ٠.٣٥	P<0.05	$\pm^{*} ٠.٨٣$ ٠.٠٢	$\pm^{*} ١.٦٣$ ٠.٠٣	$\pm^{*} ٢.١٥$ ٠.٢١	$\pm ٤.٣١$ ٠.٣١	Monocyte %
P>0.05	٢٦.١٦ ٢.٧٦±	٢٦.٢٦ ٢.٩١±	P<0.05	$\pm^{*} ٤٠.٠٢$ ١.٨٠	$\pm^{*} ٢٩.٨٦$ ٠.٥٥	$\pm^{*} ٢٤.٢٧$ ١.١٠	١٠.٦٥ ٠.٣٦±	Neutrophil %
P>0.05	$\pm ١.٨٦$ ٠.٢٣	$\pm ١.٥٥$ ٠.٢٦	P<0.05	$\pm^{*} ٠.٦٩$ ٠.٠١	$\pm^{*} ١.٠٨$ ٠.١٣	$\pm^{*} ١.٧١$ ٠.١٥	$\pm ٢.٩٧$ ٠.٢٠	Eosinophil %

\* وجود فرق معنوي عند مستوى احتمال <0.05

جدول (٤-٢) يوضح تأثير جرع مختلفة من الكورتيزون على المعايير الدموية في ذكور وإناث  
 الجرذ لمدة ٦٠ يوما (standard error  $\pm$ Values are mean)

P value	معدل الإناث	معدل الذكور	P value	معدل الجرعة الثالثة (4.5mg/kg)	معدل الجرعة الثانية (3 mg/kg)	معدل الجرعة الاولى (1.5 mg/kg)	معدل السيطرة	المعايير
P>0.05	$\pm 10.28$ 0.03	$\pm 10.67$ 0.08	P<0.05	$\pm *13.13$ 0.27	$\pm *11.05$ 0.72	$\pm *9.58$ 0.29	$\pm 8.15$ 0.30	RBC/ $10^6$
P>0.05	$\pm 5.86$ 0.04	$\pm 5.81$ 0.06	P<0.05	$\pm *3.17$ 0.29	$\pm *4.31$ 0.63	$\pm *5.81$ 0.64	$\pm 10.05$ 0.68	WBC / $10^3$
P>0.05	$\pm 11.26$ 0.70	$\pm 11.80$ 0.00	P<0.05	$\pm *8.98$ 0.67	$\pm *10.60$ 0.51	$\pm *12.32$ 0.00	$\pm 14.22$ 0.01	Hb g/dl
P>0.05	$\pm 28.38$ 1.26	$\pm 29.03$ 0.30	P<0.05	$\pm *26.41$ 1.28	$\pm *27.28$ 1.28	$\pm *29.45$ 0.93	$\pm 31.67$ 0.92	PCV %
P>0.05	$\pm 32.14$ 2.28	$\pm 32.10$ 1.39	P<0.05	$\pm *24.35$ 2.49	$\pm *30.42$ 1.04	$\pm *33.85$ 1.66	$\pm 39.96$ 1.09	MCV / fl
P>0.05	$\pm 64.93$ 2.79	$\pm 65.40$ 2.80	P<0.05	$\pm *52.01$ 0.60	$\pm *60.42$ 1.03	$\pm *67.26$ 1.07	$\pm 80.97$ 0.36	Lymphocyte %
P>0.05	$\pm 2.23$ 0.38	$\pm 2.24$ 0.38	P<0.05	$\pm *0.62$ 0.02	$\pm *1.62$ 0.13	$\pm *2.23$ 0.12	$\pm 4.47$ 0.24	Monocyte %
P>0.05	$\pm 31.27$ 2.35	$\pm 30.77$ 2.46	P<0.05	$\pm *46.84$ 0.77	$\pm *36.86$ 1.07	$\pm *29.00$ 1.09	$\pm 11.38$ 0.40	Neutrophil %
P>0.05	$\pm 1.07$ 0.27	$\pm 1.09$ 0.28	P<0.05	$\pm *0.53$ 0.02	$\pm *1.10$ 0.10	$\pm *1.01$ 0.24	$\pm 3.18$ 0.16	Eosinophil %

\* وجود فرق معنوي عند مستوى احتمال ٥٪

جدول (٤-٣) يوضح تأثير جرع مختلفة من الكورتيزون على المعايير الكيموحيوية في ذكور واناث الجرذ لمدة ٣٠ يوما (stander error  $\pm$ Values are mean)

P value	معدل الإناث	معدل الذكور	P value	معدل الجرعة الثالثة (4.5mg/kg)	معدل الجرعة الثانية (3mg/kg)	معدل الجرعة الاولى (1.5mg/kg)	معدل السيطرة	المعايير
P>0.05	$\pm 43.87$ 2.10	$\pm 46.80$ 2.23	P<0.05	$\pm *59.25$ 2.31	$\pm *50.48$ 2.13	$\pm *39.37$ 1.70	$\pm 32.25$ 0.90	ALT U/L
P>0.05	125.63 11.66 $\pm$	130.25 9.90 $\pm$	P<0.05	$\pm *179.13$ 13.23	*133.63 11.60 $\pm$	$\pm 116.13$ 13.79	$\pm 82.88$ 2.74	AST U/L
P>0.05	$\pm 16.45$ 1.04	$\pm 16.05$ 1.28	P<0.05	$\pm 18.77$ 1.54	$\pm 18.23$ 1.83	$\pm 16.46$ 1.00	$\pm 11.55$ 0.33	Urea Mg /dl
P>0.05	$\pm 4.68$ 0.34	$\pm 5.25$ 0.54	P<0.05	$\pm *8.69$ 0.57	$\pm *5.65$ 0.53	$\pm *4.33$ 0.33	$\pm 3.19$ 0.31	Albumin g/dl
P>0.05	162.06 6.03 $\pm$	164.68 9.00 $\pm$	P<0.05	$\pm *194.38$ 6.75	*170.25 10.51 $\pm$	$\pm 100.25$ 6.34	128.63 2.81 $\pm$	Fibrinogen Mg/dl

\* وجود فرق معنوي عند مستوى احتمال P<0.05

جدول (٤-٤) يوضح تأثير جرع مختلفة من الكورتيزون على المعايير الكيموحيوية في ذكور واناث الجرذ لمدة ٦٠ يوما (stander error  $\pm$ Values are mean)

P value	معدل الاناث	معدل الذكور	P value	معدل الجرعة الثالثة (4.5mg/kg)	معدل الجرعة الثانية (3mg/kg)	معدل الجرعة الاولى (1.5mg/kg)	معدل السيطرة	المعايير
P>0.05	+48.20 2.49	+46.99 2.05	P<0.05	+*62.50 1.88	+*53.23 2.40	+*42.25 2.88	+32.50 1.28	ALT U/L
P>0.05	138.50 10.44+	136.62 10.67+	P<0.05	+*190.63 6.14	*109.50 10.54+	+*116.38 9.80	+83.75 3.04	AST U/L
P>0.05	+12.68 0.58	+12.30 0.74	P<0.05	+14.02 0.79	+13.61 0.99	+11.78 1.00	+10.05 0.50	Urea Mg /dl
P>0.05	+6.17 0.61	+6.13 0.74	P<0.05	+*9.24 0.47	+*7.21 0.51	+*5.10 0.60	+3.00 0.19	Albumin g/dl
P>0.05	165.87 6.30+	173.25 10.08+	P<0.05	+*205.12 8.24	*177.75 7.06+	+*167.62 7.08	127.57 2.25+	Fibrinogen Mg/dl

\* وجود فرق معنوي عند مستوى احتمال  $<0.05$

جدول (٤-٥) يبين تأثير جرع من الهايدروكورتيزون على المعايير الدموية في ذكور واناث الجرذان  
(standard error  $\pm$  Values are mean) لمدة ٣٠ يوما

P value	الجرعة الثالثة (4.5mg/kg)	الجرعة الثانية (3 mg/kg)	الجرعة الاولى (1.5 mg/kg)	السيطرة	الجنس	المعايير
P < 0.05	*0.35 ± 13.65	*0.65 ± 11.17	*0.19 ± 9.85	0.17 ± 7.77	ذكور	<b>RBC / 10<sup>6</sup></b>
P < 0.05	*0.16 ± 12.65	*0.44 ± 12.57	0.09 ± 8.87	0.22 ± 8.17	اناث	
P < 0.05	*0.43 ± 5.45	*0.44 ± 6.32	*0.12 ± 7.85	0.79 ± 11.67	ذكور	<b>WBC / 10<sup>3</sup></b>
P < 0.05	*0.49 ± 5.20	*0.34 ± 6.15	0.51 ± 8.07	0.58 ± 9.02	اناث	
P < 0.05	*0.76 ± 8.27	*0.73 ± 10.07	*0.42 ± 10.12	1.03 ± 15.20	ذكور	<b>Hb / g/dl</b>
P < 0.05	*0.46 ± 5.70	*1.13 ± 10.22	0.80 ± 13.20	1.30 ± 13.50	اناث	
P < 0.05	*0.91 ± 26.00	0.89 ± 28.40	1.08 ± 29.00	0.91 ± 30.00	ذكور	<b>PCV / %</b>
P < 0.05	*0.55 ± 24.35	*1.26 ± 27.30	*1.70 ± 28.50	1.48 ± 34.75	اناث	
P < 0.05	*2.64 ± 17.77	*2.27 ± 29.10	*0.68 ± 31.50	0.64 ± 41.70	ذكور	<b>MCV / fl</b>
P < 0.05	*0.74 ± 21.72	*1.88 ± 23.10	*1.17 ± 27.97	1.35 ± 39.20	اناث	
P < 0.05	*1.94 ± 57.10	*0.10 ± 67.97	*1.34 ± 72.67	0.75 ± 82.00	ذكور	<b>Lymphocyte %</b>

P < 0.05	*2.90 ± 0.77	*1.02 ± 0.90	1.91 ± 0.05*	82.07 ± 0.73	اناث	
P < 0.05 value	الجرعة الثالثة* (4.5mg/kg)	الجرعة الثانية* (3 mg/kg)	الجرعة الأولى* (1.5 mg/kg)	7 السكريات	الذكور	Monozygote %
P < 0.05	*0.39 ± 13.00	*0.48 ± 12.30	*0.51 ± 9.47	0.49 ± 7.82	ذكور	RBC /10 <sup>7</sup>
P < 0.05	*2.44 ± 0.22	*1.14 ± 0.80	*1.32 ± 0.77	0.92 ± 0.87	ذكور	
P < 0.05	*0.51 ± 2.75	*1.34 ± 4.00	*1.09 ± 0.00	0.56 ± 11.45	ذكور	WBC / 10 <sup>7</sup>
P < 0.05	*1.17 ± 3.62	*1.22 ± 4.89	*1.88 ± 1.69	1.78 ± 3.65	ذكور	
P < 0.05	*0.01 ± 0.72	*0.10 ± 1.22	*0.22 ± 1.77	0.31 ± 2.95	اناث	

\* وجود فرق معنوي عند مستوى احتمال P<0.05

جدول (٤-٦) يبين تأثير جرع من الهايدروكورتزون على المعايير الدموية في ذكور واناث الجرذان  
(standard error ±Values are mean) لمرة ٦٠ يوما

<							
P < 0.05	* ٠.٨٠ ± ١٠.٤٥	* ٠.٧٨ ± ١٠.٨٢	* ٠.٨٠ ± ١١.٢٧	٠.٦٢ ± ١٤.٦٧	ذكور	<b>Hb / g/dl</b>	
<							
P < 0.05	* ٠.٢٠ ± ٧.٥٢	* ٠.٧٧ ± ١٠.٣٧	٠.٢٧ ± ١٣.٣٧	٠.٨٥ ± ١٣.٧٧	إناث		
P < 0.05	٠.٨٩ ± ٣٨.٤٢	٠.٩١ ± ٢٩.٠٥	٠.٦٣ ± ٢٩.٢٠	٠.٤٨ ± ٢٩.٤٥	ذكور	<b>PCV / %</b>	
<	٢.٠٤ ± ٢٤.٤٠						
P < 0.05	*	* ٢.١٩ ± ٢٥.٥٢	* ١.٩١ ± ٢٩.٧٠	٠.٦٩ ± ٣٣.٩٠	إناث		
<	٢.٤١ ± ٢٨.٦٠						
P < 0.05	*	* ١.٤٧ ± ٢٩.٥٠	٢.٢٤ ± ٣٢.٥٥	١.٦١ ± ٣٧.٩٥	ذكور	<b>MCV / fl</b>	
<	٢.٤١ ± ٢٨.٦٠						
P < 0.05	*	* ١.٨٩ ± ٣١.٣٥	* ١.١٠ ± ٣٥.١٥	٠.٥٤ ± ٤١.٩٧	إناث		
<	١.٣٤ ± ٢٠.١٠						
P < 0.05	*	* ١.٧٥ ± ٥٨.٦٥	* ٠.٤٦ ± ٦٨.٧٢	٠.٣٠ ± ٨١.٤٥	ذكور	<b>Lymphocyte %</b>	
<	١.١٨ ± ٥٢.٧٧						
P < 0.05	*	* ٢.٣٨ ± ٦٢.١٧	* ١.٩٣ ± ٦٥.٨٠	٠.٦٠ ± ٨٠.٥٠	إناث		
<	٠.٤٢ ± ٥١.٢٥						
P < 0.05	* ٠.٠٣ ± ٠.٥٧	* ٠.٢٣ ± ١.٧٢	* ٠.٢٨ ± ٢.١٥	٠.٢٠ ± ٤.٥٠	ذكور	<b>Monocyte %</b>	
<							
P < 0.05	* ٠.٠٢ ± ٠.٦٧	* ٠.٢٦ ± ١.٥٢	* ٠.١٤ ± ٢.٣٠	٠.٤٩ ± ٤.٤٠	إناث		
<							
P < 0.05	* ١.٥٠ ± ٤٦.١٧	* ١.٧٢ ± ٣٨.٤٢	* ٠.٤٩ ± ٢٧.٧٠	٠.٤٩ ± ١٠.٨٠	ذكور	<b>Neutrophil %</b>	
<							
P < 0.05	* ٠.٥٢ ± ٤٧.٥٢	* ٢.٦٤ ± ٣٥.٣٠	٢.٠٤ ± ٣٠.٣٠*	٠.٥٥ ± ١١.٩٧	إناث		
<							
P < 0.05	* ٠.٠١ ± ٠.٤٩	* ٠.١٨ ± ١.٢٠	* ٠.٣٣ ± ١.٤٢	٠.٢٦ ± ٣.٢٥	ذكور	<b>Eosinophil %</b>	

<						
P < 0.05	* $0.02 \pm 0.06$	* $0.03 \pm 1.00$	* $0.02 \pm 1.60$	0.23 ± 3.12	اناث	
<						

P value	الجرعة الثالثة (4.5mg/kg)	الجرعة الثانية (3 mg/kg)	الجرعة الاولى (1.5 mg/kg)	السيطرة	الجنس	المعايير

\* وجود فرق معنوي عند مستوى احتمال  $P < 0.05$

جدول (٤-٧) يبين تأثير جرع من الهايدروكورتزون على المعايير الكيموحيوية في ذكور واناث  
**الجرذان** لمدة ٣٠ يوما (**standard error ± Values are mean**)

P< . . ٥	*٢٠٥٩±٥٨٠٥	*٤١٣±٥٧٧٢	٢٩٠±٣٧٥٠	١٥٠±٣٣٥٠	ذكور	ALT U/L
P< . . ٥	* ٤٢٢±٦٠٠٠	* ٥٢٨±٤٣٢٥	*١٦٥±٧١٢٥	٠٧٠±٣١٠٠	اناث	
P< . . ٥	*٢٠٤٢±١٥٤٠٠	*١٧٨٥±١٤٨٠٠	*١٤٣٠±١٣٥٠٠	٣٠٢±٨٤٠٠	ذكور	AST U/L
P< . . ٥	*١٠٤١±٢٠٤٢٥	*١٣١١±١١٩٢٥	١٠١١±٩٧٢٥	٥٠٢±٨١٧٥	اناث	
P > 0.05	١٧٤±١٨١٢	١٥٧±١٧٤٠	٠٨٧±١٧٧٥	٠٦٢±١٠٩٥	ذكور	Urea Mg /dl
P > 0.05	١٨١±١٩٤٢	١٥٤±١٩٠٧	١٨١±١٥١٧	٠٨٣±١٢١٥	اناث	
P< . . ٥	*٥٦١±٧٢٥	*٢٥٤±٢٧٧٢	*٧٧٧±٢٤٧	*٢٨٧±٢٠٨٧	ذكور	المعادن Albumin g/dl
P< . . ٨	* (٤.٥ mg/kg)	* (٣ mg/kg)	(١.٥ mg/kg)	٠٣٨±٣٥١	اناث	
P < . . ٥ <	*٣٠١±٦٠٢٥	*٢٠٠±٤٩٩٧	٢٠٨±٤٧٠٠	١٤٣±٣٠٧٥	ذكور	ALT U/L
P < . . ٥	*٢٠١±٦٤٧٥	*٢٤٧±٥٦٥٠	١٦٦±٣٧٥٠	١٨٨±٣٤٢٥	اناث	
P< . . ٥	*٣٥٦±٢١٠٢٥	*١٣٧٠±١٨١٢٥	٩٥١±١٤٥٠٠	١٢٥±١٢٢.٢٥	ذكور	Ferrum mg
P< . . ٥	*٥٦٧±١٧٨٥٠	*١٧٤٣±١٦٩٢٥	*٥٢٣±١٦٥٥٠	٢٨٨±١٣٥٠٠	اناث	Mg/dl

جدول (٤-٨) يبين تأثير جرع من الكورتيزون على المعايير الكيموحيوية في ذكور واناث الجرذان  
(standard error ±Values are mean)  
لمدة ٦٠ يوما

<						
P < 0.05	* ٦٤٥ ± ١٩٥.٢٥	* ٩٧١ ± ١٧١.٥٠	٥٠٢ ± ٩٢.٢٥	٣٦٦ ± ٨٧.٥٠	ذكور	AST U/L
P < 0.05	* ١٠٩٧ ± ١٨٦.٠٠	* ٣٣٢ ± ١٤٧.٥٠	* ٣٣٧ ± ١٤٠.٥٠	٤٥٢ ± ٨٠.٠٠	إناث	
P > 0.05	٠٩١ ± ١٣.٦٢	١٧٨ ± ١٣.٤٠	٢١٣ ± ١١.٧٥	٠٤٥ ± ١٠.٤٥	ذكور	Urea Mg /dl
P > 0.05	١١٣ ± ١٤.٤٢	١١٩ ± ١٣.٨٢	٠٤١ ± ١١.٨٢	٠٩٩ ± ١٠.٦٥	إناث	
P < 0.05	* ٠٦٩ ± ٩.٥٧	* ٠٩٧ ± ٧.٦٣	٠٨٤ ± ٣.٩٧	٠١٢ ± ٣.٣٥	ذكور	Albumin g/dl
P < 0.05	* ٠٧١ ± ٨.٩١	* ٠٤٠ ± ٦.٨٠	* ٠٢٥ ± ٦.٣٢	٠٢٩ ± ٢.٦٥	إناث	
P < 0.05	* ٢٢٨ ± ٢٢٥.٢٥	* ٨١٢ ± ١٧٨.٧٥	* ١٤٨٧ ± ١٦٤.٧٥	٢١٣ ± ١٢٤.٢٥	ذكور	Fibrinogen Mg/dl
P < 0.05	* ٦٤٨ ± ١٨٥.٠٠	* ١٢٨٩ ± ١٧٦.٧٥	* ٢٧٢ ± ١٧٠.٥٠	٣٣٢ ± ١٣١.٢٥	إناث	

P value	معدل للمدة ٦٠ يوماً	معدل للمدة ٣٠ يوماً	المعايير
P<0.05	٠٣٩ ± ١٠.٧١	٠٤١ ± ١٠.٤٨	RBC / 10 <sup>9</sup>
P<0.05	٠٥٤ ± ٥.٨٣	٠٣٩ ± ٧.٤٦	WBC / 10 <sup>9</sup>
P>0.05	٠٤٤ ± ١١.٥٣	٠٥٩ ± ١٠.٧٨	Hb / g/dl
P>0.05	٠٦٤ ± ٢٨.٧٠	٠٦٢ ± ٢٨.٥٦	PCV / %

P>0.05	$1.31 \pm 32.14$	$1.49 \pm 29.02$	MCV / fl
P<0.05	$1.96 \pm 65.16$	$1.61 \pm 69.95$	Lymphocyte %
P<0.05	$0.26 \pm 2.22$	$0.25 \pm 3.23$	Monocyte %
P<0.05	$2.38 \pm 31.02$	$1.97 \pm 26.20$	Neutrophil %
P<0.05	$0.08 \pm 1.98$	$0.19 \pm 1.31$	Eosinophil %
P<0.05	$2.28 \pm 47.62$	$2.21 \pm 44.34$	ALT U/L
P<0.05	$8.39 \pm 137.56$	$8.31 \pm 127.94$	AST U/L
P>0.05	$0.46 \pm 13.49$	$0.81 \pm 16.25$	Urea Mg/dl
P<0.05	$0.47 \pm 6.10$	$0.32 \pm 4.97$	Albumin g/dl
P<0.05	$0.88 \pm 179.56$	$0.54 \pm 161.37$	Fibrinogen Mg/dl

جدول (٤-٩) يبين الفروق المعنوية في محتوى الحقن (٣٠، ٦٠) يوماً لجميع المعايير

(stander error  $\pm$ Values are mean)

\* وجود فرق معنوي عند مستوى احتمال  $P < 0.05$

المقاطع النسيجية**التغيرات النسجية في الطحال**

اظهرت نتائج المقاطع النسجية للجرذان في نسيج الطحال وللمدة ٣٠ يوما من الحقن الى حدوث تغيرات نسجية اذ نلاحظ في الجرعة (١.٥ mg/kg) عدم حصول اي تغيرات في نسيج الطحال حيث نلاحظ ظهور اللب الابيض white pulp واللب الاحمر red pulp بالحالة الطبيعية كما في الصور (٤-٤)،اما في الجرعة (٣ mg/kg) فقد اظهرت النتائج حصول قلة في عدد عقيدات البيضاء White pulp وصغر حجمها وفي كلا الجنسين مقارنة مع مجموعة السيطرة كما في الصور (٤-٦)،كذلك اظهرت نتائج الجرعة (٤.٥ mg/kg) حدوث تنسك degeneration في الخلايا المفاوية وزيادة في اعداد الخلايا البلعمية في كلا الجنسين عن المقارنة مع مجموعة السيطرة كما في الصور (٤-٧)، كذلك اظهرت نتائج الحقن للمدة ٦٠ يوما الى حدوث تغيرات نسجية اذ نلاحظ في الجرعة (١.٥ mg/kg) حدوث قلة في عقيدات البيضاء white pulp وصغر في حجمها في كلا الجنسين مقارنة مع مجموعة السيطرة كما في الصور (٤-٩)، فيما اظهرت نتائج الجرعتين (٤.٥، ٣ mg/kg) حصول تنسك degeneration في الخلايا المفاوية وزيادة في اعداد الخلايا البلعمية في كلا الجنسين عند المقارنة مع مجموعة السيطرة كما في الصور (٤-١٢) (٤-١٣) (٤-١٤).

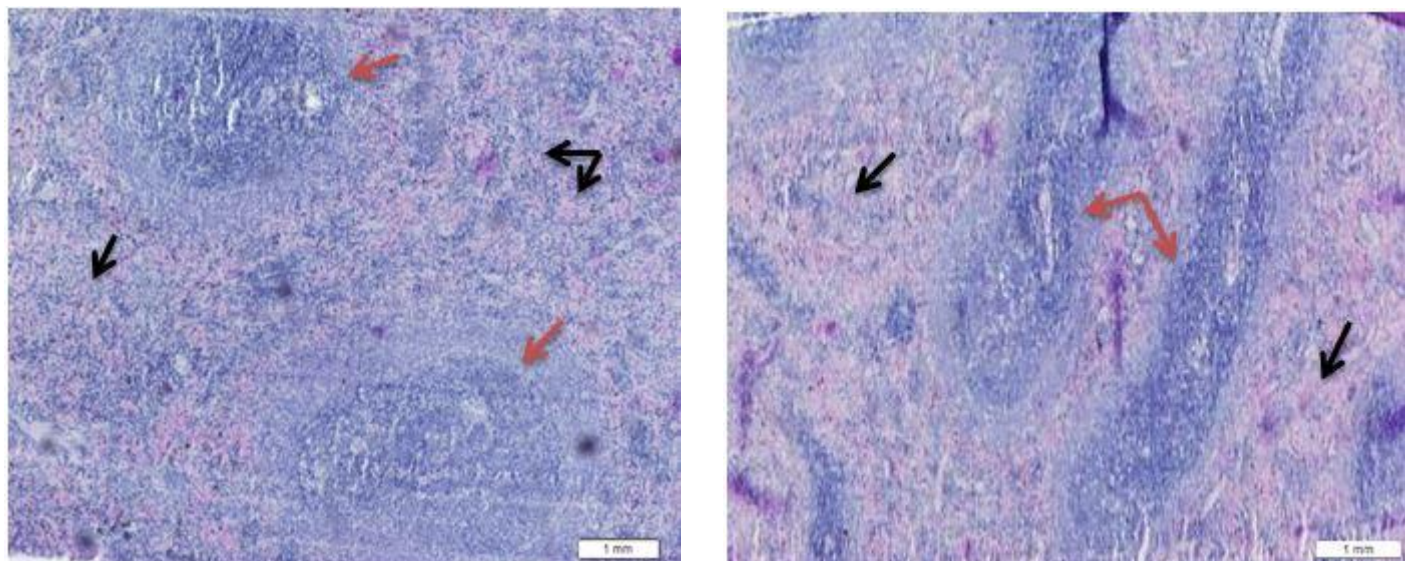
**التغيرات النسجية في الكبد**

اظهرت نتائج المقاطع النسجية للجرذان في نسيج الكبد ولمدة ٣٠ يوما من الحقن الى حدوث تغيرات نسجية اذ نلاحظ في الجرعة (١.٥ mg/kg) عدم حصول اي تغيرات في نسيج الكبد اذ نلاحظ الوريد المركزي central vein والمنطقة البوابية portal area والخلايا الكبدية hepatocyte في الحالة الطبيعية وفي كلا الجنسين عند المقارنة مع مجموعة السيطرة كما في الصور (٤-١٧) (٤-١٨)، اما في الجرعة (٣ mg/kg) نلاحظ حدوث تخر الخلايا الكبدية necrosis of hepatocyte وارتشاح الخلايا الالتهابية في نسيج الكبد وفي كلا الجنسين عند المقارنة مع مجموعة السيطرة كما في الصور (٤-٢٠) (٤-١٩)، كذلك اظهرت الجرعة (٤.٥ mg/kg) حدوث تخر الخلايا الكبدية necrosis of hepatocyte وارتشاح الخلايا الالتهابية وظهور حويصلات دهنية صغيرة وفي كلا الجنسين عند المقارنة مع مجموعة السيطرة كما في الصور (٤-٢١) (٤-٢٢)، اما نتائج مدة ٦٠ يوما من الحقن ادت الى حدوث تغيرات نسجية فقد اظهرت النتائج للجرعة (١.٥ mg/kg) حدوث تخر الخلايا الكبدية necrosis of hepatocyte وفي كلا الجنسين عند المقارنة مع مجموعة السيطرة كما في الصور (٤-٢٣) (٤-٢٤)، بينما اظهرت الجرعة (٣ mg/kg) حدوث تخر الخلايا الكبدية necrosis of hepatocyte وارتشاح الخلايا الالتهابية واحتفان دموي في نسيج الكبد وفي كلا الجنسين عند المقارنة مع مجموعة السيطرة كما في الصور (٤-٢٥) (٤-٢٦)، اما في الجرعة (٤.٥ mg/kg) نلاحظ حدوث تخر الخلايا الكبدية necrosis of hepatocyte وارتشاح الخلايا الالتهابية وفي كلا الجنسين عند المقارنة مع مجموعة السيطرة كما في الصور (٤-٢٧) (٤-٢٨). حيث كان لمرة الحقن تأثير كبير في النسيج .

### التغيرات النسجية في نسيج العظم

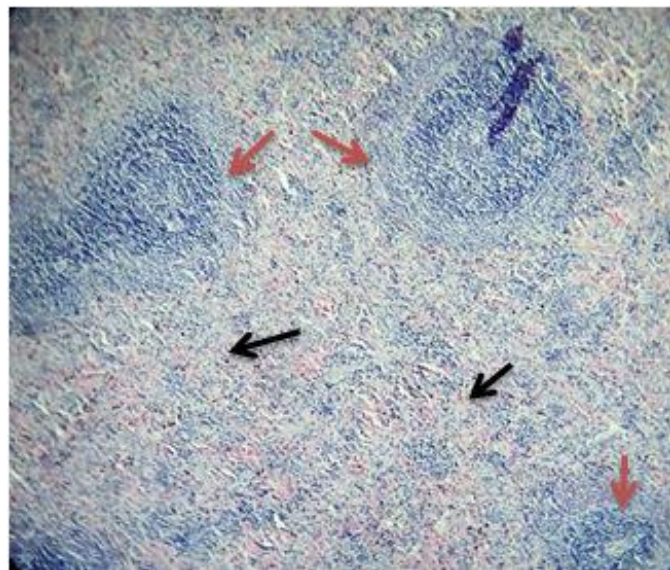
اظهرت نتائج المقاطع النسجية للجرذان في نسيج العظم وللمدة ٣٠ يوما من الحقن الى حدوث تغيرات نسجية اذ نلاحظ حدوث زيادة المسافة بين الحويجزات العظمية وقلة سمك الحويجزات بزيادة الجرعة اذ نلاحظ في الجرعتين ( $1.5,3 \text{ mg/kg}$ ) حدوث زيادة في سمك الحويجزات العظمية وزيادة المسافة بينها مقارنة مع مجموعة السيطرة وفي كلا الجنسين كما في الصور (٤-٥) (٣٢-٤) (٣٣-٤)، وازدادت المسافات بشكل اكبر وقلة سمكها في الجرعة ( $4.5 \text{ mg/kg}$ ) مقارنة مع مجموعة السيطرة وفي كلا الجنسين كما في الصور (٤-٥) (٣٦-٤).

اما نتائج الحقن للمدة ٦٠ يوما نلاحظ في الجرعتين ( $1.5,3 \text{ mg/kg}$ ) ازدادت المسافة بين الحويجزات العظمية وقلة سمك هذه الحواجز مقارنة مع مجموعة السيطرة وفي كلا الجنسين كما في الصور (٤-٥) (٣٧-٤) (٣٨-٤)، وكانت الزيادة بشكل اكبر في الجرعة ( $4.5 \text{ mg/kg}$ ) مقارنة مع مجموعة السيطرة وفي كلا الجنسين كما في الصور (٤-٥) (٤١-٤) مما يدل على تأثير النسيج بالعقار عند مضاعفة الجرعة ومدة الحقن.

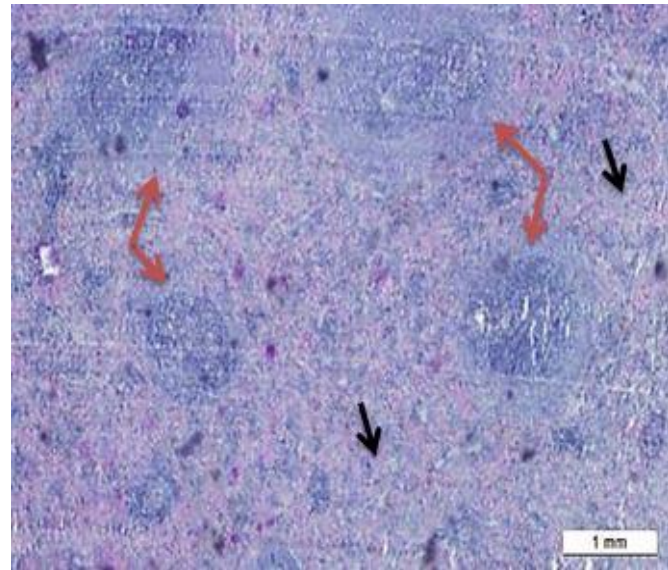


صورة (٤-٢) مقطع عرضي في نسيج الطحال لمجموعة السيطرة في الإناث الذكور نلاحظ اللب الأبيض (H&E 100x) white pulp ↓ واللب الأحمر red pulp ↓

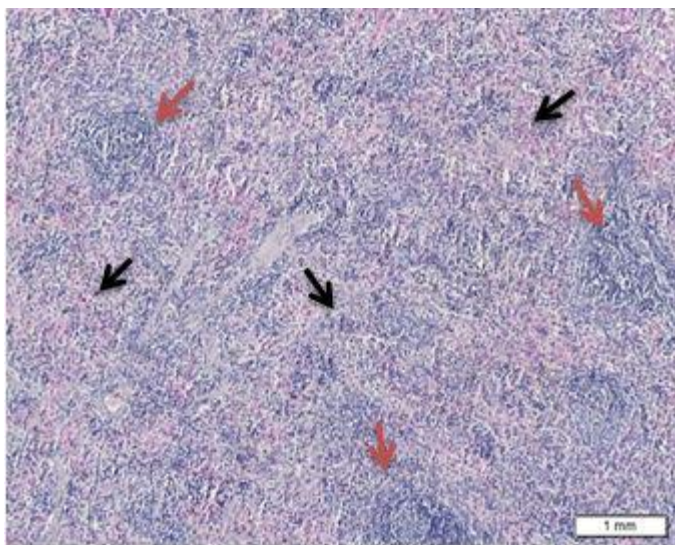
صورة (٤-١) مقطع عرضي في نسيج الطحال لمجموعة السيطرة في الذكور نلاحظ اللب الأبيض white pulp ↓ (H&E 100x) ↓ واللب الأحمر red pulp ↓



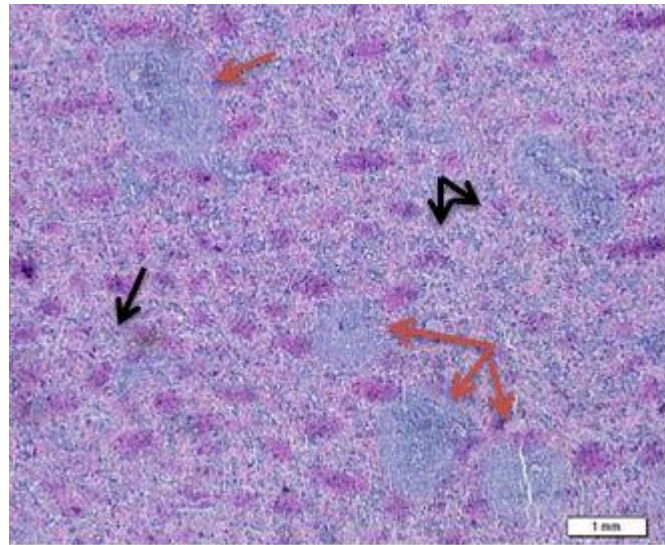
صورة (٤-٤) مقطع عرضي في الطحال لمجموعة الجرعة (1.5mg/kg) ولمدة ٣٠ يوماً في الإناث نلاحظ عدم وجود أي تغيرات مقارنة مع مجموعة السيطرة نلاحظ اللب الأبيض واللب الأحمر red pulp white pulp (H&E 100x)



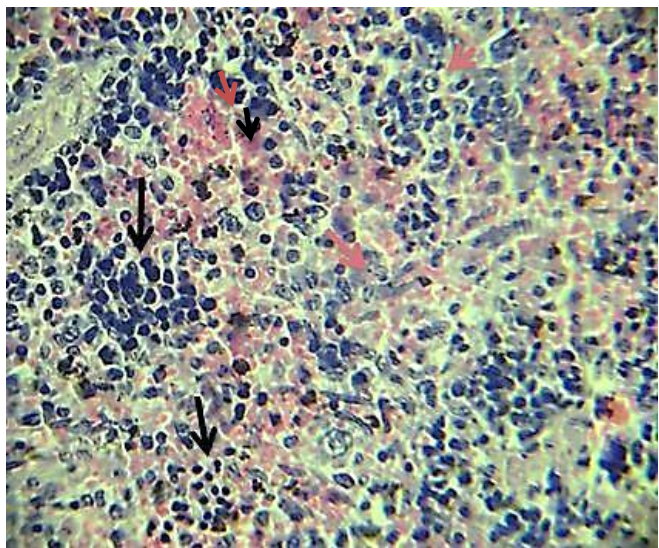
صورة (٤-٤) مقطع عرضي في الطحال لمجموعة الجرعة (1.5mg/kg) ولمدة ٣٠ يوماً في الذكور نلاحظ عدم وجود أي تغيرات مقارنة مع مجموعة السيطرة نلاحظ اللب الأبيض واللب الأحمر red pulp white pulp (H&E 100x)



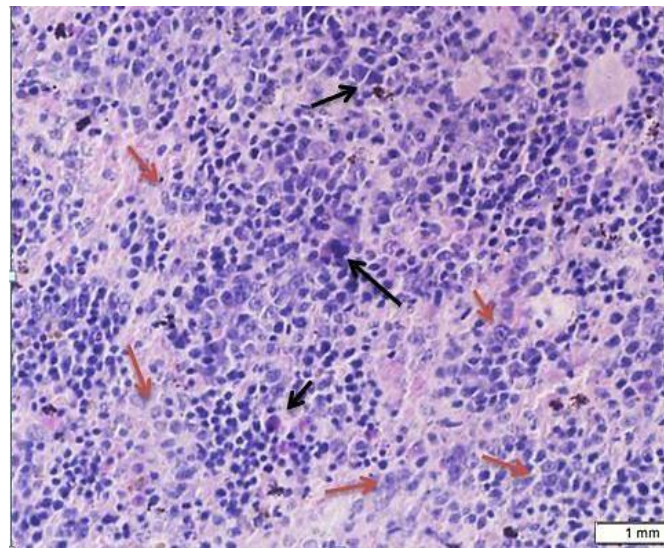
صورة (٤-٦) مقطع عرضي في نسيج الطحال لمجموعة الجرعة (3mg/kg) ولمدة ٣٠ يوماً في الإناث نلاحظ قلة عدد الويحات البيضاء white pulp وصغر حجمها كما نلاحظ اللب الأحمر red pulp (H&E 100x)



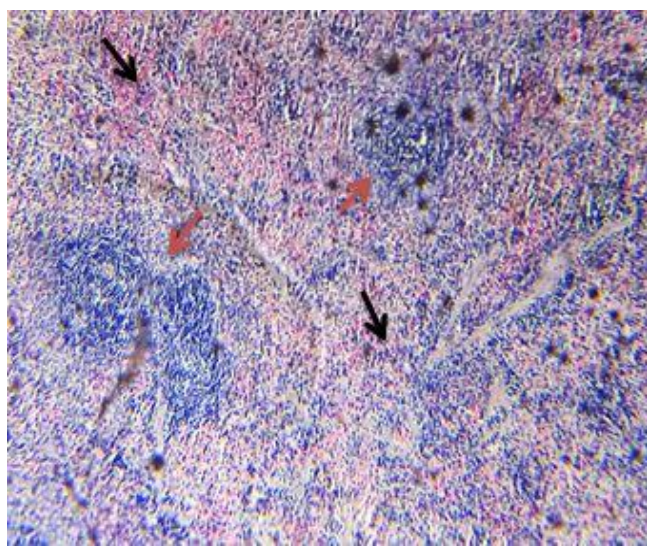
صورة (٤-٥) مقطع عرضي في نسيج الطحال لمجموعة الجرعة (3mg/kg) ولمدة ٣٠ يوماً في الذكور نلاحظ قلة عدد الويحات البيضاء white pulp وصغر حجمها كما نلاحظ اللب الأحمر red pulp (H&E 100x)



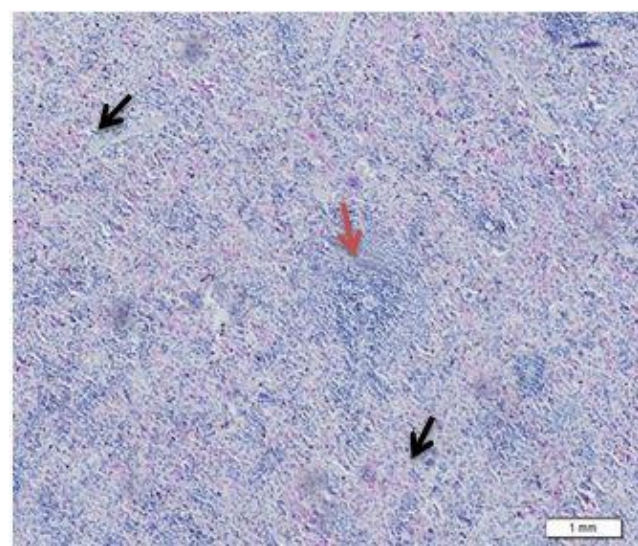
صورة (٤-٨) مقطع عرضي في نسيج الطحال لمجموعة (4.5 mg/kg) ولمدة ٣٠ يوماً في الإناث نلاحظ ظهور تتكس (degeneration) في الخلايا المفاوية وزيادة في اعداد الخلايا البلعمية (H&E 400x)



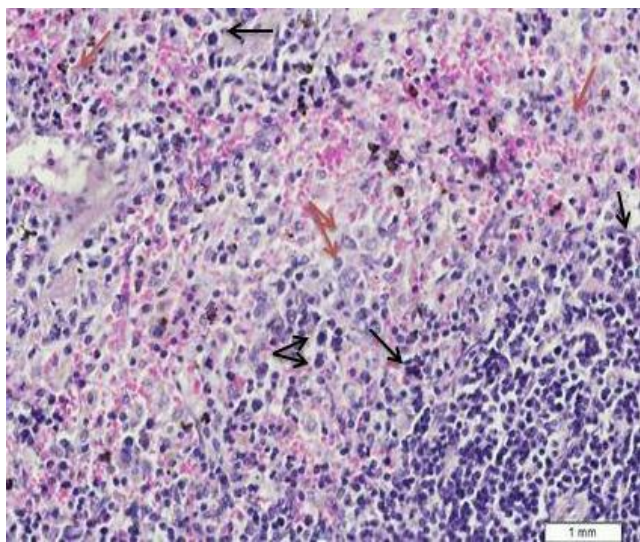
صورة (٤-٧) مقطع عرضي في نسيج الطحال لمجموعة (4.5 mg/kg) ولمدة ٣٠ يوماً في الذكور نلاحظ ظهور تتكس (degeneration) في الخلايا المفاوية وزيادة في اعداد الخلايا البلعمية (H&E 200x)



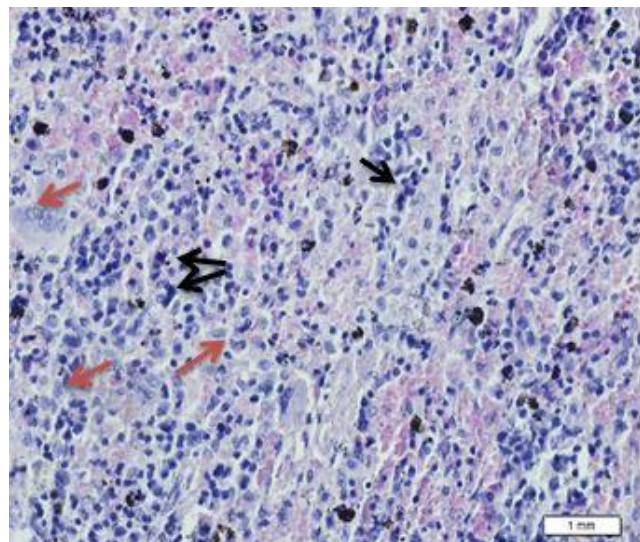
صورة (٤-١٠) مقطع عرضي في نسيج الطحال لمجموعة الجرعة (1.5mg/kg) ولمدة ٦٠ يوماً في الإناث نلاحظ قلة عدد الويحات البيضاء white pulp وصغر حجمها كما نلاحظ اللب الأحمر red pulp (H&E 100x)



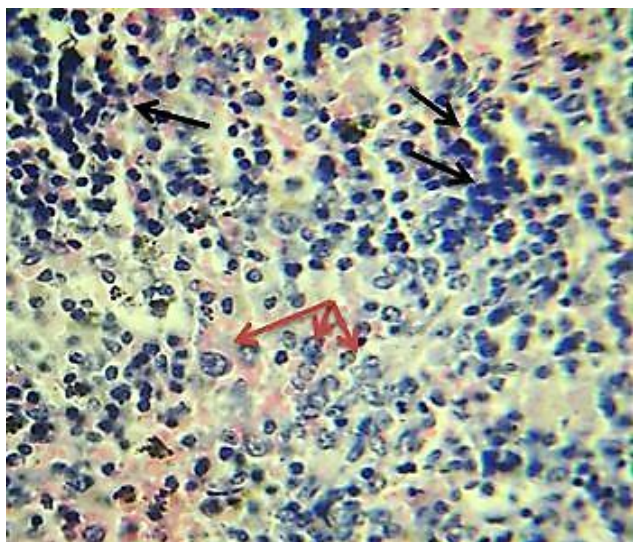
صورة (٤-٩) مقطع عرضي في نسيج الطحال لمجموعة الجرعة (1.5mg/kg) ولمدة ٦٠ يوماً في الذكور نلاحظ قلة عدد الويحات البيضاء white pulp وصغر حجمها كما نلاحظ اللب الأحمر red pulp (H&E 100x)



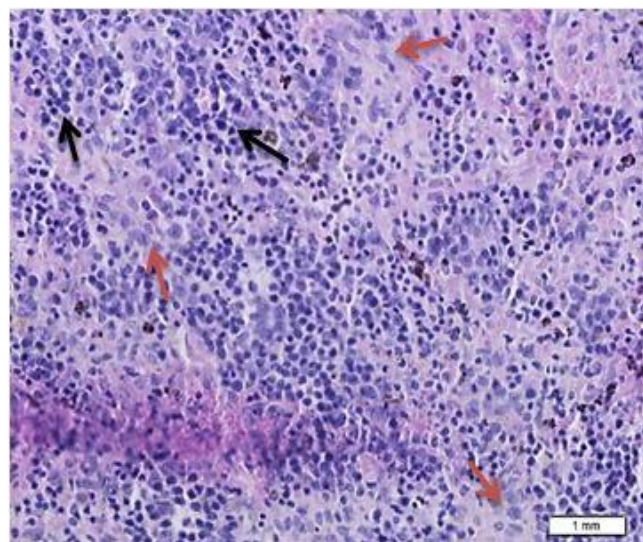
صورة (٤-١٢) مقطع عرضي في نسيج الطحال لمجموعة (3mg/kg) ولمدة ٦٠ يوما في الإناث نلاحظ ظهور تكس (degeneration) في الخلايا المفاوية ↓ وزنادة في اعداد الخلايا البلعمية ↓ (H&E ٢٠x) ↓



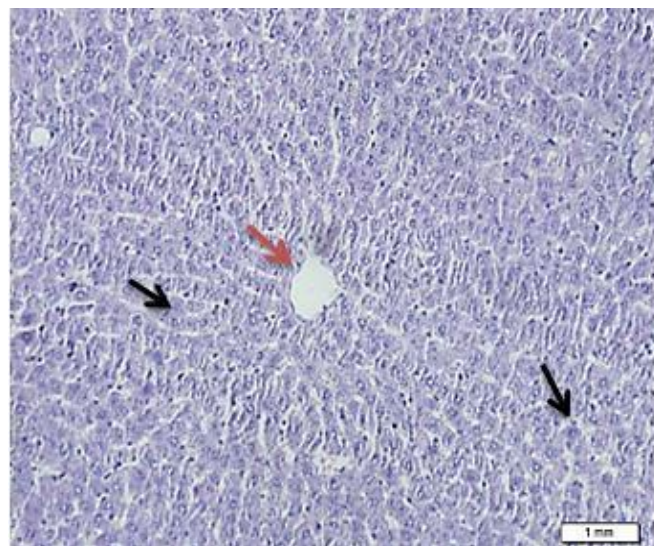
صورة (٤-١١) مقطع عرضي في نسيج الطحال لمجموعة (3mg/kg) ولمدة ٦٠ يوما في الذكور نلاحظ ظهور تكس (degeneration) في الخلايا المفاوية ↓ وزنادة في اعداد الخلايا البلعمية ↓ (H&E ٢٠x) ↓



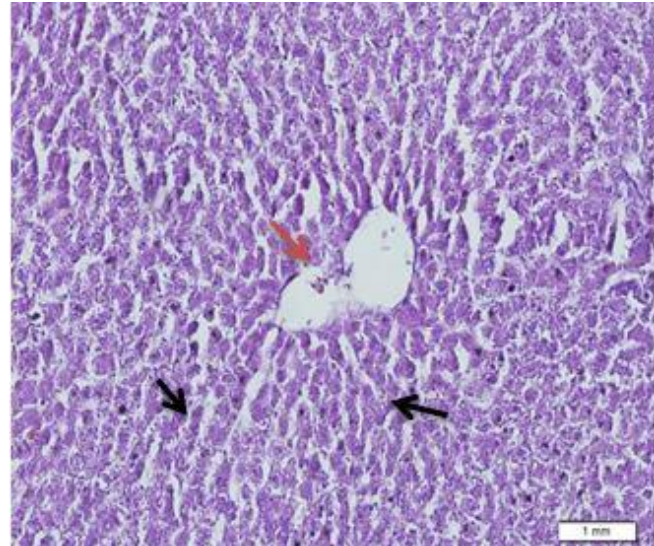
صورة (٤-١٤) مقطع عرضي في نسيج الطحال لمجموعة (4.5 mg/kg) ولمدة ٦٠ يوما في الإناث نلاحظ ظهور تكس (degeneration) في الخلايا المفاوية ↓ وزنادة في اعداد الخلايا البلعمية ↓ (H&E 400x) ↓



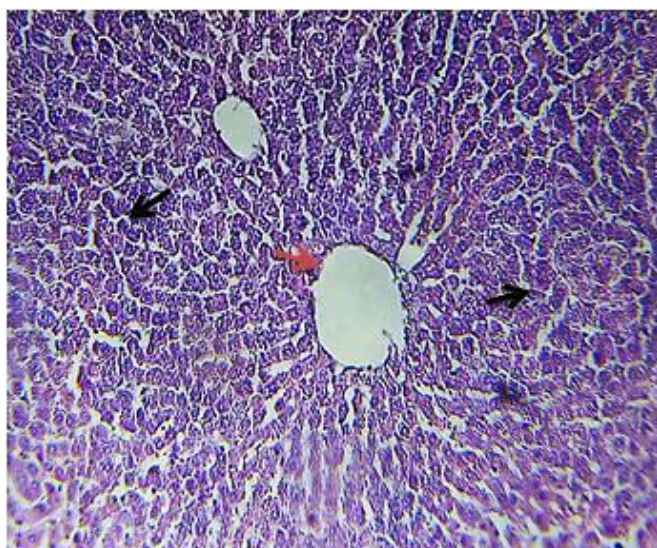
صورة (٤-١٣) مقطع عرضي في نسيج الطحال لمجموعة (4.5 mg/kg) ولمدة ٦٠ يوما في الذكور نلاحظ ظهور تكس (degeneration) في الخلايا المفاوية ↓ وزنادة في اعداد الخلايا البلعمية ↓ (H&E 200x) ↓



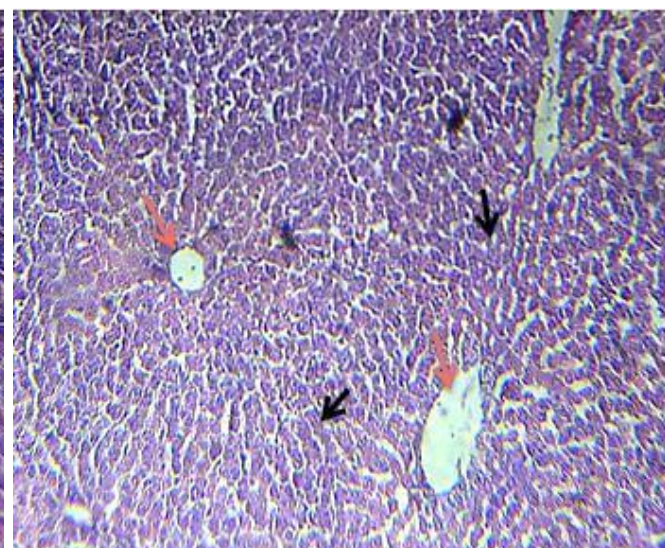
صورة (٤-١٦) مقطع عرضي في نسيج الكبد لمجموعة السيطرة في الإناث نلاحظ الوريد المركزي central H&E ( ↓ hepatocyte red arrow ) والخلايا الكبدية ( black arrows ) (100x)



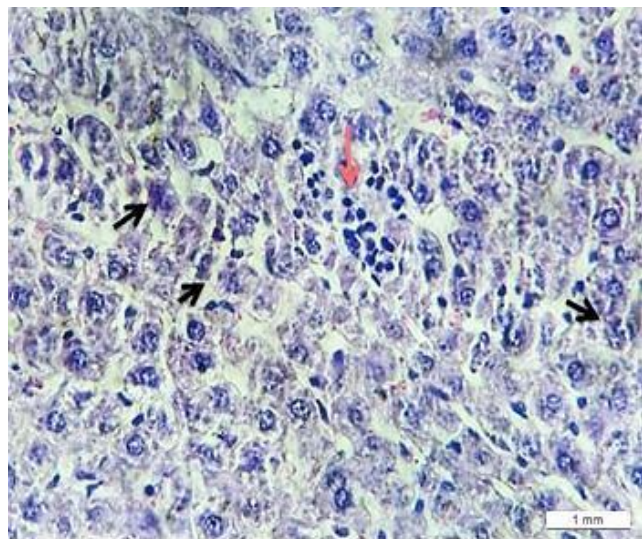
صورة (٤-١٥) مقطع عرضي في نسيج الكبد لمجموعة السيطرة في الذكور نلاحظ المنطقة البوابية portal H&E ( ↓ hepatocyte red arrow ) والخلايا الكبدية ( black arrows ) area (100x)



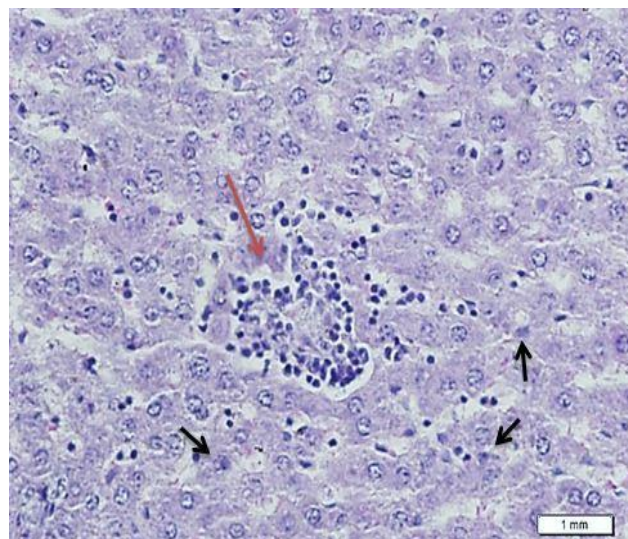
صورة (٤-١٨) مقطع عرضي في نسيج الكبد لمجموعة الجرعة (1.5mg/kg) ولمدة ٣٠ يوما في الإناث نلاحظ الوريد المركزي central vein (red arrow) والخلايا الكبدية ( black arrows ) ( H&E ٢٠٠x ) ↓ hepatocyte



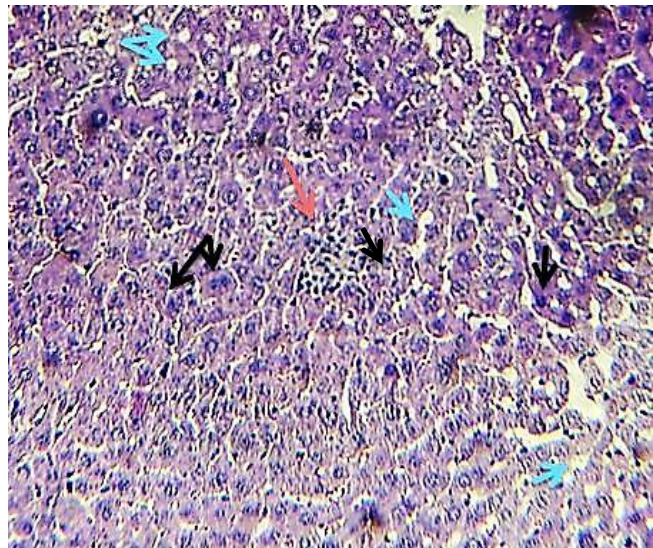
صورة (٤-١٧) مقطع عرضي في نسيج الكبد لمجموعة الجرعة (1.5mg/kg) ولمدة ٣٠ يوما في الذكور نلاحظ الوريد المركزي central vein (red arrow) والخلايا الكبدية ( black arrows ) ( H&E ٢٠٠x ) ↓ hepatocyte



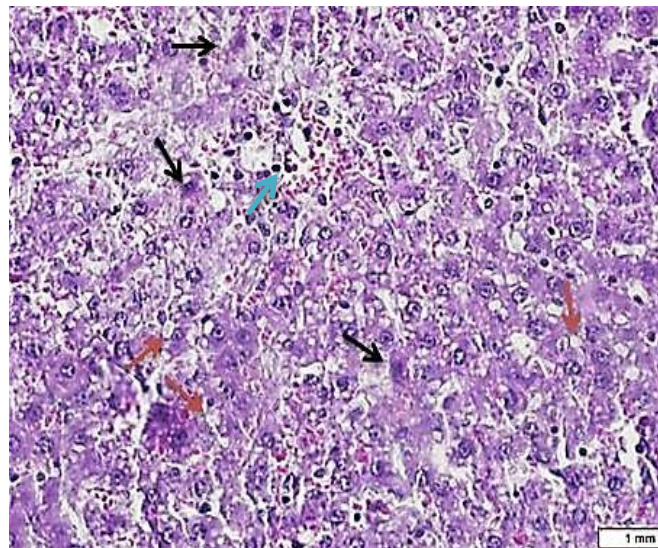
صورة (٢٠-٤) مقطع عرضي في نسيج الكبد لمجموعة الجرعة (3 mg/kg) ولمدة ٣٠ يوما في الإناث نلاحظ ارتشاح للخلايا الالتهابية وتنخر الخلايا الكبدية (H&E ٤٠٠x)



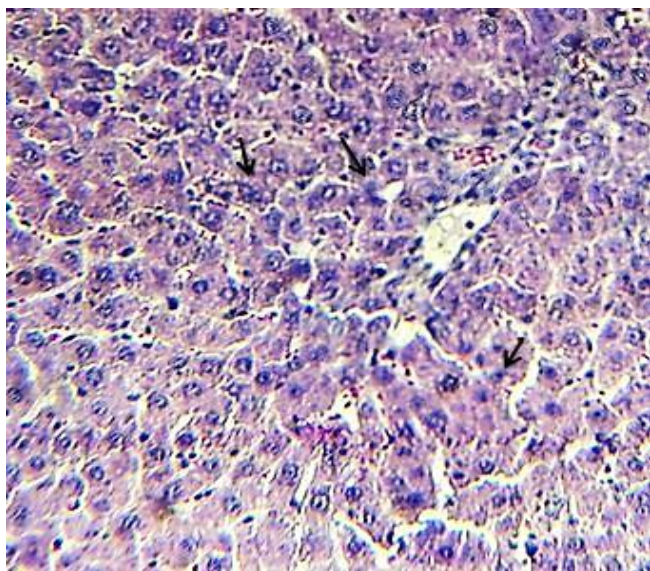
صورة (١٩-٤) مقطع عرضي في نسيج الكبد لمجموعة الجرعة (3mg/kg) ولمدة ٣٠ يوما في الذكور نلاحظ ارتشاح للخلايا الالتهابية وتنخر الخلايا الكبدية (H&E ٤٠٠x)



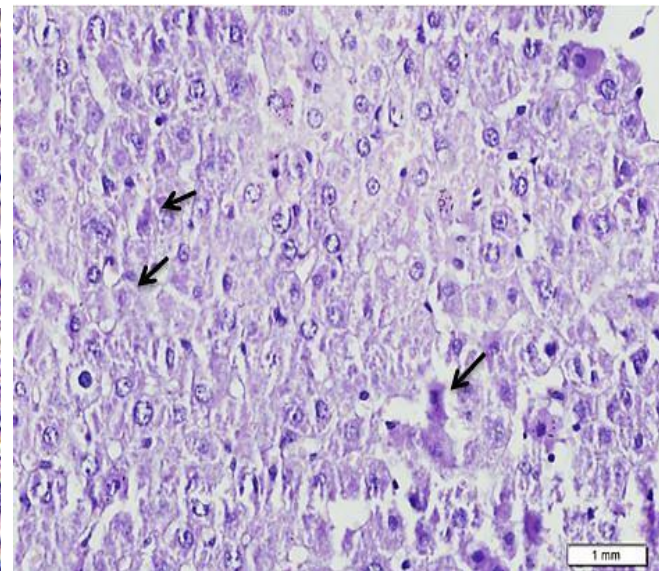
صورة (٢٢-٤) مقطع عرضي في نسيج الكبد لمجموعة الجرعة (4.5 mg/kg) ولمدة ٣٠ يوما في الإناث نلاحظ ارتشاح للخلايا الالتهابية وتنخر الخلايا الكبدية وظهور حويصلات دهنية صغيرة (H&E ٢٠٠x)



صورة (٢١-٤) مقطع عرضي في نسيج الكبد لمجموعة الجرعة (4.5 mg/kg) ولمدة ٣٠ يوما في الذكور نلاحظ ارتشاح للخلايا الالتهابية وتنخر الخلايا الكبدية وظهور حويصلات دهنية صغيرة (H&E ٢٠٠x)



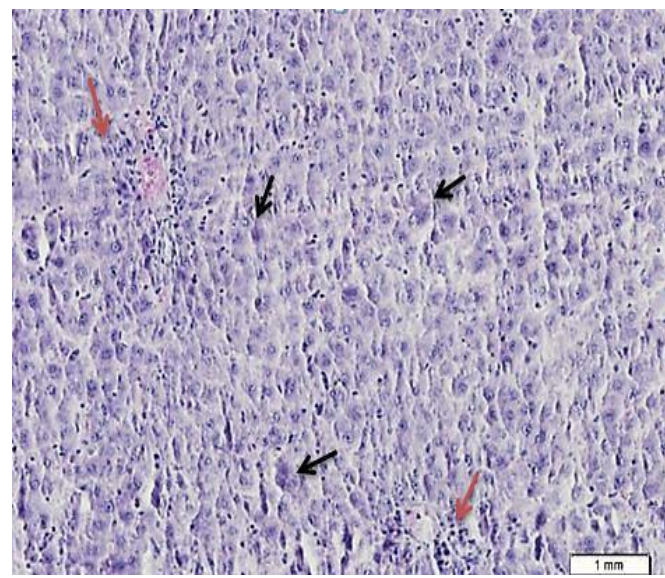
صورة (٢٤-٤) مقطع عرضي في نسيج الكبد لمجموعة الجرعة (1.5mg/kg) ولمدة ٦٠ يوما في الإناث نلاحظ ظهور تخر في خلايا الكبد (H&E ٤٠٠x)



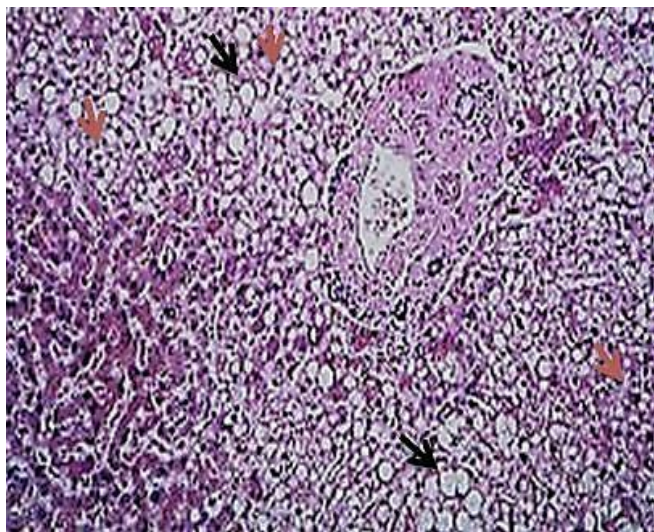
صورة (٢٣-٤) مقطع عرضي في نسيج الكبد لمجموعة الجرعة (1.5mg/kg) ولمدة ٦٠ يوما في الذكور نلاحظ ظهور تخر في خلايا الكبد (H&E ٤٠٠x)



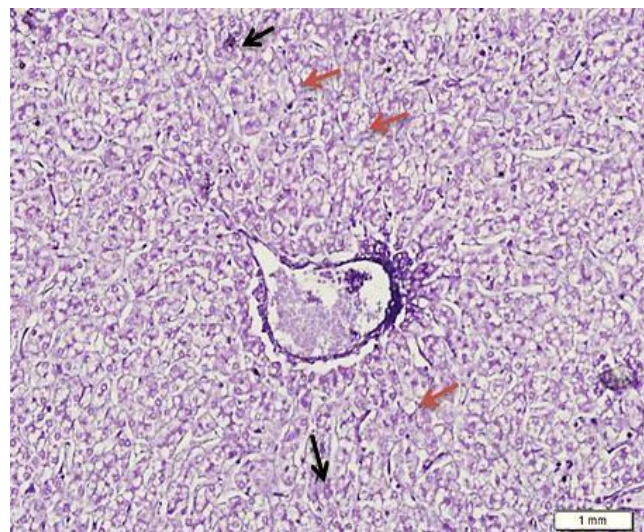
صورة (٢٦-٤) مقطع عرضي في نسيج الكبد لمجموعة الجرعة (3mg/kg) ولمدة ٦٠ يوما في الإناث نلاحظ وارتشاح خلايا الالتهابية وتنخر الخلايا الكبدية (H&E100X)



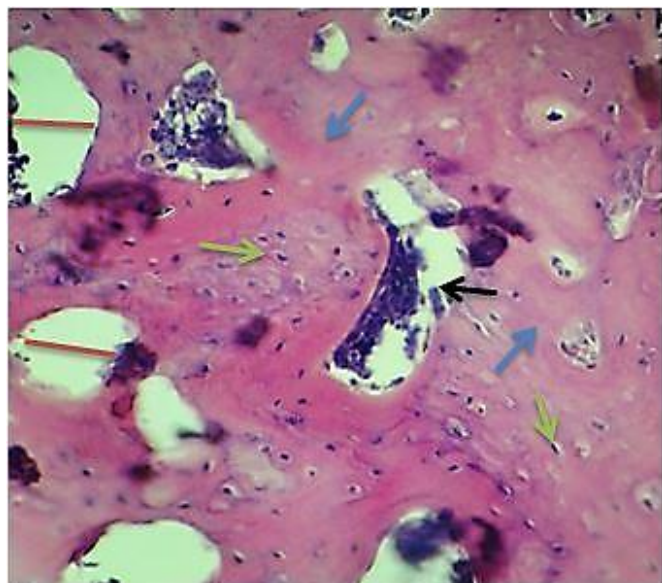
صورة (٢٥-٤) مقطع عرضي في نسيج الكبد لمجموعة الجرعة (3mg/kg) ولمدة ٦٠ يوما في الذكور نلاحظ وارتشاح خلايا الالتهابية وتنخر الخلايا الكبدية (H&E100X)



صورة (٢٨-٤) ) مقطع عرضي في نسيج الكبد لمجموعة الجرعة (4.5 mg/kg) ولمدة 60 يوما في الإناث نلاحظ تغمر في خلايا الكبد وظهور حويصلات دهنية داخل الخلايا الكبدية ( H&E ١٠٠x )



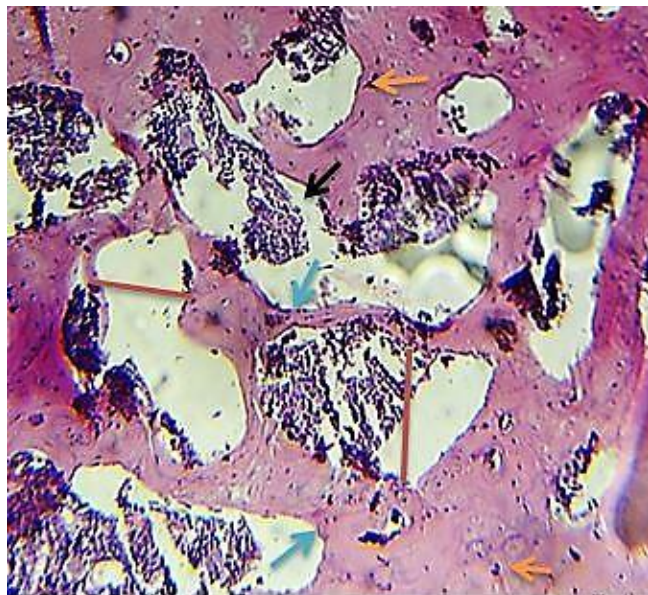
صورة (٢٧-٤) ) مقطع عرضي في نسيج الكبد لمجموعة الجرعة (4.5 mg/kg) ولمدة 60 يوما في الذكور نلاحظ تغمر في خلايا الكبد وظهور حويصلات دهنية داخل الخلايا الكبدية ( H&E ١٠٠x )



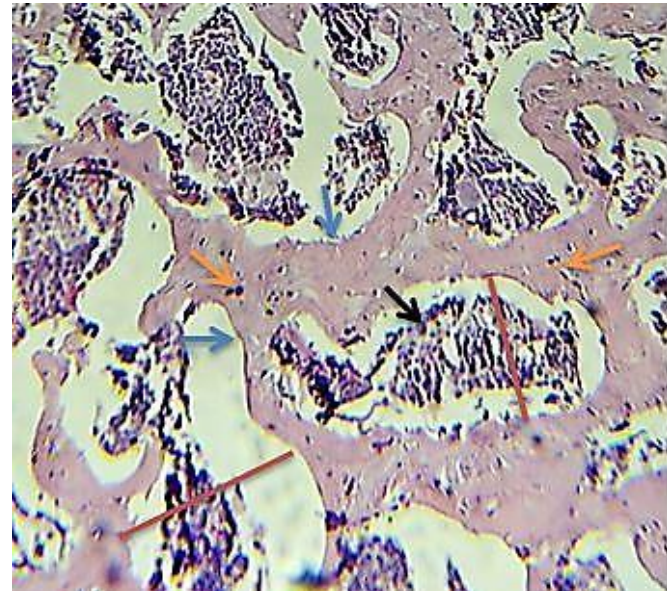
صورة (٣٠-٤) ) مقطع عرضي في نسيج العظم لمجموعة السيطرة في الإناث نلاحظ الخلايا العظمية ونخاع العظم والهويجزات العظمية والمسافات بينها ( H&E ٢٠٠x )



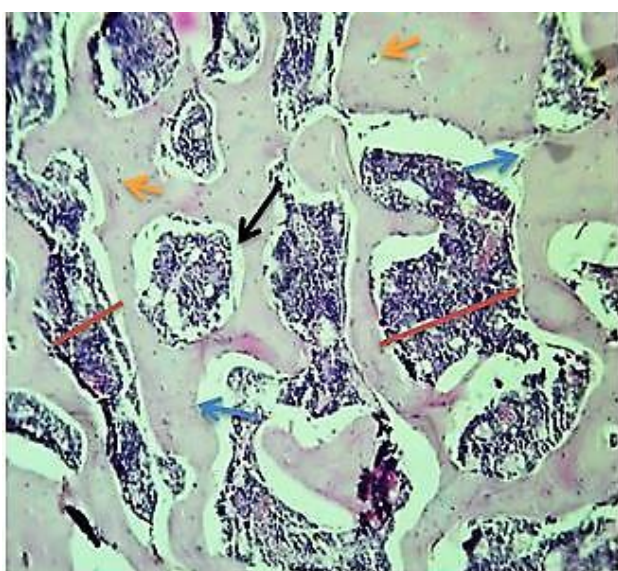
صورة (٢٩-٤) ) مقطع عرضي في نسيج العظم لمجموعة السيطرة في الذكور نلاحظ الخلايا العظمية ونخاع العظم والهويجزات العظمية والمسافات بينها ( H&E ٢٠٠x )



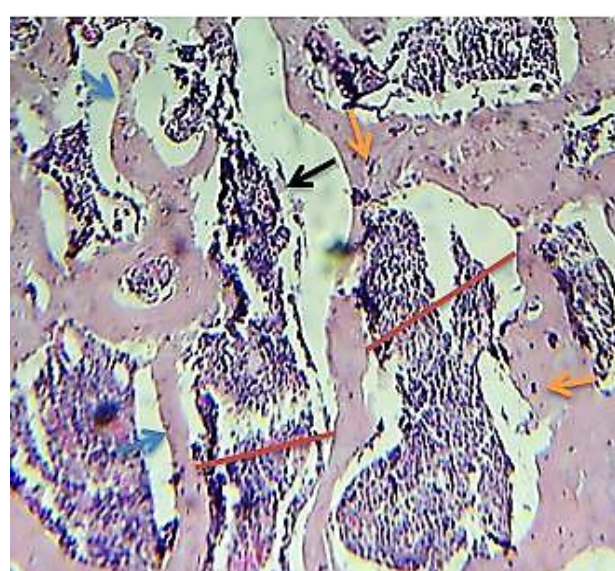
صورة (٣٢-٤) مقطع عرضي في نسيج العظم لمجموعة الجرعة (١.٥mg/kg) ولمدة ٣٠ يوما في الإناث نلاحظ  
الخلايا العظمية ↓ ونخاع العظم ↓ وزيادة المسافة بين  
الحويجات العظمية — وقلة سمك الحويجات ↓  
٢٠٠X (H&E)



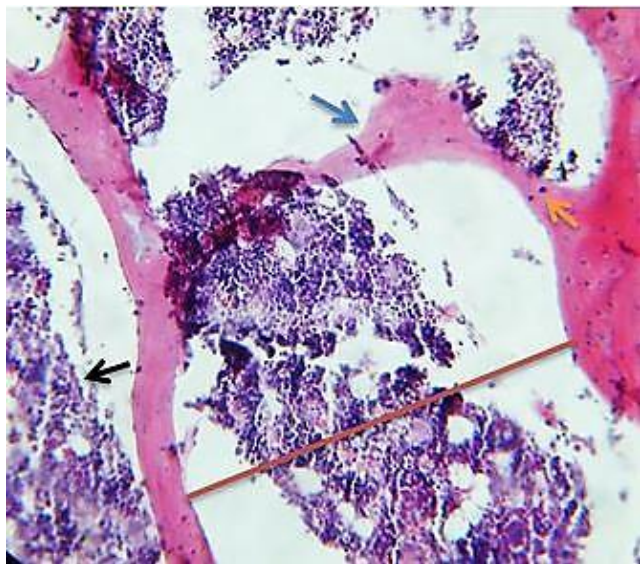
صورة (٣١-٤) مقطع عرضي في نسيج العظم لمجموعة  
الجرعة (١.٥mg/kg) ولمدة ٣٠ يوما في الذكور نلاحظ  
الخلايا العظمية ↓ ونخاع العظم ↓ وزيادة المسافة بين  
الحويجات العظمية — وقلة سمك الحويجات ↓  
٢٠٠X (H&E)



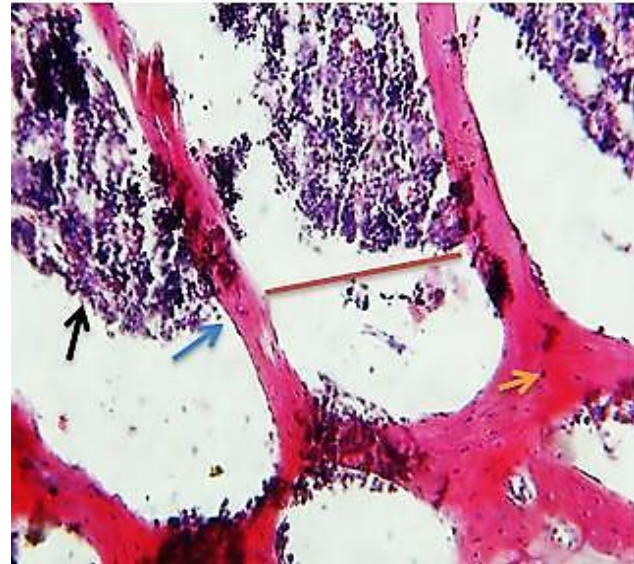
صورة (٣٤-٤) مقطع عرضي في نسيج العظم لمجموعة  
الجرعة (٣mg/kg) ولمدة ٣٠ يوما في الإناث نلاحظ  
الخلايا العظمية ↓ ونخاع العظم ↓ وزيادة المسافة بين  
الحويجات العظمية — وقلة سمك الحويجات ↓  
٢٠٠X (H&E)



صورة (٣٣-٤) مقطع عرضي في نسيج العظم لمجموعة  
الجرعة (٣mg/kg) ولمدة ٣٠ يوما في الذكور نلاحظ  
الخلايا العظمية ↓ ونخاع العظم ↓ وزيادة المسافة بين  
الحويجات العظمية — وقلة سمك الحويجات ↓  
٢٠٠X (H&E)



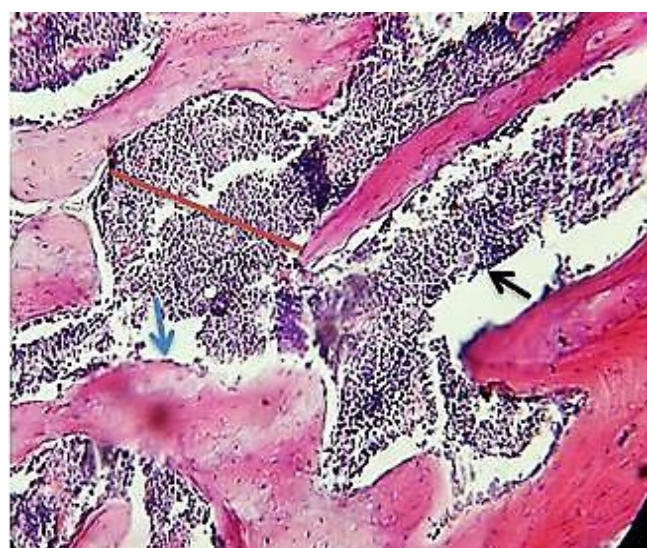
صورة (٣٦-٤) مقطع عرضي في نسيج العظم لمجموعة الجرعة (4.5mg/kg) ولمدة ٣٠ يوما في الإناث نلاحظ الخلايا العظمية ونخاع العظم وزيادة المسافة بين الحويجزات العظمية وقلة سمك الحواجز (H&E ٢٠٠x)



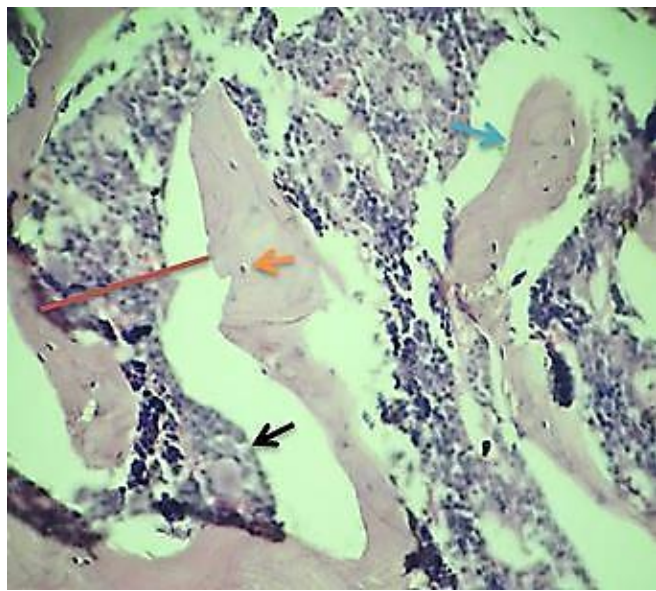
صورة (٣٥-٤) مقطع عرضي في نسيج العظم لمجموعة الجرعة (4.5mg/kg) ولمدة ٣٠ يوما في الذكور نلاحظ الخلايا العظمية ونخاع العظم وزيادة المسافة بين الحويجزات العظمية وقلة سمك الحواجز (H&E ٢٠٠x)



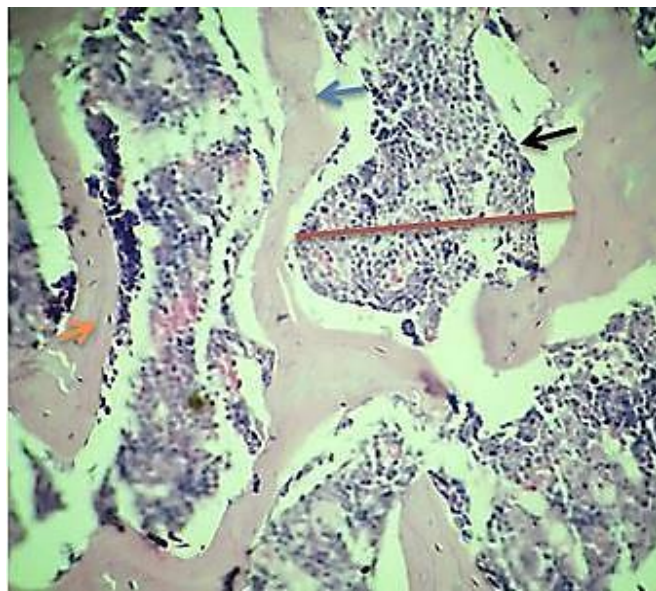
صورة (٣٨-٤) مقطع عرضي في نسيج العظم لمجموعة الجرعة (1.5mg/kg) ولمدة ٦٠ يوما في الإناث نلاحظ نخاع العظم وزيادة المسافة بين الحواجز العظمية وقلة سمك الحويجزات (H&E ٢٠٠x)



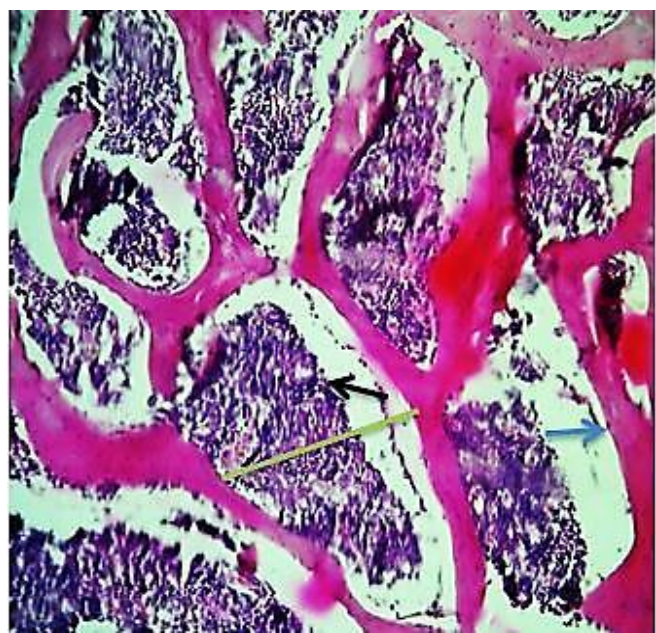
صورة (٣٧-٤) مقطع عرضي في نسيج العظم لمجموعة الجرعة (1.5mg/kg) ولمدة ٦٠ يوما في الذكور نلاحظ نخاع العظم وزيادة المسافة بين الحواجز العظمية وقلة سمك الحويجزات (H&E ٢٠٠x)



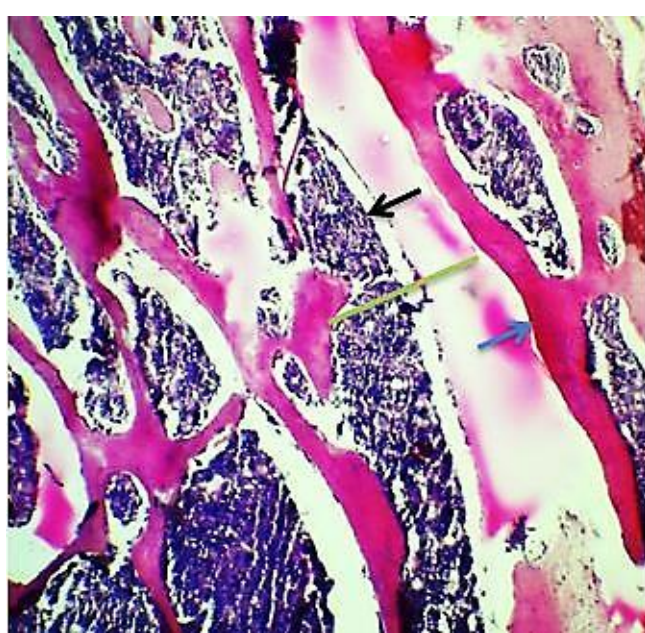
صورة (٤٠-٤) مقطع عرضي في نسيج العظم لمجموعة الجرعة (٣mg/kg) ولمدة ٦٠ يوما في الإناث نلاحظ الخلايا العظمية ↓ ونخاع العظم ↗ وزيادة المسافة بين الحويجزات العظمية — وقلة سمك الحويجزات ↓  
( H&E ٢٠٠x )



صورة (٣٩-٤) مقطع عرضي في نسيج العظم لمجموعة الجرعة (٣mg/kg) ولمدة ٦٠ يوما في الذكور نلاحظ الخلايا العظمية ↓ ونخاع العظم ↗ وزيادة المسافة بين الحويجزات العظمية — وقلة سمك الحويجزات ↓  
( H&E ٢٠٠x )



صورة (٤٢-٤) مقطع عرضي في نسيج العظم لمجموعة الجرعة (٤.٥mg/kg) ولمدة ٦٠ يوما في الإناث نلاحظ نخاع العظم ↗ وزيادة المسافة بين الحويجزات العظمية — وقلة سمك الحويجزات بشكل أكبر ↓  
( H&E ٢٠٠x )



صورة (٤١-٤) مقطع عرضي في نسيج العظم لمجموعة الجرعة (٤.٥mg/kg) ولمدة ٦٠ يوما في الذكور نلاحظ نخاع العظم ↗ وزيادة المسافة بين الحويجزات العظمية — وقلة سمك الحويجزات بشكل أكبر ↓  
( H&E ٢٠٠x )

## المناقشة Discussion

### ١.٥. المعايير الدموية :

#### ١.١.٥. عد كريات الدم الحمراء RBCs

في الجدولين (٤-١) ، (٤-٢) نلاحظ حصول ارتفاع معنوي  $P < 0.05$  في اعداد كريات الدم الحمر في كلا الجنسين ولمدة ٣٠ و ٦٠ يوما من الحقن، وذلك يعود الى ان عقار الكورتزون يؤثر على عملية تكوين كريات الدم الحمر erythropoiesis ( Shahidi, ٢٠٠١ ) ، في نخاع العظم حيث يؤثر على الهرمون المحفز لتكوين كريات الدم الحمراء erythropoietin مسببا زيادة في انتاج هذا الهرمون ، مما يسبب زيادة في اعدادها ، كذلك نلاحظ في الجدول (٤-٩) حصول زيادة معنوية  $P < 0.05$  في اعداد كريات الدم الحمر خلال المدىين ٣٠، ٦٠ يوما وهذا يدل على زيادة تاثير العقار بزيادة المدة ( Hawkins et al., 1954 & et al., 1968 Rishpon . )

#### ٢.١.٥. خلايا الدم البيضاء WBCs

بيّنت الدراسة الحالية وجود فروق معنوية  $P < 0.05$  في اعداد خلايا الدم البيضاء حيث انخفضت في المجاميع المعاملة بالكورتزون مقارنة مع مجموعة السيطرة في كل من الذكور والاناث ولمدة حقن ٣٠ و ٦٠ يوما وكما هو موضح في الجدولين (١-٤) ، (٤-٢) ويمكن ان يعود الانخفاض الى التأثير السمي المباشر للعقار والذي له فعل هرموني ادى الى موت الخلايا اذ يمكن لبعض الهرمونات ان تحفز اليات قتل الخلايا عندما يكون تركيزها عاليا مثل هرمونات Glucocorticoids ( Savino & Dardenne, 2000 ) ، تتوسط عمليات القتل مستلزمات متخصصة للهرمونات على سطوح الخلايا وحال حصول الارتباط تبدأ سلسلة من تفاعلات داخل خلوية ينتج عنها زيادة تركيز الرسل الثانية مثل AMP و GMP وتحصل زيادة في تركيز ايونات الكالسيوم داخل الخلية والتي تحفز مجموعة من الانزيمات ومنها الانزيمات النووية الداخلية المعتمدة على الكالسيوم والتي تعمل على تجزئة الدنا DNA ومن ثم موت الخلايا ( Savino & Dardenne, 2000 ) ، و يمكن ان يعود الانخفاض في العدد الكلي لخلايا الدم البيض الى هجرة هذه الخلايا من مجرى الدم الى النسج اذ اوضح ( Matsubal et al., 1997 ) بان الخلايا تهاجر الى النسج عند المعاملة بهرمونات GC وبشكل محدد تلك الخلايا المتضررة بسبب المعاملة بالهرمون اذ تهاجر الى الكبد والطحال لغرض ازالتها من قبل

خلايا البلاعم الكبيرة في تلك الاعضاء والخلص من تاثيرها السمي . كذلك نلاحظ في الجدول (٤-٩) حصول انخفاض معنوي  $P < 0.05$  في اعداد كريات الدم البيضاء خلال المدتين ٣٠، ٦٠ يوما وهذا يدل على زيادة تاثير العقار بزيادة المدة .

### ٣.١.٥ . خضاب الدم Hb والحجم الانضغاطي لخلايا الدم الحمر PCV ومتوسط حجم الكرية MCV

في الجدولين (٤-٢)، (٤-١) التي تبين تاثير ثلاث جرع مضاعفة من الكورتزون في ذكور واناث الجرذان البيض ولمدة حقن ٣٠ او ٦٠ يوما لوحظ حدوث انخفاض معنوي  $P < 0.05$  في خضاب الدم Hb والحجم الانضغاطي لخلايا الدم الحمر PCV ومتوسط حجم الكرية MCV ، فقد يعزى هذا إلى إن الكورتزون أدى إلى تثبيط تحليق الحامض النووي منقوص الأوكسجين(DNA) والذى يؤثر في تحليق البروتين مما يؤدي إلى انخفاض في خضاب الدم ، يعود السبب إلى نشوء خلايا دم حمراء غير ناضجة وصغرى الحجم مما يؤدي إلى اخفاض في حجم الانضغاطي لخلايا الدم الحمراء ومتوسط حجم الكرية. (Petranyi *et al.*, 1971 & Rogers & Rogers, 1982).

## ٤. المعايير الكيموحيوية

### ٤.١. انزيمات الكبد AST , ALT

هدفت الدراسة الحالية الى تقييم مستوى انزيمات وظائف الكبد (AST , ALT) في مصل الدم في حيوانات السيطرة والحيوانات التجريبية المجرعة بعقار الكورتزون وفي الفترتين (٣٠، ٦٠ ) يوما لغرض معرفة مدى تأثير العقار في مستويات هذه الانزيمات التي تعكس مدى التأثير الحاصل في خلايا الكبد من جراء المعالجة بالعقار، في الجدولين (٤-٣)، (٤-٤) نلاحظ حصول ارتفاع معنوي  $P < 0.05$  في انزيمي الكبد (ALT و AST ) ، ان عقار الكورتزون يرفع المستوى الكلي للـ ALT ، AST في مصل الدم . يوجد AST في جميع الخلايا (Rej, 1984) ، وتتبادر نسبة توزيعه من كائن لأخر ومن نسيج لأخر في نفس الكائن. حيث ان تواجد AST في جميع الأنسجة ومصل الدم يجعله يساهم في تشخيص امراض عديدة اذ ان زياته في مصل الدم يعبر عن شدة المرض الذي تتعرض له الخلية الكبدية والعجز الكبدي وتلف الأنسجة .(Zilva *et al.* 1988)

أما إنزيم ALT فيوجد بتركيز مختلف وتحتل الكبد المرتبة الأولى بارتفاع تركيزه ثم الكلية وكمية قليلة في القلب والعضلات الهيكلية ( Adolphan & Lorenz, 1982 ) .

ان لأنزيم ALT أهمية تشخيصية للكثير من الأمراض لأن العديد من الامراض الكبدية تؤدي إلى ارتفاع مستواه ( Dufour et al . , 2000 . ) .

ويمكن تقسيم الارتفاع في ALT من خلال التأثير السمي للعقار الذي يؤثر بدرجة كبيرة في الكبد وما يدعم ذلك الدراسة النسجية التي اجريت في الفئران المعاملة بعقار الكورتزون والتي بينت التلف الحاصل في الخلايا الكبدية وقد تناسب ذلك طردياً مع زيادة فترات التجريبي ( Mehdie, 2004 ) . فضلاً عن ذلك فإنه يوضح الدور الكبير الذي يقوم به الكبد في تأييض المركبات السمية التي تدخل الجسم ، كذلك نلاحظ في الجدول (٤-٩) حصول زيادة معنوية  $P < 0.05$  في انزيمات الكبد خلال المدتين ٣٠، ٦٠ يوماً وهذا يدل على زيادة تأثير العقار بزيادة مدة الحقن .

## ٢.٢.٥. اليوريا Urea

في الجدولين (٤-٣)، (٤-٤) التي تبين تأثير ثلاث جرع مضاعفة من الكورتزون في ذكور واناث الجرذ الابيض ولمدة حقن ٣٠ و ٦٠ يوماً نلاحظ عدم وجود فروق معنوية  $P < 0.05$  في المجاميع المعاملة مقارنة مع مجاميع السيطرة ، والسبب يعود إلى ان العقار لا يؤثر على مستوى اليوريا في المصل . ( Lawrence et al. , 1957 )

## ٣.٢.٥. الالبومين Albumin

في الجدولين (٤-٣)، (٤-٤) التي تبين تأثير ثلاث جرع مضاعفة من الكورتزون في ذكور واناث الجرذ الابيض ولمدة حقن ٣٠ و ٦٠ يوماً نلاحظ حصول زيادة معنوية  $P < 0.05$  في الالبومين المصل في المجموعات المعاملة مقارنة مع مجموعة السيطرة ويعود السبب إلى ان دوائية الكورتزون تحفز زيادة استنساخ الحامض النووي mRNA في نواة الخلية الكبدية مما يزيد تركيز الاحماس الامينية في الخلايا الكبدية ليزيد من عملية تصنيع البروتين . ( Kenney & Kull 1963 ) ، كذلك نلاحظ في الجدول (٤-٩) حصول زيادة معنوية  $P < 0.05$  في الالبومين خلال المدتين ٣٠، ٦٠ يوماً وهذا يدل على زيادة تأثير العقار بزيادة مدة الحقن .

## ٤.٢.٥. الفايبرنوجين Fibrinogen

من الجدولين (٤-٣)، (٤-٤) نلاحظ حصول زيادة معنوية  $P < 0.05$  في الفايبرنوجين في المجموعات المعاملة مقارنة مع مجموعة السيطرة ، والسبب في ذلك ان ادوية الكورتزون تزيد من تصنيع mRNA معين (Palmiter et al., 1976) حيث وضح كل من (Kwan and Fuller, 1977) حصول ارتفاع في مستوى الفايبرنوجين البلازمما الى ثلاثة اضعاف عند المعاملة بجرع عالية (mg/kg) من الكورتزون في الجرذان و مرتبطة بزيادة استتساخ mRNA والذي يؤدي الى زيادة الفايبرنوجين في البلازمما ، كذلك نلاحظ في الجدول (٤-٩) حصول زيادة معنوية  $P < 0.05$  في الفايبرنوجين خلال المدتين ٣٠، ٦٠ يوما وهذا يدل على زيادة تأثير العقار بزيادة الفترة الزمنية للحقن .

## ٣.٥. العد التفريقي لخلايا الدم البيضاء

### ١.٣.٥. الخلايا المفاوية Lymphocyte

تم احتساب العدد التفريقي لخلايا الدم البيض إذ تشير النتائج الموضحة في الجدولين (٤-١)، (٤-٢) إلى حصول انخفاض معنوي  $P < 0.05$  في معدل النسبة المئوية لخلايا المفاوية لمجموعة الجرذان المعاملة مقارنة بمجموعة السيطرة ويعزى سبب ذلك إلى فعل الكورتزون الذي يسبب انخفاضا في الخلايا المفاوية (lymphocytopenia) وهذا ما وجدته الباحثة (القيسي، ١٩٩٦). يعود سبب الانخفاض الى تأثير تركيز العقار الذي يتسبب في سمية الخلايا وموتها . وبما ان الخلايا الفاتلة الطبيعية نوع من الخلايا المفاوية فقد وجد باع العقار يؤثر في هذه الخلايا ويقلل من عددها ويبيط ففعاليتها (Mizumoto, et al., 1996) ، كذلك نلاحظ في الجدول (٩-٤) حصول انخفاض معنوي  $P < 0.05$  في الخلايا المفاوية خلال المدتين ٣٠، ٦٠ يوما وهذا يدل على زيادة تأثير العقار بزيادة الفترة الزمنية للحقن .

### ٢.٣.٥. الخلايا الوحيدة Monocyte

تشير النتائج الموضحة في الجدولين (٤-١)، (٤-٢) إلى حصول انخفاض معنوي  $P < 0.05$  في معدل النسبة المئوية لخلايا الوحيدة في المجموعات المعاملة بالكورتزون للمجاميع الثلاث مقارنة بمجاميع السيطرة وقد يعود سبب ذلك إلى فعل الكورتزون إذ يحث على حصول تغيير في وظائف الخلايا وحيدة النواة (Cupps et al., 1984) وان العديد من الخلايا الوحيدة تنخفض (Monocytopenia) عند المعاملة

بالكورتزون ، (Schmidt *et al.*, 1999; Fudenberg *et al.*, 1978) وحقن الكورتزون أدى إلى جذب الخلايا البلعمية إذ تعد من الخلايا الهدفية لهذا العقار (Schleimer *et al.*, 1984) . وهذه المقاومة لفعل العقار أدى إلى استنزاف الخلايا الوحيدة ، كذلك نلاحظ في الجدول (٩-٤) حصول انخفاض معنوي  $P < 0.05$  في الخلايا الوحيدة خلال المدتين ٣٠، ٦٠ يوما وهذا يدل على زيادة تأثير العقار بزيادة الفترة الزمنية للحقن .

### ٣.٣.٥. الخلايا العدلة

النسبة المئوية للخلايا العدلة في مجاميع المعاملة بالكورتزون ،تشير النتائج الموضحة في الجدولين (١-٤) ،(٢-٤) إلى حصول ارتفاع معنوي  $P < 0.05$  في النسبة المئوية للخلايا العدلة في المجاميع بالكورتزون للمجاميع الثلاث مقارنة مع مجاميع السيطرة وتعود هذه الزيادة إلى فعل الكورتزون في الخلايا المفاوية والذي يؤدي إلى تتكسها في غالبية الأنسجة مما يقود خلايا الأنسجة المتضررة إلى إفراز عوامل جذب (Chemotactic Factor) تؤدي إلى جذب خلايا الدفاع الأولى في الجسم وهي خلايا العدلة وبالتالي ارتفاع نسبتها في الدم (Fudenberg *et al.*, 1978; Fauci *et al.*, 1976) ،كذلك نلاحظ في الجدول (٩-٤) حصول زيادة معنوية  $P < 0.05$  في الخلايا العدلة خلال المدتين ٣٠، ٦٠ يوما وهذا يدل على زيادة تأثير العقار بزيادة الفترة الزمنية للحقن .

### ٤.٣.٥. الخلايا الحمضة Eosinophil

تشير النتائج الموضحة في الجدولين (١-٤) ،(٢-٤) إلى حصول انخفاض معنوي  $P < 0.05$  في معدل النسبة المئوية للخلايا الحمضة في المجموعات المعاملة بالكورتزون للمجاميع الثلاث مقارنة بمجاميع السيطرة ويعود ذلك إلى فعل الكورتزون إذ يسبب انخفاضا في أعداد الخلايا الحمضة (Eosinopenia) (Fudenberg *et al.*, 1978; Fauci *et al.*, 1976) كما ويسرع عملية الموت المبرمج (Apoptosis) فيها (Liu *et al.*, 1999) ان الأنسجة المتضررة تفرز خلاياها عوامل جذب تحذب الخلايا الحمضة إليها مما يقلل من اعدادها (القيسي، ١٩٩٦). كذلك نلاحظ في الجدول (٩-٤) حصول انخفاض معنوي  $P < 0.05$  في الخلايا الحمضة خلال المدتين ٣٠، ٦٠ يوما وهذا يدل على زيادة تأثير العقار بزيادة الفترة الزمنية للحقن .

## ٥.٤. المقاطع النسيجية

### ٥.٤.١. الطحال

أظهرت نتائج الفحص بالمجهر الضوئي لطحال الحرزان المعاملة بالكورتزون إلى قلة عدد عقيدات اللب الأبيض وظهور خلايا لمفاوية متنكسة فقد وجد إن استخدام الكورتزون بجرع عالية أو لوقت طويل يؤدي إلى حصول ضرر للنسيج (Maruyama *et al.*, 1999) مما وتؤدي المعاملة بالكورتزون إلى تتكس الخلايا المفاوية (Dracott & Smith, 1979) مما يسبب انخفاضا في أعدادها (lymphocytopenia) عند المعاملة الحادة أو المزمنة به (Fudenberg *et al.*, 1978; Balow *et al.*, 1975). لذلك انخفض عدد عقيدات اللب الأبيض بسبب فعل الكورتزون في الخلايا المفاوية منها الخلايا المفاوية B-cell الموجودة في المراكز الأنثائية للعقيدات، إذ إن العقار يكبّت وظيفة خلايا B-cells (Hochman & Hochman, 1979). ولوحظ زيادة في أعداد الخلايا البلعمية وذلك لأن لها دورا في التهاب الخلايا المفاوية المتنكسة من فعل الكورتزون، إذ تنشط للالتمام للمحافظة على النسيج، ولوحظ أيضا وجود العديد من الخلايا المفاوية المتنكسة بسبب تأثير الكورتزون على التركيب الجزيئي الدقيق للخلية مما يسبب تتكس النواة وبالتالي يؤدي إلى تحلل الخلية المفاوية (Homo *et al.*, 1980). ونلاحظ عدم وجود فروق معنوية بين الذكور والإناث ولفترتين (٣٠ ، ٦٠) يوما.

### ٥.٤.٢. الكبد

يؤثر الكورتزون على اكسدة الدهون الفوسفاتية في غشاء الخلية مما يسبب تحطم هذه الخلايا لعدم امكانيتها مقاومة فعالية الجذور الحرة وهذا يؤدي إلى اختلال في نفاذية الغشاء الخلوي حيث تتجمع الجزيئات الدهنية داخل الخلية فضلاً عن ذلك فان تجمع فجوات الدهن في هيولى الخلايا الكبدية قد يكون ناتجاً عن تحطم اغشية الخلايا نتيجة لحدوث الاجهاد التاكسدي بفعل الجذور الحرة. ان تجمع قطريرات دهنية داخل خلايا الكبد الناتجة من إضطراب وخلل في وظيفة الكبد مؤدية الى حدوث تغيير في بناء البروتينات الدهنية مما يؤدي بدوره إلى تجمع الدهون داخل الخلايا (Hallberg, *et al.*, 1984) أن ظهور افات التتكس الفجوي ناتجة عن حدوث خلل في مضخات الصوديوم للمتقدرات مما ينتج عنه انخفاض في انتاج الطاقة ATP اللازمة لتصنيع البروتينات وهذا ادى الى نقص في البروتين اللازم لسلامة الاغشية الخلوية (Hobbs *et al.*, 1992)، وتفسير الزيادة الحاصلة للخلايا البلعمية الكبدية والخلايا الإرتشاحية أن حقن العقار أدى إلى تلف وتخر في الخلايا الكبدية وهذا بدوره أدى إلى انجداب الخلايا

الوحيدة والخلايا العدلة واللمفاوية إلى موقع الاصابة خصوصاً خلايا البلاعم الكبيرة التي تنتج إنزيمات حالة Lysozymes لإزالة النسج التالفة وخلايا منجذبة أخرى تنتج وسائل خلوية مثل IL-1 $\beta$  و IL-6 و TNF- $\alpha$  و IL-12 و IL-18، والتي تساهم في حصول الضرر للنسج (Paul, 1999). ويمكن تفسير زيادة الخلايا البلعمية بسبب تحفيز الجهاز المناعي الموضعي لأعضاء الشبكية الداخلية Reticuloendothelium (Paul, 1999) وقد وافق هذه التغيرات النسيجية ارتفاع ملحوظ في مستوى فعالية الانزيمات (GPT, GOT) والتي تؤكد حدوث تحطم في خلايا الكبد وخلل في وظائفه (Burtis & Ashwood, 1994)، النخر الخلوي لخلايا الكبد بسبب الكورتazon هو ناتج عن تثبيط انزيمات الاكسدة في هذه الخلايا (Thorgeirsson *et al.*, 1976 ; Lin & Levy, 1981)). ونلاحظ عدم وجود فروق معنوية بين الذكور والإناث وللفترتين (٣٠ ، ٦٠ ) يوما .

#### ٤.٣. العظم

ان زيادة المسافة بين الحاجز العظمية وقلة سمكها التي اظهرتها المقاطع النسجية وزيادة التاثيرات مع زيادة الجرعة يعود الى ان الكورتazon يسبب زيادة في طرح الكالسيوم من الكلية وقلة امتصاصه من الامعاء مما يسبب هشاشة العظام وضعفها وسهولة كسرها (Pharmacia & Upjohn Company, 2011). حيث بينت الكثير من البحوث ان ادوية الكورتazon بشكل عام والكورتazon بشكل خاص يثبط نمو العظم بشكل رئيسي بواسطة خفض عملية التكوين العظمي (Ng *et al.*, 2002). bone formation . ونلاحظ عدم وجود فروق معنوية بين الذكور والإناث وللفترتين (٣٠ ، ٦٠ ) يوما .

## الاستنتاجات والتوصيات

**Conclusions & Recommendations**

## نستنتج من الدراسة ما يأتي :

- ١- كان للكورتazon اثر فاعل في التأثير على معايير الدم الفسلجية متمثلة بعد كريات الدم الحمر ، عد خلايا الدم البيض ، مكdas الدم ، تركيز الهيموكلوبين الكلوي والحجم الانضغاطي لكريه الدم الحمراء ولكل المدىتين .
- ٢- وجد من الدراسة ان للكورتazon تاثيراً معنوياً في بعض معايير الدم الكيموحيوية كأنزيمات الكبد (ALT,AST) وبروتين الالبومين والفايبرونوجين ولكل المدىتين.
- ٣- وجد ان للعقار تاثيراً معنوياً في العد التفريقي لخلايا الدم البيضاء ولكل المدىتين.
- ٤- ظهور تغيرات نسجية مرضية بعد حقن العقار لمدة (٣٠،٦٠) يوماً في كل من انسجة الطحال والكبد والعظم .
- ٥- عدم وجود فروق معنوية بين الذكور والإناث في هذه الدراسة .

## وعلى ضوء ما تقدم نوصي بما يأتي :

- ١- دراسة تأثير عقار الكورتazon نسجياً كدراسة عضلات الجسم والاو عية الدموية .
- ٢- اجراء دراسات مستقبلية تتضمن تأثيرات العقار في فعالية الجهاز المناعي كدراسة تقاعلات الاضداد .
- ٣- دراسة تأثير العقار على الجهاز التكاثري مع اجراء دراسات هورمونية وانزيمية ذات الصلة بالجهاز التكاثري و تكوين البيوض .
- ٤- دراسة فعالية بعض المستخلصات النباتية على الاثار المرضية التي يسببها الكورتazon في الجسم .
- ٥- التوسيع في تقييم التأثيرات الدمية للعقار وخصوصاً على مستوى تطور ونضج الخلايا المكونة للدم .

## المصادر References

### المصادر العربية

القيسي،(١٩٩٦) كوكب سليم نجم. التغيرات في خلايا الغدة الصعترية المرافقة للحقن بالهيدروكورتيزون وانترليوكين-٢. اطروحة دكتوراه. كلية العلوم-جامعة بغداد.

الخياط، جعفر. (١٩٦٢). نباتات شافية. مكتبة الجودي. بغداد. ص ٣٨-٤٠.

وصفي عادل سعيد وقصير، جانيت توفيق. (١٩٨٢). كيمياء النواتج الطبيعية. مطبعة كلية العلوم. جامعة بغداد. ص ١٩٤-١٩٧.

الساهوكي ، مدحت وهيب ، كريمة محمد (١٩٩٠) . تطبيقات في تصميم وتحليل التجارب ، جامعة بغداد .

### المصادر الاجنبية

**Adolph, L. & Lorenz R. (1982).** Enzyme diagnosis in diseases of the heart, liver, & pancreas, S. Karger, *New York*, 9-27.

**Ahluwalia, A. (1998).** Topical glucocorticoids and the skin – mechanisms of action: Mediators . *Inflamm.*, 7: 183–193.

**Ahmed, M. H. (1993)** .The effect of triamcinolone diacetate on the parotid gland of the female rats: A light and election microscopy study. M.Sc Thesis, *Mosul University*.

**Al-Douri, A. S.; Al-Salihi, A. R.; Mohammed, S. S. (٢٠٠٥) . Glycoconjugates cytochemistry in teeth development in normal and hydrocortisone treated rats, Glycoconjugates cytochemistry, *J. Bagh. College Dentistry* .17(3).**

**AL-Hyali, E. G. S.(٢٠٠٥).** Morphometrical study of the effect of hydrocortisone on the thyroid gland in rabbits , M.Sc Thesis, *Mosul University*.

- Alison M. R. (1986)**, Regulation of hepatic growth. *Physiol. Rev.*, 66(3): 499-541.
- Al-Rayyes, O.; Wallmark, A. & Floren, C. (1997)**. Additive inhibitory effect of hydrocortisone and cyclosporine on low-density lipoprotein receptor activity in culture hepG2 cells. *Hepatolo.*, 26(4):967-71.
- Anthony,L.Mescher .(2010)**.junqueiras basic histology , 12<sup>th</sup> edition ,lange: 121-125.
- Balow, J. E.; Hurley, D. L. & Fauci, A. S. (1975)**. Differential effects of acute vs chronic administration on cell-mediated immunity. *J. Immunol.*, 114(3): 1072-1076.
- Bancroft, J. D. & Stevens, A. (1982)**. Theory and practice of histological techniques. 2<sup>nd</sup> (Ed.) *Churchill livingstone, Edinburgh, London*.
- Bergmeyer, H.U. ; Horder, M., & Rej, R. (1985)**. International Federation of Clinical Chemistry (IFCC) Scientific Committee; Analytical Section. *J. Cli. chem. Clin. Biochem.*, 24:496-510.
- Brown, B.A.(1976)**. Hematology: Principles and proced. 2nd ed., *Lea &Febiger, Philadelphia*.
- Burtis, C.A. & Ashwood, E.R. (1994)** .Tietz Text Book of clinical chemistry.2<sup>nd</sup> ed. *W.B.Saunders Company, Advision of Harcourt Brace & Company. London*,883-88.
- Carryer, H. M.; Koelshe, G. A.; Prickman, L.E., & et al. (1950)**.The effect of cortisone on bronchial asthma and hay fever occurring in subjects sensitive to ragweed pollen. *J. Allergy.*, 21:282–7.
- Chen, S.; Kimberg, D. & Kenney, F. (2013)**. Tianjin Medical University General Hospital Tianjin Neurological Institute Bio Med. Center. *Tianjin 300052, P.R. China*.

- Claman, H. N. (1972).** Corticosteroids and lymphoid cells. *New. Engl. J. Med.* 287(8): 389-396.
- Clinical Guide Laboratory Test,(2006)** .4<sup>th</sup> ed., N.W.TIETZ., 404 – 405 .
- Coen, D.; Deutsch J.; Netter P.; Petrochilo, E., & Slonimski, P. P. (1970).** Mitochondrial genetics : Methodology and phenomenology in control of organelle development . No. 24 in Symposia of the Society for Experimental Biology. *Academic Press Inc., New York* . 449.
- Cohen, J. J. & Duke, R. C. (1984).** Glucocorticoid activation of a calcium dependent endonuclease in thymocyte nuclei Leads to cell death. *J. Immunol.*, 132(1): 38-42.
- Coles , E. H.(1986).** Veterinary clinical pathology,4th ed. ,W.B. *Saunders company Philadelphia , London , Toronto , Mexico* .
- Coombs, R.R.H. &Thomas Rde,W.M. ( 1994).** Avascular necrosis of the hip. *Br. J. Hosp. Med.*, 51:275–80.
- Crilly, R.G.; Marshall, D. H. & Nordin, B.E. (1979).** Metabolic effects of corticosteroid therapy in post-menopausal women. *J. Steroid Biochem.*,11:429–33.
- Cupps, T. R.; Edgar, L.c. ; Thomas, C. A. & Fauci, A. S. (1984).** Multiple Mechanisms of B cell immunoregulation in man after administration of in vivo corticosteroids. *J. Immunol.*,132(1): 170-175.
- Didonato, J.A., Saatcioglu, F. & Karin, M. (1996).** Molecular mechanisms of immunosuppression and anti-inflammatory activities by glucocorticoids. *Am. J. Respir. Crit. Care Med.*, 154 :S11–S15.
- Dracott, B. N. & smith, C. E. T. (1979).** Hydrocortisone and the antibody response in mice. *Immunol.* 38(2): 429-235.

- Dufour, D. R.; Lott, J. A.; Nolte, F.S.; Koff, R.S. & Seeff, L.B. (2000).** Diagnosis & monitoring of hepatic injury. I. performance characteristics of laboratory tests. *Clin. Chem.*, 46: 2027-2049.
- Elliot, F. & Ellis, M. D. (1987).** Adverse effects of corticosteroid therapy. *J. Allergy Clin. Immunol.*, 80: 515-517.
- Ellison, J.A.; Patel, L.; Ray, D.W.; David, T.J. & Clayton, P.E.(2000).** Hypothalamic–pituitary–adrenal function and glucocorticoid sensitivity in atopic dermatitis. *Pediatrics* , 105, 794–799.
- Fauci, A. S. (1976).** Glucocorticosteroid therapy: Mechanisms of action and clinical considerations. *Ann. Intern. Med.*, 84(1): 304-315.
- Feigelson, M.; Gross, P. R. & Feigelson, P. (1962).** *Biochim Biophys. Acta.*, 55: 495.
- Friedman & young (2001).** Effects of disease on clinical laboratory tests ,4th ed. *AACC press*.
- Fudenberg, H. H. ; stites, D.P.; Caldwell, J.L. & wells, J.V. (1978).** Basic and Clinical immunology. 2<sup>nd</sup> ed. *Middle East Edition. California. Lebanon.*, 311-316.
- Gelfand, M. L. (1951).** Administration of cortisone by the aerosol method in the treatment of bronchial asthma. *N. Engl. J. Med.*, 245: 293- 4.
- Goulding, N. J.; Euzger, H. S.; Butt, S. K. & Perretti, M. (1998).** Novel pathways for glucocorticoid effects on neutrophils in chronic inflammation. *Inflamm. Res.*, 47 (3), S158–S165.
- Hallberg, A.; Berne, C. & Anderson, A. (1984).** “Effects of Chloroquine on lipid metabolism of mouse pancreatic islets”. *Biochem. Pharmacol.*, 33 : 1465 – 70

- Havel, R. J. (1986).** Functional activities of hepatic lipoprotein receptors. *Annu. Rev. Physiol.*, 48: 119-134.
- Hawkins, W.W.; Speck E. &, Leonard V.G. (1954).** Variation of hemoglobin level with age and sex. *Blood.*, 9: 999-1007
- Hench, P.S. (1949).** The effect of a hormone of the adrenal cortex (17-hydroxy-11-dehydrocortisone: compound E) and of pituitary adrenocorticotropic hormone on rheumatoid arthritis. *Proceedings of the staff meeting of the Mayo. Clinic.*, 24:181–97.
- Hobbs, H.H.; Brown, M.D. & Goldstein, J.L. (1992).** Molecular genetics of the LDL receptor gene in families hypercholesterolemia. *Hum. Mutal.*, 1: 445-466.
- Hochman, P. S. & cudkowicz, G. (1979).** Suppression of natural cytotoxicity by spleen cells of hydrocortisone-treated mice. *J. Immunol.*, 123(3): 968-976.
- Hoff brand, A. V. & perttit, J.E. (1989).** Essential haematology , 2<sup>nd</sup> ed., *Black well scientific publications , Australia.*, 97-120.
- Homo, F.; Duval, D.; Hatzfeld, J. & Evrard, C. (1980).** Glucocorticoid sensitive and resistant cell populations in the mouse thymus. *J. steroid Biochem.*, 13(2): 135-143.
- Horn, B.A.; Kerr, D.B. & D. N. S.(1964).** Acute Renal Failure ,Ed.S.Shaldon,G.C.Cook , *Blackwell ,Oxford* .
- Iwata, M.; Iseki, R.; Sato, K.; Tozawa, Y. & Ohoka, Y. (1994).** Involvement of protein kinase C-e in glucocorticoid-induced apoptosis in thymocytes. *Int. Immunol.*, 6(3): 431-438.

- Iwata, M.; Ohoka, Y.; Kuwata, T. & Asada, A. (1996).** Regulation of T-cell apoptosis via T cell receptors and steroid receptors. *Stem cells.*, 14(6): 632-641.
- John, A., (1990).** Medicine ; *Black well science*. 12:10.
- John, D. & Miller, L. (196<sup>4</sup>)** Influence of actinomycin D and puromycin on net synthesis of plasma albumin and fibrinogen by the isolated perfused rat liver. *J. Biol. Chem.*, 241(21):4817–4824.
- Johnson, D. A.; Etzel, K .R. & Alvares , J.E. (1987).** Regulation of parotid salivary proteins by glucocorticorids. *J. Dentol. Res.*, 66:1563-1568.
- Kenney, F. T. & Kull, F. J. (1963).** Hydrocortisone-stimulated synthesis of nuclear RNA in enzyme induction . *Proc. Natl. Acad. Sci .USA.*, 50:493–499
- Kerppola, W. (1960) .** Uncoupling of the oxidative phosphorylation with cortisone in liver mitochondria. *Endocrinolo.*, 67 :252 .
- Khald, B. A.; pearce, P.; Barr, I. G.; Fraillon, B.D.; Toh, B. H. &Funder, J. W. (1983).** Dexamethasone induces different cellular protein synthetic responses in PNA and PNA—mouse thymocyte subpopulations. *J. Immunol.*, 130(1): 115-120.
- Kimberg, D. V.; Loud A. V. &Wiener J .(1968 )**. Cortisone-induced alterations in mitochondria function and structure . *J. Cell Biol.*, 37-63 .
- Klemcke, H.G. & Christenson, P.K. (1997) .** Porcine fetal and maternal adrenocorti cotropic hormone and cortico steroid concentration during gestation and their relation to fetal size, *Boil. Reprod.*, 57:1:99-106.
- Kroemer, G. & Martinez-A, C. (1995).** Current Topics in Microbiology and immunology. *Springer- verlag.*, 194: 82-94.

- Kwan, S.W. & Fuller, G.M.,( 1977)** Immunochemical characterization of fibrinogen induction in rat liver. *Biochim. Biophys. Acta.*, 475(4):659–668.
- Lattimore, K.A.;Vazquez, D.M.; Barks, J.D., & Bhatt-Mehta, V. (2008).** Developmental outcomes of very low birth weight infants treated with hydrocortisone for refractory hypotension. *J .Neonat-Perinat Med.*, 1: 225-232.
- Lawrence, G. R.; William F. M. ;Lawrence, S. & Jackd, R. (1957).** The effects of cortisone and hydrocortisone on water diuresis and renal function in man, Boston Veterans Administration Hospital, *The Department of Medicine, Tufts University School of Medicine, Boston, Mass.*
- Lin, J. & Levy, G. (1981).**Sulfate depletion after acetaminophen administration and replenishment by infusion of sodium sulfate or N-acetylcysteine in rats. *Biochem.Pharmacol.*, 30:2723.
- Liu, Y.; Cousin, J. M.; Hughes, J.; Damme, J. V.; Secki, J. R.; Haslett, C.; Drans field, I.; Savill, J. & Rossi, A. G. (1999).** Glucocorticoid promote nonphlogistic phagocytosis of apoptotic Leukocytes1. *J. Immunol.*,162(6): 3639-3645.
- Lowe, C. ; Mackinney, D. & Sarkaria ,D . (1955) .** Effects of cortisone on rat liver mitochondria. *J. Biophys. Biochem . Cytol.*, 1(3) :237-244 .
- Madigan, M. T.; Martinko, J. M. & parker, J. (2000).** Biology of Microorganisms. 9th ed. *Prentic Hall upper Saddle River. U.S.A.*
- Maruyama, S.; Minagawa, M.; shimizu, T.; Oya, H.; Yamamoto, S.; Musha, N.; Abo, W.; Weerasinghe, A.; Hatakeyama, K. & Abo, T. (1999).** Administration of glucocorticoids Markedly increases the

numbers of granulocytes and extrathymic T cells in the bone marrow. *Cell Immunol.*, 194: 28-35.

**Matsubal, k. T.; Van Eeden, S.F.; Bickneel, S.G; Walker, B.A.M.;**

**Hayashi, S.; Hogg, J.C. (1997).** Apoptosis in circulationg PMN: increased susceptibility in L-selectin-deficient PMN Am. *J. Physiol.*, 272: 2852- 2858.

**McEwen, B.S.,( 2002).** The neurobiology and neuroendocrinology of stress. Implications for post-traumatic stress disorder from a basic science perspective. *Psychiatr. Clin. North Am.*, 25,469–494.

**McFarlane, A. S.; Irons, L.; Koj, A. & Regoeczi, E. (1965).** The measurement of synthesis rates of albumin and fibrinogen in rabbits. *J. Biochem.*, 95:536–540

**Medical Research Council , (1956).** Controlled trial of effects of cortisone acetate in status asthmaticus. *Lancet*;2:803–6.

**Mehdie. M.S. (2004).** The immunological & histopathological effect of danazol drug on specific immune responses & hepatic tissue. *J. Fact. Med. Baghdad.*, 46: 3-4.

**Miller, M. W.; McKinney, A. E.; Kanter, F. S.; Korte, K. J. & Lovallo, W. R. (2011).** Hydrocortisone suppression of the fear-potentiated startle response and posttraumatic stress disorder. *Psychoneuroendocrinolo.*, 21 (11) :796-809.

**Miznumoto, Y.; Itirata, J.; Tokouka, S.; Furuya, K. ; Kikuchi, Y. & Nagata, I. (1996).** Effect of culture Supernatants of endometriotic Lesions uterine endo metrium & peritoneum from rats with experimental endometriosis on the natural killer activity of spleen cells. *Gynecol. Obster. Invest.*, 41:122-127.

- Mohammad, T. T. ( ٢٠١٨).** Effect of cortisol on submandibular salivary gland . Dept. of Anatomy, College of Medicine- Mosul University ; *J. Tikrit Med.*, 14(1):165-168 .
- Mozhuga, P. M.( 1987).** Reproduction and differentiation of cells in the tissues of growing rat teeth in response to parathyroid hormone and hydrocortisone , *Arch. Anat. Histol. Embriol.*, 92(5): 57-62.
- Ng, P.C.; Lam, C.W.; Wong, G.W.; Lee, C.H.; Cange, P.S.; Fok, H.I. (2002).** Changes in markers of bone metabolism during dexamethasone treatment for chronic lung diseases in preterm infant. *Archives of diseases in Childhood fetal and Neonatal Edition.*, 86, 49- 54.
- Nuno, M. M. ; Pires ,A. S. ; Barend, L.; Vander, H.; Margreet, R.; de Vries ; Lianne, S. M.; Boesten, J. ;Wouter, J. , & Paul, H.A.Q.( 2005).** Histopathologic alteration follow local delivery of dexamethasone to inhibit restenosis in murine arteries. *European Society of Cardiology.*, 68 ( 3 ): 36-47.
- Palmiter, R. D.; Moore, P. B.; Mulvihill, E. R. & Emtage, S. (1976).** A significant lag in the induction of ovalbumin messenger RNA by steroid hormones : A receptor translocation hypothesis . *cell* 8:557-572.
- Pasqualini, J.K.; Ngueyer, B. L.; Unrich, F. (1970).** Cortisol and cortisone metabolism in the human foeto placental unit at midgestation. *J. Steroid Biochem.*, 1: 209.
- Patek, P.Q.; Collins, J.L.; & Cohn, M. (1982).** Activity and dexamethasone sensitivity of natural cytotoxic cell subpopulations. *Cell. Immunol.*, 72(1): 113-121.
- Patton, C.J. & Crouch, S.R., (1977).** Spectrophotometric and kinetics investigation of the Berthelot reaction for the determination of ammonia. *Anal. Chem.*, 49: 464—469.

- Paul, W. E. (1999).** Fundamental Immunology, 4<sup>th</sup> ed. *Lippincott-Raven Philadelphia.*, 111–182.
- Paulsen, D.F. (2000).** Histology & cell Biology. 4<sup>th</sup> Ed. Lange Medical books/McGrow-Hill. New York, Francisco. PP:174-178.
- Perretti, M. & Ahluwalia, A. (2000).** The microcirculation and inflammation: site of action for glucocorticoids. *Microcircul.*, 7(3): 147-161.
- Petranyi, G.; Benczur, M. & Alfoldy P. (1971).** The effect of single large dose hydrocortisone treatment on IgM and IgG antibody production, morphological distribution of antibody producing cells and immunological memory. *Immunol.*, 21(1): 151-158.
- Pfizer Global Environment , (2012) .** Standard for the Uniform Scheduling for Drugs and Poisons: *Australia (AICS)*., 204-725-5:8.
- Pharmacia & Upjohn Company (2012).** Pfizer Canada Inc, Licensee, Control No. 157508.
- Queiroz, M.L. (1993).** Hematopoietic effects in mice exposed to deltamethrin and hydrocortisone. *Int. J. Immunopharmacol.*, 15(3): 301-307.
- Reddy, K.A.; Litov, R.E. & Omaye, S.T. (1977).** Effect of pretreatment with anti-inflammatory agents on paraquat toxicity in the rat. *Res. Commun. Chem. Pathol. Pharmacol.*, 17:87–100.
- Reid, I.R. (1989).** Pathogenesis and treatment of steroid induced osteoporosis. *Clin. Endocrinol.*, 30:83–103.
- Rej, R. (1984).** Measurement of aminotransferases. Part 1. aspartate aminotransfer. *Rev. Clin. Lab. Sci.*, 12:99-186.
- Rijpert, M.; Uiterwaal, C.S.; Liefink, A.F.; van Bel, F.; Grobbee, D.E.; de Vries, L.S. & Groenendaal, F. ( 2006).** Neonatal hydrocortisone

treatment related to  $^1\text{H}$ -MRS of the hippocampus and short-term memory at school age in preterm born children. *Pediatr Res.*, 59: 309-313.

**Rishpon-Meyerstein, N.; Kilbridge. T. & Simone J., ( 1968).** The effect of testosterone on erythropoietin levels in anemic patients. *Blood.*, 31(4): 453-460.

**Rogers, P. & Rogers, A. (1982).** Differential sensitivity of lymphocyte subsets to corticosteroid treatment. *Immunol.*, 46(4): 841-848.

**Ronald, M. (1995).** Principles of Microbiology. 1st ed. *Mosby. U.S.A.* 610-611.

**Saag, K.G. (2004) .** Prevention of glucocorticoid-induced osteoporosis .*South Med. J.*, 97(6):555–558.

**Sabbele, R.N.; Oudenaren, A.V. & Benner, R. (1983).** The effect of corticosteroids upon the number and organ distribution of immunoglobulin secreting cells in mice. *Cell Immunol.*, 77(1): 308-317.

**Saklatvala, J. (2002).** Glucocorticoids: do we know how they work? *Arthritis Res.*, 4:146–150.

**Savino, W. & Dardenne, M. (2000).** Neuroendocrine control of thymus physiology. *Endocrine Rev.*, 21: 412-443.

**Schelling, G.; Briegel, J.; Roozendaal, B.; Stoll, C.; Rothenhausler, H.B.; Kapfhammer, H.P. (2001).** The effect of stress doses of hydrocortisone during septic shock on posttraumatic stress disorder in survivors. *Biol. Psychiatry.*, 50: 978–985.

**Schelling, G.; Richter, M.;Roozendaal, B.; Rothenhausler, H.B.; Krauseneck, T.; Stoll, C.; Nollert, G.; Schmidt, M. & Kapfhammer,**

- H.P. (2003).** Exposure to high stress in the intensive care unit may have negative effects on health-related quality-of-life outcomes after cardiac surgery. *Crit. Care Med.*, 31: 1971–1980.
- Schelling, G.; Stoll, C.; Kapfhammer, H. P.; Rothenhausler, H.B.; Krauseneck, T.; Durst, K.; Haller, M. & Briegel, J., (1999).** The effect of stress doses of hydrocortisone during septic shock on posttraumatic stress disorder and health-related quality of life in survivors. *Crit. Care. Med.* 27: 2678–2683.
- Schleimer, R.P.; Jacoues, A.; shin, H.S.; Lichtenstein, L.M &Plaut, M. (1984).** Inhibition of T cell-mediated cytotoxicity by anti-inflammatory steroids. *J.Immunol.*, 132 (1): 266-271.
- Schlesinger, M. & Mark, R. (1964).** Wasting disease induced in young mice by administration of cortisol acetate. *Science.*, 143: 965-966.
- Schmidt, M.; pauels, H.G.; Liigering, N.; Liigering, A.; Domschke, W. & Kucharzik, T.(1999).** Glucocorticoid induce apoptosis in human monocytes: potential role of IL-1B. *J.Immunol.*, 163(6): 3488-34890.
- Schmidt, T. J.; Kim, K.J. & Thompson, E.B. (1980).** Glucocorticoid sensitivity and receptors in BALB/c T cell lymphoma lines expressing restricted patterns of Ly differentiation antigens. *J. steroid Biochem.*, 13(1): 13-22.
- Shahidi, N.T. (2001).** A review of the chemistry, biological action and clinical applications of anabolic-androgenic steroids. *Clin Ther.*, 23: 1355-1390.
- Sima, A. (2002).** Experimental atheroma formation in the coronary artery of the hyperlipemic hamster. *J. Cell. Mol. Med.*, 6(2): 276-277.
- Sood, R. (1985).** Hoematology for students and Practitioners. *Jaypee Brothers*,

India.

**Sood, R. (1986).** Haematology. 2nd ed., *Jaypee brothers, New Delhi*, 243-265

**Therapeutic Goods Administration ,( 2009).** Aspen Pharmacare Australia Pty Ltd 3/34-36 Chandos St Leonards NSW 2065.

**Therapeutic Goods Administration: 8th July (1999).** Aspen Pharmacare Australia Pty Ltd 3/34-36 Chandos St Leonards NSW 2065, Date of most recent amendment:

**Thorgeirsson, S.S.; Sasame, H.A.; Mitchell, J.R.; Jollow, D.J. & Potter,W.Z.(1976).** Biochemical changes after hepatic injury from toxic doses of acetaminophen or furosemide . *pharmacol.*, 14,205-213.

**TM Pharmacia Enterprises Sarl · April 4, (2013).** Pfizer Canada Inc 17,300 Trans-Canada Highway Kirkland, Quebec H9J 2M5 , Submission Control No.: 161325 .

**Tristan B.; Vincent B. ; Patricia F.; Alain L. ;William R. & Laurent L. (1999).** In vitro effects of dexamethasone on human corneal keratocytes ; 40 : 1061 – 1070 .

**Usher, B.W. &, Friedman, R. J. (1995).** Steroid-induced osteonecrosis of the humeral head. *Orthopedics.*, 18:47–51.

**Verdenins, H.H. & Alma L. (1958).** A quantitative study of decalcification methods in histology , *J. clin. Path.*, 11,229.

**Watterberg, K.L.; Gerdes, J.S.; Cole, C. H.; Aucott, S.W.; Thilo, E.H.; Mammel, M.C.; Couser, R.J.; Garland, J.S.; Rozycki H.J.; Leach, C.L.; Backstrom, C. & Shaffer, M.L.( 2004).** Prophylaxis of early adrenal insufficiency to prevent bronchopulmonary dysplasia: a multicenter trial. *Pediatrics.*, 114: 1649-1657 .

- Yehuda, R.; McFarlane, A.C. & Shalev, A.Y., (1998).** Predicting the development of posttraumatic stress disorder from the acute response to a traumatic event. *Biol. Psychiatry.*, 44: 1305–1313.
- Yoshikawa, H.; Nakajima, Y. & Tasaka, K. (1999).** Glucocorticoid suppresses autocrine survival of mast cells by inhibiting IL-4 production and ICAM-1 expression. *J.Immunol.*, 162(10): 6162-6170.
- Zilva, J.F.; Pannall, P. R. & Mayne, D.M. (1988).** Clinical Chemistry In Diagnosis & Management. Edward Arnold. *London Robson ,A.M.,Aschcroft ,R.,Clarkson.*

**Abstract**

The study was involved the use of albino rats (males , females) at ( 64) mice were divided into two groups and each group was included (32) rat (16 males and 16 females) and these totals recent divided into four groups were included four rats for each group, The last three groups were injected by Intraperitoneal drug of hydrocortisone with concentrations double (1.5,3,4.5 ) mg / kg for (30·60) day and the fourth group was injected by normal Saline 0.9% as control in the same volumes that used, The study was aimed to indicate the effect of concentrations and duration of injection in some physiological and histological parameters and effects disease caused in albino rats the study included the following:

1- Statement effect of different concentrations of hydrocortisone in the total count of red blood cells , the total count of white blood cells , and Packed cell volume , and concentration of hemoglobin in the blood , the Mean corpuscular volume. Found from the study of a rise significantly ( $p <0.05$ ) in the total count of red blood cell (RBC), and a significant decrease ( $p <0.05$ ) in the total count of white blood cells (WBC) hemoglobin (Hb ) and Packed cell volume (PCV) and the Mean corpuscular volume (MCV) when compared to all results the control group.

2- Measurement biochemical parameters in serum and fibrinogen in plasma to show the effect concentrations of injection by drug of hydrocortisone, the results were showed a rise significantly ( $P<0.05$ ) in the effectiveness of enzyme of liver (AST, ALT) as well as a significant increase ( $P<0.05$ ) in the concentration of protein albumin and fibrinogen, and the lack of significant ( $P <0.05$ ) changes in urea when comparing the treatment groups with the control group.

3 - To identify the effects of histopathological in the tissues of the spleen , liver and bone , where we note a degeneration in lymphocyte and an increase in the preparation of the phagocytic cells and lack in the number of white pulp in the spleen and small size , while the liver we notice a necrosis of liver cells and infiltration of inflammatory cells and the appearance of fatty change with in the hepatocyte, in the bone tissue note for the lack of bone in the thickness of the trabeculae and increase the distance between these trabeculae.

Ministry of Higher Education and Scientific Research  
University of Karbala  
College of Education for Pure Sciences  
Department of Biology



## **Effect of different cortisone doses on some physiological and histological parameters in the albino rat**

A Thesis submitted by  
Doaa Adil Rabee to the College of Education of Karbala  
University as a partial fulfillment of the requirements for the  
degree of Master in Biology – zoology

**Supervised By**

**Prof . Dr. Saad Hamad Abdulatif**

**2014 A.D.**

**1435 A.H.**